

Vysoká škola: strojní a textilní
Fakulta: textilní

Katedra: přádelnictví a zušlechťování
Školní rok: 1960/61

DIPLOMNÍ ÚKOL

pro s.Jána Marko
obor textilní technologie, stroje a zařízení

Protože jste splnil požadavky učebního plánu, zadává Vám vedoucí katedry ve smyslu směrnic ministerstva školství a kultury o státních závěrečných zkouškách tento diplomní úkol:

Název thematu: Bezvýštenové předení

Pokyny pro vypracování:

Konstrukčně vyřešte uložení spřádacího košíku pro rozsah otáček 10 - 15.000 ot/min. Uložení řešte pro průměr 20 mm. Počítejte s velkou dynamickou nevyvážeností spřádacího košíku. Ekonomický únosná spotřeba maximálně 80 W.

Další požadavky:

- 1.) Minimální hlučnost,
- 2.) Minimální údržba,
- 3.) Sřední možnost kontroly mezní.

6/1960 J

Rozsah grafických laboratorních prací:

Rozsah průvodní zprávy: dle zadání

Seznam odborné literatury: Patentová a literární rešerše pro řešení příslušného výzkumného úkolu ve VÚTT, Liberec.

Vedoucí diplomní práce: Prof. Ing. Jaroslav Simon

Konsultanti: Ing. Jan Jura

Datum zahájení diplomní práce: 26. září 1960

Datum odevzdání diplomní práce: 5. listopadu 1960

L. S.

Simon
Vedoucí katedry

Simon
Děkan

v Liberci, dne 26. září 1960.

VYSOKÁ ŠKOLA STROJNÍ A TEXTILNÍ
LIBEREC

D I P L O M O V Á P R Á C E

1960

JÁN MARKO

V úvodu své diplomové práce chci vyjádřit poděkování všem pracovníkům VÚTT v Liberci za nezištnou ochotu pomocí mi cennou radou a zkušeností při řešení tohoto diplomního úkolu, zejména s. M. Pávkovi, s. E. Vokurkovi a s. inž. K. Valáškovi. Chci zároveň vyslovit poděkování vedení ústavu, že mi umožnilo prováděti diplomní praxi, jakož i vlastní vypracování diplomové práce v uvedeném ústavu za výborných pracovních podmínek. Zároveň děkuji všem pracovníkům, že mně vytvořili takové pracovní prostředí, ve kterém pracovat bylo potěšením.

Čestné prohlášení.

Prohlašuji tímto, že jsem na uvedeném diplomovém úkolu pracoval samostatně.

O b s a h

odst.		str.
I.	Úvod	5 - 9
II.	Valivé uložení s unášivým lož.	10
III.-1.	Princip unáš.ložisek	11 - 13
III.-2.	Teorie valivých ložisek	14 - 25
III.	Konstrukční návrh val. uložení	26
III.-1.	1. alternativa val. uložení	27
III.-2.	2. " " "	28 - 31
III.-3.	3. " " "	32 - 33
III.-4.	4. " " "	34 - 36
III.-5.	5. " " "	37 - 40
IV.	Měření příkonu	41
IV.-1.	Postup měření	42
IV.-2.	Zpracování naměř. hodnot	43 - 52
IV.-3.	Výpočet teoretické křivky příkonu	53 - 55
V.	Závěr kap. o konstrukci ulož. s unaš. ložisky	55
VI.	Kluzné uložení s tlák. mazáním	56
VI.-1.	Princip kluz.uloz.	57 - 59
VI.-2-	Výpočet tl. oleje v rotující řem.	60 - 64
VI.-3.	Měření příkonu kluz.uloz.	65
VI.-3.-1.	Zprac.naměř. hodnot	65 - 67
VI.-3.-2.	Výpočet teor. křivky příkonu	68 - 70
VII.	Závěr kap. o kluz. uložení	71 - 72
VIII.	Porovnání konstr. uložení	73 - 76
IX.	Závěr	77

Výkresová část obsahuje :

valivé uložení:

5 sestavných výkresů	A 3 formát
11 detail. výkresů	A 4 "
2 diagramy	A 3 "

kluzné uložení:

1 sest. výkres	A 3 formát
10 detail. výkresů	A 4 "
2 diagramy	A 4 "

Literárně-patentová rešerše.

1. Gersdorfer O.: Werkstoffe, Fertigung und Betrieb von Gleitlagern. 1960, 11.IX, VDI-Zeitschrift 102, č.26, s. 1221-1227.
2. Betriebssichere Gleitlager. 1960, 11.IX, VDI-Zeitschrift 102, č.26, s.1227-1228.
3. Miroljubov I.V. a Šašin V.M.: Rasčet podděrživajućej sily podšipnika skolženja s vozdušnoj smazkoj pri otsutstviji vraščenija. 1960, 25.VIII, Ref.žurnal Mašinostrojenije č.16, s.34.
4. Šejnberg S.A. a Charitonov A.M.: Dvuchopornaja sistema podšipnikov skolženja s gazovym podduvom. Autorské osvědčení SSSR č.118459 z 5.3.1959. 1960, 25.VIII, Ref.žurnal Mašinostrojenije č.16, s.34.
5. Steller Arpad: Podšipniki skolženja i kačenija. Převzato z VDI-Zeitschrift, 1959, 101, č.6, s.259-261. 1960, 10.IX, Ref.žurnal Mašinostrojenije č.17, s.33.
6. Milowiz K.: Berechnung und Konstruktion von Radialgleitlagern. Sonderheft "Technische Rundschau", Bern č.3.
7. Heidebroek E.: Das Verhalten von zäh Flüssigkeiten insbesondere Schmierflüssigkeiten in engen Spalten. 1952, Akademie-Verlag Berlin.
8. Motzka J. a Fröhlich J.: Valivá ložiska v praxi. 1956, Praha, Práce - Vydavatelstvo ROH.
9. Valivá ložiska - západoněmecké patenty třída 76c, 25
DP 902.950 DP 959.533
DP 904.151 DP 1,018.760
DP 905.832 DP 1,023.995
DP 905.947 DP 1,028.025
DP 938.833 DP 1,057.510
DP 938.834
10. Kluzná ložiska - západoněmecké patenty třída 76c, 25
DP 906.061 DP 1,054.887
DP 918.738 DP 1,066.932
DP 1,044.688

I. Úvod.

Všechna spřádací zařízení a to od nejstaršího ručního vřetene až po nejvýkonnější vřeteno spřádací odstředivky pracují tak, že vřeteno zkrucující přízi nese zároveň napřádanou cívku. Výjimku tvoří málo výkonné stroje hrncové, kde se otáčí s přástovou cívkou a vřeteno přízi pouze navíjí na cívku.

Stávající spřádací systémy mají velkou nevýhodu v tom, že jejich rychlosť je omezená. U nejvýkonnějšího spřádacího stroje prstencového je to hlavně omezená rychlosť běžce, u jiných systémů ku příkladu nevyřešené uložení rychle rotujících vřeten a pod. Ve všech případech je však nutné provádět výměnu plných cívek za klidu stroje.

Z těchto důvodů je klasická spřádací technika již na hranicích svých možností. Je proto snahou textilních techniků nalézti nové spřádací principy, které by tyto problémy vyložily. V tomto směru je známa řada patentů, z nichž však jedině systém Meimberg dospěl do stadia stavby funkčního modelu. Zařízení pracuje na principu rotující hlavy s planetově uloženými ojehlenými válečky, které vyčesávají z přiváděného pramene vlákno. Tato se ukládají v ojehleném povlaku válečků, kde se stupňovitě překládají. Současně s rotací hlavy se protáčejí i válečky. V povlaku uvolněná vlákna sa potom sbírají a zhušťují v ose hlavy, při čemž její rotaci dostává sejmutý pramínek zákrut.

Zařízení má však nevyřešeno uložení válečků v hlavě. Současně není vyřešeno uložení hlavy při vyšších otáčkách.

Naproti tomu bezvřetenové spřádací zařízení podle návrhu pracovníků Výzkumného ústavu textilní technologie v Liberci pracuje tak, že vhodně ojednocená vlákna jsou odnášena proudem vzduchu v pravidelném sledu do rotujícího košíku, jehož žebra z pružných ocelových jehel jsou stupňovitě nad sebou a vytváří v hrotu vhodný svěr. Nosný proud

vzduchu prochází mezi žebry košíku, zatím co žebra, sbíhající se ve směru průchodu vzduchu do středu, zachycují unášená vlákna. Některá vlákna se zachytí již v prvním /horním/ jehlovém kuželu, kde vytvoří počáteční vlákkennou vločku. Její ojedinělé konce zasahují až do kužele spodního, kde jsou ručně zachycená a vytažená v počáteční přízi.

Mezi horními a spodními hrotými kužely se vytváří vlákkenný "balonek", do něhož se napojují vlákna, která přilétají od podávacího ústroji. Středem kužele prochází vodící jehla, kolem níž se vlákna částečně ovijí a tak z velké části udržují svou paralelní polohu. Některá vlákna, která se zachytí v horním kuželu se sice oběma konci vyklání ve směru průchodu, jsou však z velké části znova paraleлизována kuželem spodním. Stáva se jen zřídka, že vlákno v horním kuželu zabíhá oběma konci současně do kuželu spodního, kde může vzniknout jeho zapředení v přeloženém stavu.

V případě, že do dolního kužele zasahuje jen jeden konec vlákna zachyceného v kuželu horním, dochází k přesmyknutí ohnutého konce vláken přes žebro horního kužele. Ze dochází k zapřádání přehnutých vláken jen ojediněle, nasvědčuje dobrá pevnost vypřádané příze.

Ze zkrucovacího zařízení již vychází hotová příze, kterou můžeme navíjet na cívku libovolného tvaru a obsahu.

Výměna je snadno proveditelná bez zastavení stroje a je jí možno zautomatizovat. Stejně tak i odstranění přetruhů.

Protože odpadne běžec s prstencem, je možno zvýšit podstatně spřádací rychlosť. Pokusně bylo pracováno s navíjecí rychlosťí 50 m/min. Rovněž vozový selfaktorový průtah je zde nahražen tím, že mezi zkrucovacím členem a navíjecí cívkou dochází k vyravnávacímu průtahu za stejných poměrů jako u selfaktoru.

Bezvřetenové předení umožňuje při zpracování mykané příze vlněné pracovat s průtahem až 30-ti násobným.

Za použití této spřádací techniky je možno uvažovat o stavbě spřádacího agregátu na výrobu mykané příze přímo z vločky.

Krátka spřádací postup, který je při spřádání mykané a její specifické vlastnosti použití umožňuje pracovat s nejkratším spřádacím postupem vůbec. Zde se rozpadává spřádací proces do výroby přástu a do výroby příze. Přestože tento nejméně náročný spřádací postup sibiře možnost sloučení v jedinou strojovou jednotku, narazil hned při prvních pokusech na řadu nepřekonatelných problémů. První pokusy tvořily různou kombinaci mykacích strojů přímo spojených se strojem dopřádacím. Toto uspořádání mělo celou řadu nedostatků:

- a / obsluha tohoto agregátu je velmi stížená tím, že samotné pracné zavedení pavučiny do rozdělovače bylo dále ztíženo zařazením dopřádacího ústrojí, ústrojí bylo nepřehledné a navíc málo výkonné,
- b / technicky zůstalo při tomto uspořádání nedořešeno:
 1. vyvazování přetruhů,
 2. výměna plných cívek, kde bylo nutné zastavit celé mykací složení,
 3. prostorové uspořádání agregátu.

Byly sice učiněny určité pokusy na obejítí těchto nedostatků. Tak ku příkladu byly provedeny pokusy s výrobou nekroucené "příze" přímo na rozdělovači. Přást byl napojován vhodným pojidlem - byl nrmálně zaoblen a poté usušen. "Příze" byla používána do útku. Nedostatek této příze spočíval v tom, že vyrobená tkanina měla sníženou pevnost v útku.

K tomu, aby mohla být zvládnutá technologie výroby příze na mykacím stroji je třeba nalézt takovou spřádací techniku, která umožní:

- 1./ vyrábět přízi kontinuelně

- 2./ výměnu cívek provádět bez nutného zastavení stroje
- 3./ vyvazování přetruhů umožnit i při vysokých rychlostech.

Tyto požadavky splňuje nová, v současné době ve Výzkumném ústavu textilní technologie v Liberci vyvíjená spřádací technika "bezvřetenové předení".

V současné době je vyráběná příze z chemických vláken, bavlny a orientačně bylo vyrobeno menší množství vlněné příze směsové. Číselný rozsah příze je asi do čm 16. Pokusně bylo vypředeno čm 28. Pracuje se s minimální odtahovou rychlosťí 22 m/min. Orientačně byly provedeny zkoušky s mokrým předením, které dávají nadějně výsledky.

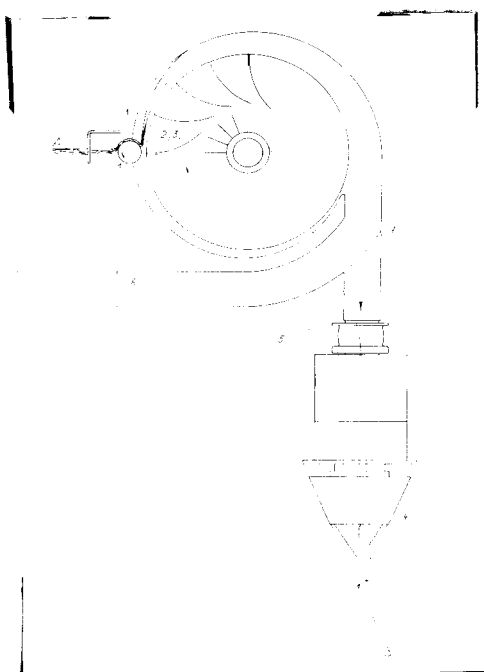
Jakost příze vyráběné v současné době je pro svůj otevřený charakter velmi vhodná pro některé pleňtařské výrobky a jako příze útková. Není zatím vhodná pro přízi osnovní, pro kterou je příliš chlupatá.

Je třeba podotknout, že i když se jedná o stádium základního výzkumu v této otázce, kdy pracovníci VÚTT v Liberci zhotovali zprávu a připravují se k obhájení a předání výsledků své výzkumné práce na tomto problému, nebylo v otázce bezvřetenového předení ještě zdaleka řečeno poslední slovo.

Připojený obrázek I.-1. na následujícím listu schematicky znázorňuje zařízení bezvřetenového spřádání.

Popis zařízení:

- 1,1' podávací zařízení
- 2,3 ventilátor s lopatkami a rozčesavacími hřebeny
- 4 spřádací košík s uložením
- 5 zařízení na vrácení prolétlých vláken
- 6 zařízení na vrácení vláken při přetruhu příze
- 7 elektromagnetická niťová zarážka



obr.I.1.

Otázku uložení spřádacího košíku vyřešili pracovníci VÚTT pro funkční model jednořadovými radálnimi kuličkovými ložisky. Vzhledem na značnou dynamickou nevyváženosť rotujícího košíku a z toho vyplývajúcích veľkých radiálnych sil, umožňuje toto uloženie otáčky max. do $10000 \text{ } 1/\text{min}$. Uloženie má pomérne veľkou hlučnosť a pracuje na hranici únosnosti ložisek. Jelikož se u tohto zařízení počítá s vyššími odtahovými rýchlosťami pri spřádani a tím se preokádá také vyšší rýchlosť otáčení spřádacího kužeľa, bolo nutné vyriešiť toto uloženie pro otáčky v rozsahu od $10000 \text{ } 1/\text{min}$. do $15000 \text{ } 1/\text{min}$.

Tímto problémom se zabývám ve svoji diplomní práci. Na vyriešení tohto problému jsem použil dvoje řešení:
a/ valivé uloženie s unášivými ložisky,
b/ kluzné uloženie s tlakovým mazáním.

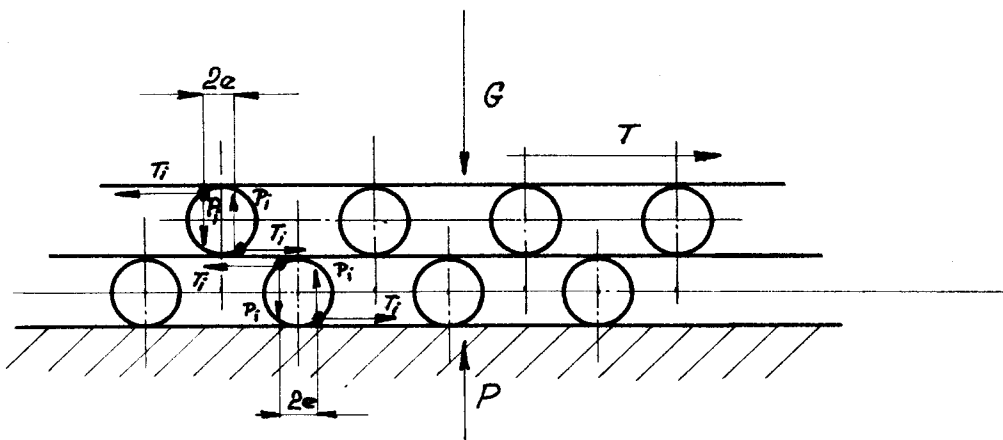
II. Valivé uložení s unášivými ložiskami.

Při řešení tohoto úkolu jsem se snažil použít seriově vyráběné kuličkové ložiska. Poněvadž dutý hřídel, neboli vřeteno, má požadovanou díru průměru minimálně 16 mm, je vnější průměr hřídele s ohledem na vysoké otáčky a z toho vyplývající značné dynamické síly průměr minimálně 20 mm. Tomuto průměru odpovídající radiální kuličkové ložiska mají předepsané nižší provozní otáčky, než jsou požadovány pro technologii sprádání na tomto zařízení. Axiální síly vyvozuje jenom váha duralového sprádacího košíku, takže se při volbě ložisek dají zanedbat a proto jsou využívající radialní kuličkové ložiska.

Ve snaze eliminovat vliv vysokých otáček na provozní únosnost ložisek hledal jsem nějaké vhodné řešení, kterým by se daly rozdělit otáčky a zatížení na více ložisek. Jako nejvhodnější způsob tohoto řešení se jeví princip unášivých ložisek.

II.-1. Princip unášivých ložisek.

Představme si zařízení podle obrázku II.1.



obr. II.1,

Nechť je na pevné kovové podložce sada kuliček nebo válečků stejného průměru. Předpokládejme, že jsou všechny geometricky přesné, mají stejně hladký povrch a jsou ze stejného materiálu, který má určitou tvrdost a modul pružnosti. Na kuličkách je položena pevná rovná deska a na ní druhá sada kuliček. Na horní sadě kuliček je další rovná deska, která nese zatížení G . Za předpokladu, že desky jsou nedeformentelné a že všechny kuličky mají stejný průměr, přenáší všechny stejné zatížení P_i , zanedbáme-li vlastní váhy jednotlivých elementů.

Působme nyní na toto zařízení tečnou silou T , naznačenou na obrázku. Když budeme předpokládat u tohoto zařízení čisté valení bez prokluzů, kuličky budou vyvzovat moment valivého odporu opačného smyslu proti síle T . Na každou s kuličkami s poloměrem r musí působit tečná síla T_i , aby překonala odpory při valení kuliček;

$$P_i \cdot 2e = T_i \cdot 2r$$

/1/

$$T_i = -\frac{P_i e}{r}$$

/2/

Na překonání momentů sil T_i a momentů reakcí P_i musí působit sílarovnající se algebraickému součtu všech momentů kuličkového ložiska :

$$T = \sum T_i \cdot 2r + \sum P_i \cdot 2e$$

/3/

Ve druhé sadě kuliček budou stejné poměry. S uspořádáním kuliček nad sebou vyplývá, že momenty valivých odporů budou ve smyslu proti momentům odporu horních kuliček, zřejmě z obrázku II.-1.

Předpokládejme nyní, že valivý odpor spodní řady kuliček je enormě větší než sady horní. Budeme-li nyní působit tečnou silou T , dá se předpokládat, že odvalovat se budou jenom kuličky horní, kdežto spodní řada kuliček, jako i druhá deska, budou v klidu. To je první extremní případ.

Druhý extremní případ nastane, když valivý odpor horní sady kuliček bude enormě větší. Obdobně dá se předpokládat, že se budou odvalovat pouze spodní kuličky. Druhá deska se bude pohybovat stejnou rychlostí jako deska horní.

Z této úvahy vyplývá, že za předpokladu stejných valivých odporů obou sad kuliček a po vyloučení vlivu setrvačných hmot bude se pohybovat druhá deska rychlostí uprostřed mezi oběma extremními hodnotami - mezi klidem a rychlostí horní desky - tedy poloviční rychlostí.

Tento případ tedy nastane za předpokladu, kdy bude :

stejné zatížení všech kuliček,

stejný valivý odpor všech kuliček, t.j.:

všechny budou geometricky přesné a stejné, budou ze stejného materiálu,

všechny desky budou ze stejného materiálu,

jakost povrchu všech kuliček bude stejná,

jakost povrchu všech desek bude stejná,

vyloučíme-li vliv setrvačných hmot.

Představíme-li si nyní , že toto zařízení jsou dvě na sebe nalisována kuličková ložiska o nekonečném poloměru, je to princip unášivých ložisek. Za všech uvedených předpokladů, když vnější kroužek vnitřního ložiska - druhá deska - se pohybuje poloviční obvodovou rychlostí než vnitřní kroužek - horní deska - , nese vnější ložisko polovinu otáček z otáček hřídele. Vnitřní věnec vnitřního ložiska se otáčí otáčkami hřídele , vnější věnec polovičními otáčkami , teda relativně vůči sobě přenáší také polovinu otáček.Jak se přitom chovají kuličky a jaké kinematické poměry tam panují , bude pojednáno v následujících odstavcích.

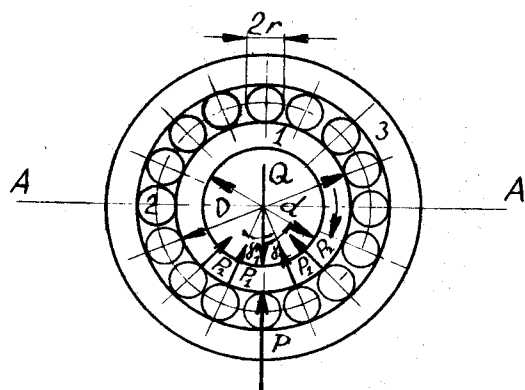
Prakticky úplně obdobně jako pro zařízení s kuličkami a deskami podle obr.II.-1. to najde realizovat pro kuličková ložiska. Vnější ložisko by bylo značných rozměrů a tím i celkové uložení.Aby se dalo ložisko nalisovat na ložisko , rozměrově to vyhovuje jenom pro určitou řadu ložisek , nebo pro specielně vyrobená ^{většího} ložiska. Další překážkou je to , že seriově vyráběná ložiska mají větší kuličky, čímž mají rozdílné odpory proti valení , tzv. valivý odpor ložisek je také funkcí geometrických rozměrů.O tom bude pojednáno v následujícím odstavci.Konstrukčně schůdnější je cesta , kdy jsou ložiska stejného průměru vedle sebe, Tím však není dodržená podmínka stejného zatížení.Obšírněji budu o tom pojednávat v závěru následujícího odstavce.

II.-2. Teoretický rozbor poměrů v ložisku.

II.-2.a Tření v kuličkových ložiskách.

Pramenem, z kterého jsem čerpal poznatky pro tuto kapitolu, je :S.N. Koževníkov " Teorie mechanizmů a strojů".

Kuličkové podpěry umožňují nahradit čepové tření v rotační dvojici odpory , vznikajícími při vaření kuliček po vnitřním a vnějším kroužku. Aniž bych se zabýval konstrukcí valivých ložisek uvedu schéma kuličkového ložiska na obr. II.2, kde 1 je vnitřní kroužek, upevněný na hřídeli , 3 je vnější kroužek nepohyblivě upevněný v ložiskovém tělese a 2 jsou kuličky.



obr. II.2.

Síla Q , která působí na hřídel prostřednictvím vnitřního kroužku , přenáší se na kuličky , které jsou zatíženy nestejnomořně. Nejvíce je zatížena kulička se středem na nositelce síly Q a nejméně kulička se středem na kolmici k ní . Zatíženy jsou pouze kuličky , které leží pod rovinou A-A.

Stanovíme si nyní sílu P_i , zachycenou kuličkou, jejíž poloha je určena úhlem γ vzhledem k nositelce síly Q. Předpokládáme přitom symetrické uspořádání kuliček.

Působením sil P_i se kuličky deformují, při čemž největší deformaci λ_0 podléhá kulička, jíž střed leží na směru síly Q, působící na hřídel. Podle obdobý se zaběhaným pouzdrem, jehož opotřebení se mění podle kosinusového zákona, můžeme považovat deformaci ve směru síly, působícím na každou z kuliček, také za deformaci měnící se podle kosinusového zákona, t.j. můžeme předpokládat, že

$$\begin{aligned}\lambda_1 &= \lambda_0 \cos \gamma, \\ \lambda_2 &= \lambda_0 \cos 2\gamma, \\ \dots & \\ \lambda_n &= \lambda_0 \cos n\gamma\end{aligned} \quad /4/$$

Pro kuličky, které se valí ve žlábku, můžeme předpokládat tento vztah mezi silou a deformací:

$$\frac{\lambda_0^3}{P_0^2} = \frac{\lambda_1^3}{P_1^2} = \frac{\lambda_2^3}{P_2^2} = \dots = \text{konst.} \quad /5/$$

Společné řešení rovnic /4/ a /5/ dává pro síly zachycené kuličkami tyto hodnoty:

$$P_1 = P_0 \cos^{3/2} \gamma$$

$$P_2 = P_0 \cos^{3/2} 2\gamma$$

$$P_n = P_0 \cos^{3/2} n\gamma \quad /6/$$

Promítne-li každou ze sil P_i do směru síly Q a učiníme-li součet průmětů sil P_i rovným vnější síle Q, dostaneme po zjednodušení:

$$Q = P_0 / 1 + 2\cos^{5/2} \gamma + 2\cos^{5/2} 2\gamma + \dots + 2\cos^{5/2} n\gamma / 7/$$

Pro počet kuliček od 10 do 20 můžeme mnohočlen v závorce ve vzorci 7/ považovat za přibližně rovný $\frac{z}{4,37}$.

Přihlížíme-li k opravám se zřetelem na vliv radiální výlohy a průhyb kroužků, můžeme výraz v závorce ve vzorci 7/ pokládat za rovný $\frac{z}{5}$. Pak lze sílu působící na nejzatíženější kuličku stanovit podle vzorce

$$P_o = \frac{5Q}{z} 8/$$

a sílu, působící na kteroukoliv kuličku, ležící vzhledem k maximálně zatížené kuličce v mezích úhlu $\pm 90^\circ$ podle vzorce

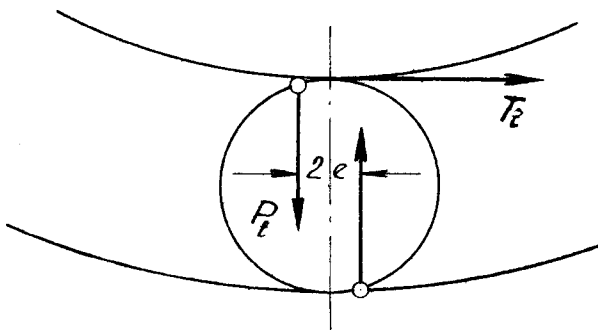
$$P_i = \frac{5Q}{z} \cos^{3/2} i\gamma 9/$$

Nyní určíme moment, který musí působit na vnitřní kroužek, aby překonal odpory při valení kuliček.

Na každou z kuliček s poloměrem r musí působit vnitřní kroužek tečnou silou T_i , jejíž moment se rovná momentu reakcí při valení kuličky po kroužcích

$$2T_i r = 2P_i e \\ P_i e \\ T_i = \frac{P_i e}{r} 10/$$

Na překonání momentu síly T_i a momentu reakce P_i , jde-li pouze o jedinou kuličku, musí působit na kroužek dvojice podle obr.II. 3. na následujícím listu.



obr. II.3.

$$M_i = T_i - \frac{D}{2} + P_i e = P_i / -\frac{D}{2r} + 1 / e, \quad /11/$$

kde D je průměr žlábku vnitřního kroužku, v němž se kuličky valí. Součtem všech dvojic M_i dostaneme celkovou dvojici M , která musí působit na hřídel, aby překonala odpory při vaření kuliček po kroužcích.

$$M = e / 1 + -\frac{D}{2r} / . / P_0 + 2P_1 + 2P_2 + \dots + 2P_m /$$

$$M = e / 1 + -\frac{D}{2r} / P \quad /12/$$

Algebraický součet všech reakcí, působících na kuličky kuličkového ložiska, je:

$$P \approx P_i / 1 + 2 \cos^{3/2}\gamma + 2 \cos^{3/2}2\gamma + \dots + 2 \cos^{3/2}n\gamma /$$

$$P \approx -\frac{5Q}{z} / 1 + 2 \cos^{3/2}\gamma + 2 \cos^{3/2}2\gamma + \dots + 2 \cos^{3/2}n\gamma / \quad /13/$$

Součet trigonometrických funkcí v závorce /13/ můžeme přibližně brát jako :

$$1 + 2 \cos^{3/2}\gamma + 2 \cos^{3/2}2\gamma + \dots + 2 \cos^{3/2}n\gamma = -\frac{z}{3,6}$$

Se zřetelem k tomuto můžeme stanovit algebraický součet reakcí, působících na kuličky kuličkového ložiska

vztahem

$$P = -\frac{5Q}{z} \cdot -\frac{z}{3,6} = 1,4Q = AQ$$

/14/

Nyní lze snadno dvojici M , která musí působit na hřídel, aby překonala odpor valivého tření kuliček v kroužcích, vyjádřit daným zatížením ložiska. Dosadíme-li za P v rovnici /12/ zjištěnou hodnotu, dostaváme :

$$M = A Q e / -\frac{D}{2r} + 1 /$$

/15/

Odporový moment kuličkového ložiska můžeme vyjádřit také ve stejném tvaru jako moment čepového tření, t.j.

$$M = f_k Q \cdot \frac{d}{2} ,$$

/16/

kde f_k je redukovaný součinitel tření, který se rovná

$$f_k = -\frac{2Ae}{d} / 1 + -\frac{D}{2r} /$$

/17/

Porovnáním odvozeného vztahu pro moment valivého odporu ložiska s momentem odporu čepového tření v

$$M_c = F r = f N r$$

/18/

zjistíme, že odpor valivého ložiska je menší než tření v čepu při $f_k < f$, t.j. při

$$f > -\frac{2Ae}{d} / 1 + -\frac{D}{2r} / ,$$

/19/

kde d je průměr čepu, D je průměr oběžné dráhy vnitřního kroužku, r je poloměr kuličky, A pro kuličkové ložisko rovno 1,46.

Z výsledek odvození vidíme, že redukovaný součinitel valivého tření je přímo závislý na průměru žlábku kroužku, přímo na součiniteli valivého tření pro daný materiál, nepřímo na průměru čepu a na průměru kuličky.

Stojí za zmínku uvést, že točíme-li ložiskem tak, že vnitřní kroužek je pevně uchycen a volně se otáčí vnější kroužek, moment, potřebný na překonání valivých odporů se zvětší na hodnotu

$$M = A Q / -\frac{D}{2r} + 2 / e \quad /20/$$

a hodnota redukovaného součinitele valivého tření na hodnotu

$$f_{kl} = \frac{2Ae}{d} / 2 + \frac{D}{2r} / \quad /21/$$

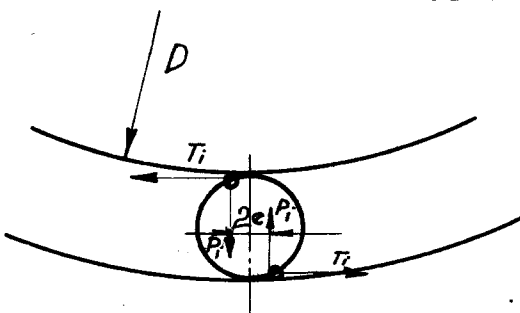
Když budu tuto teorii aplikovat na tzv. unášivá ložiska, tak moment, potřebný na překonání momentů valivého odporu unášeného ložiska má podle /15/ hodnotu

$$M_{u2} = A Q e / \frac{D_2}{2r_2} + 1 / .$$

Má-li být unášené ložisko točeno, musí tečná síla valivého odporu unášivého ložiska, působící na vnějším kroužku, vyvodit stejný moment, obráceného smyslu, t.j.

$$M_{ul} = M_{u2}$$

Z výpočtů podle obr. II. 4 vyplývá :



obr. II.4.

$$T_i \cdot 2r = P_i \cdot 2e$$

$$T_i = \frac{P_i e}{r}$$

$$M_{ul} = T_i \cdot \frac{D+2r}{2} = \frac{P_i e}{r} / \frac{D+2r}{2}$$

$$M_{ul} = A Q e \cdot \frac{D+2r}{2r} = A Q e / \frac{D+2r}{2r} / 22/$$

Uvedené výpočty jsou zjednodušeny o to , že se ne- uvažuje vliv setrvačných hmot , co by výpočet značně zkomplikovalo.

Ze vztahu /22/ je patrná , že za použití ložisek stejných rozměrů jsou splněny podmínky pro rovnost momentů jenom veličinami vyplývajícími z geometrických rozměrů ložisek. Na velikost momentů kromě toho vplývá velikost zatížení a součinitel valivého odporu.

Z těchto úvah dále vyplývá , že chceme-li, aby se otáčky hřídele uložení s unášivými ložisky rozkládaly ve stejném poměru , musí být splněny tyto podmínky :

- 1/ obě ložiska musí být stejně zatížena;
- 2/ obě ložiska musí mít stejný redukovaný součinitel valivého tření .

Redukovaný součinitel valivého tření ovlivňují : geometrické rozměry ložiska , přesnost výroby ložiska / vůle v ložisku /, koeficient valivého odporu :

materiál kuliček a kroužků , jakost povrchu kuliček a kroužků ,

geometrická přesnost kuliček / těžiště v geom. středu /, stejné mazání , teplota a j.

Vzhledem na množství činitelů , které ovlivňují redukovany součinitel valivého tření je těžko předpokládat , že existují dvě ložiska , která by měla stejný redukovaný součinitel valivého odporu .

Konstrukčně je také obtížné vyřešit uložení tak, aby obě ložiska stejných rozměrů měly stejné zatížení. Další důležitá otázka je, zda pohyb v ložisku nastává čistým odvalováním kuliček po kroužcích.

Z těchto uvedených příčin ovlivňujících vzájemné otáčení ložisek je málo pravděpodobné předpokládat u dvou ložisek stejných rozměrů vzájemné rozkládání otáček ve stejném poměru. Může se předpokládat, že otáčky se budou rozkládat v poměru redukovaných součinitelů valivého tření, a v poměru zatížení.

Jaké kinematické poměry nastávají v ložisku unášivém, kde se otáčí vnější i vnitřní kroužek, o této otázce pojednám v následujícím odstavci.

II.-2.b Rotační rychlosť kuličkových elementov
a pouzder v kuličkovém ložisku.

Pramen : Dr. Ing. Arvid Palmgren ,
Ball and roller bearing engineering.

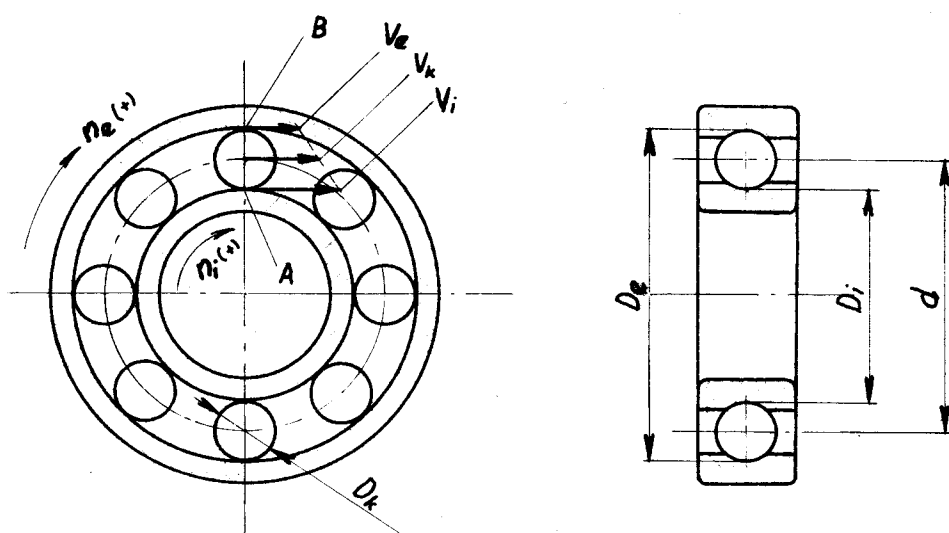
Uvažujme, že oba kroužky ložiska sa otáčia rôznymi rychlosťami. Rotacia vo smere hodinových ručičiek sa označuje ako pozitívnu a proti negatívnu.

Použití nasledujúcich symbolov :

- n_i otáčky vnitřného kroužku
 n_e otáčky vnějšího kroužku
 n_k otáčky kuliček s kleci
 n_w rychlosť otáčenia každej kuličky kolem vlastnej osy
 n_{ki} relativná rychlosť otáčenia kuliček vzhľadom k vnitřnému kroužku
 n_{ek} relativná rychlosť otáčenia kuliček vzhľadom k vnějšímu kroužku
 v_i obvodová rychlosť vnitřného kroužku
 v_e obvodová rychlosť vnějšího kroužku
 v_k obvodová rychlosť stredu kuliček
 D_i průměr dráhy vnitřného kroužku
 D_e průměr dráhy vnějšího kroužku
 d průměr dráhy rozteče ložiska
 D_k průměr kuliček .

Jestliže predpokladame pohyb ložiska tak, že sa otáčia oba kroužky rôznymi rychlosťami, pak je absolutná rychlosť bodu A umiesteného na obvode kuliček rovna obvodové rychlosťi v_i v okamžiku, kdy bod A sa stýka s dráhou vnitřného kroužku. Současne bod B ložiska se dotýka dráhy vnějšího kroužku a má absolutnú rychlosť v_e . Absolutná rychlosť každeho bodu na kuličke ložiska je kombinácia obvodové rychlosťi kuličky kolem vlastnej osy a rychlosťi celé sady kuliček s kleci kolem osy ložiska. Absolutná

rychlosti bodů mezi body A a B na průměru kuliček jsou v okamžiku znázorněném na obr. II.5 paralelní a mění se lineárně mezi rychlostmi bodů A i B. Jakou rychlosťí se pohybuje střed kuliček kolem osy ložiska, vyjadřuje následující vztah /23/.



obr. II. 5

$$v_k = \frac{v_i + v_e}{2} \text{ mm/sec,} \quad /23/$$

při čemž

$$v_i = \frac{D_i n_i}{60} \text{ mm/sec} \quad /24/$$

a

$$v_e = \frac{D_e n_e}{60} \text{ mm/sec} \quad /25/$$

Z toho

$$v_k = \frac{\pi}{120} / D_i n_i + D_e n_e / \text{ mm/sec} \quad /26/$$

Následkem toho rychlosť rotace celé sady kuliček a klece kolem osy ložiska bude :

$$n_k = \frac{D_i n_i + D_e n_e}{2d} \text{ l/min. } /27/$$

Podobně je relativní rychlosť rotace vnějšího kroužku vzhľadom k celé sadě kuliček :

$$n_{ki} = n_k - n_i = \frac{D_e n_e + n_i / D_i - 2d /}{2d} \text{ l/min. } /28/$$

a relativní rychlosť vnitřního kroužku vzhľadom ke kuličkám

$$n_{ek} = n_e - n_k = \frac{n_e / 2d - D_e / - D_i n_i}{2d} \text{ l/min. } /29/$$

Rychlosť otáčení kuliček kolem vlastnej osy vyplýva z rozdielu rychlosťí kroužkov a klece :

$$n_w D_k = n_{ki} D_i$$

$$n_w = \frac{n_{ki} D_i}{D_k} \text{ l/min. } /30/$$

Podobně

$$n_w = \frac{n_{ek} D_e}{D_k} \text{ l/min. } /31/$$

Z tchо

$$n_w = \frac{D_i / D_e n_e + n_i / D_i - 2d / /}{2d D_k} \text{ l/min. } /32/$$

V prípadе , kdy jeden kroužek ložiska je pevný , vyplynou rovnice :

- a/ vnější kroužek je pevný a vnitřní má rychlosť rotace n_i rovno n ; n_e rovno 0

$$n_k = - n_{ek} = \frac{D_i n}{2d} \text{ l/min.} \quad /33/$$

$$n_{ki} = \frac{n / D_i - 2d /}{2d} \text{ l/min.} \quad /34/$$

$$n_w = \frac{n D_i / D_i - 2d /}{2d D_k} \text{ l/min.} \quad /35/$$

b/ vnitřní kroužek je pevný , to znamená $n_i = 0$
a vnější $n_e = n$, dostáváme následující :

$$n_k = \frac{D_e n_e}{2d} \text{ l/min.} \quad /36/$$

$$n_{ek} = \frac{n / 2d - D_e /}{2d} \text{ l/min.} \quad /37/$$

$$n_w = \frac{D_i D_e n_e}{2d D_k} \text{ l/min.} \quad /38/$$

Z uvedených výpočtů vyplývá , že v případě unášivých ložisek , kdy vnější kroužek se také pohybuje účinky valivých odporů , kuličky vedle toho , že kroužek před sebou ženou , zároveň se poňem odvaluje.

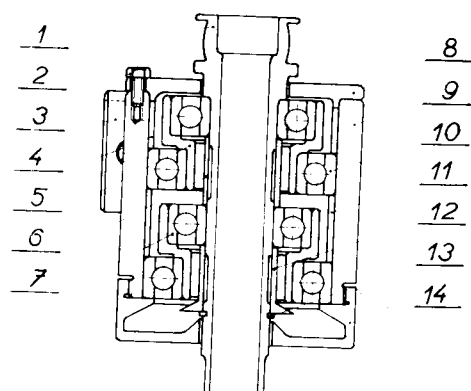
III. Konstrukční návrh uložení.

Při konstrukčním řešení tohoto problému jsem měl možnost si navrhnutou konstrukci prakticky odzkoušet. To mi umožnilo přímo si ověřit nedostatky navrhnutého řešení a provádět konstrukční úpravy za účelem odstraňení těchto nedostatků, ve snaze vyvinout co nejlepší konstrukci, která by byla provozně spolehlivá a prakticky použitelná.

Vyvinul jsem celkem pět alternativ tohoto řešení. Konstrukční rozdíly a provedené konstrukční úpravy jednotlivých řešení jsou zřejmě z přiložených výkresů. Nedostatky jednotlivých řešení, jako i konstrukční úpravy sloužící k odstranění těchto nedostatků budu popisovat v následujících statích. Předem chci předeslat, že tyto návrhy byly dělány se zřetelem na to, že jsou to funkční modely a proto jsem se snažil, aby byly vyráběny co nejjednodušší a nejlacinější.

III.-l. l. alternativa valivého uložení.

Návrh konstrukčního řešení podle této alternativy je znázorněn na obr.III.l . a na výkresu NAV - 01.

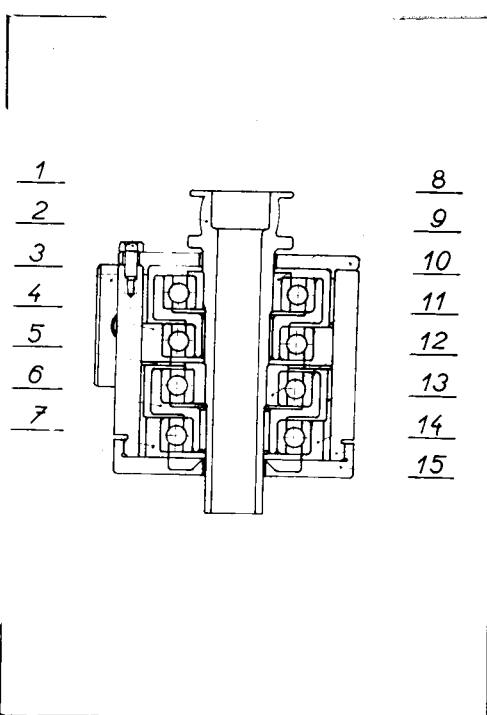


obr.III.l.

Při tomto návrhu jsem použil dva páry ložisek rozdílných průměrů. Výhodou toho je, že větší ložiska se dají přímo nepohyblivě uložit do vlastního ložiskového tělesa. Vzhledem k tomu , že tento návrh měl sloužit pouze jako funkční model , sloužící k odskočení , neřešil jsem otázku mazání. Dále poznatky o valivých odporech v ložisku mnmě vedly k tomu , že od tohoto řešení nemohu požadovat růzložení otáček na jednotlivá ložiska ve stejném , ani přibližně stejném poměru , poněvadž součinitel valivého tření je funkcí poloměrů kroužků a kuliček. Proto jsem toto řešení nevyroběl a tím jsem si ani nemohl prakticky ověřit jeho chod. Abych docílil rozložení otáček ve stejném , nebo přibližně stejném poměru , musel jsem použít ložiska stejného průměru .

III.-2. 2. alternativa valivého uložení.

Návrh konstrukčního řešení podle této alternativy je znázorněn na obr.III.2.1. a na výkresu NAV - 02.



obr.III.2.1.

U tohoto návrhu jsem použil dva páry stejných ku-ličkových ložisek vnitřního průměru 30mm. Vyvstal ovšem problém uchycení unášených ložisek na těleso ložiska. Tím, že unášivé ložisko je nalisováno v unášivém pouzdře, má větší průměr, než ložisko unášené a k tomu se musí ještě volně otáčet. Tento problém jsem obešel tím, že na unášené ložiska jsem navulkанизoval nákrúžek z olejevzdorné pryže. Domníval jsem se, že tímto řešením zároveň uložení odhlučním.

Po vyrobení funkčního modelu jsem přistoupil k praktickému odzkoušení uložení na zkušební stolici.

Při praktickém zkoušení vyplývaly tyto nedostatky tohoto návrhu uložení :

hřídel konálnásledující složitý pohyb :

otáčel se ve vnitřních ložiskách spřevodovanými otáčkami motoru; v rytmu otáčení unášených ložisek opisoval prostorový kuželoid s vrcholy v osy hřídele uprostřed mezi ložiskami, při čemž průměr osy hřídele opisovaných kružnic na obou koncích hřídele byl 2 - 4 mm;

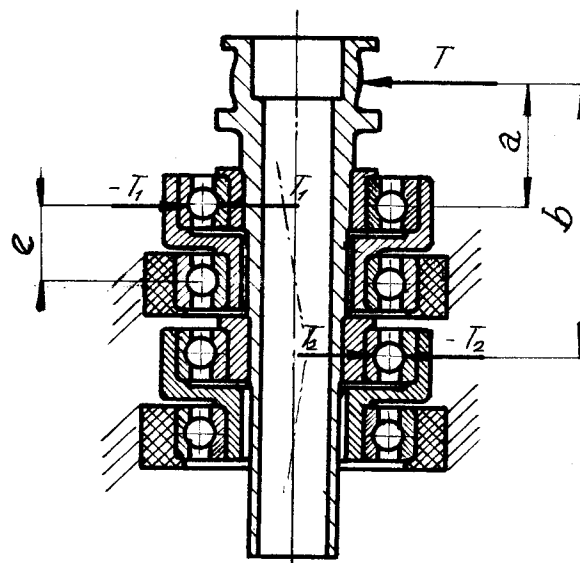
otáčky jednotlivých ložisek se měnily jednak od rozběhu k ustálení chodu, jednak po rozběhnutí.

Při rozběhu se hřídel točil z velké části jenom v unášivých ložiskách, pak po delším chodu se rozběhly i unášená ložiska a hřídel i s unášivými ložiskami se otácel téměř jenom v unášených ložiskách. Při otášení ve vnitřních unášivých ložiskách vykazoval klidnou rotaci, kdežto při otáčení ve vnějších unášených ložiskách konal ještě už uvedenou přídavnou rotaci doprovázenou velkou hlučností. Rozložení otáček se měnilo v průběhu zkoušek, podstatný vliv na otáčky mělo mazání. Bylo obtížné namazat všechna ložiska stejně. Ložisko více namazané bylo mazadlem přežděno a jeho otáčky se snížily. Pro tyto vlivy bylo obtížné stroboskopicky změřit rozložení otáček. Pouze při jednom informativním měření byly naměřeny otáčky vnitřního a vnějšího kroužku unášivého ložiska v poměru 16/9;

příkon, měřen elektrickým zkušebním panelem, také značně kolísal jak při rozběhu tak i v průběhu zkoušení. Informativním měřením jsem zjistil kolísání příkonu v mezích 18 - 100 W.

Snažil jsem se zjistit vlivy, které způsobují tento nepravidelný chod uložení a konstrukčními úpravami je eliminovat.

Domníval jsem se , že příčinou složité rotace hřídele a z toho vyplývající nepravidelné rozložení otáček na jednotlivá ložiska a tím i kolísání příkonu je výrobní nepřesnost jednotlivých dílců uložení a nepřesná montáž, zapříčiněná velkým množstvím počtem naražených spojení.Dále jsem se domníval , že příčiny házení jsou v silových poměrech , které vyplývají ze samotné konstrukce uložení, jak je to zřejmé z obr.III.2.2.



obr.III.2.2.

$$T \cdot b = T_1 \cdot / b - a /$$

$$T_1 = \frac{T \cdot b}{b - a} / \quad /39/$$

$$T \cdot a = T_2 \cdot / b - a /$$

$$T_2 = \frac{T \cdot a}{b - a} / \quad /40/$$

Z výpočtu je zřejmé , že každé z unášivých ložisek nese jiný díl ze zatížení vyvozeného tahem T řemene.

Je také rozdílné zatížení ložiska unášivého , které přenáší reakci T_1 a zatížení ložiska unášivého , které přenáší moment T_1 . e .Tady není splněná podmínka pro stejné rozkládání otáček , vyplývající ze stejného zatížení ložisek.Vliv nestejného zatížení se však nedá odstranit konstrukční úpravou.

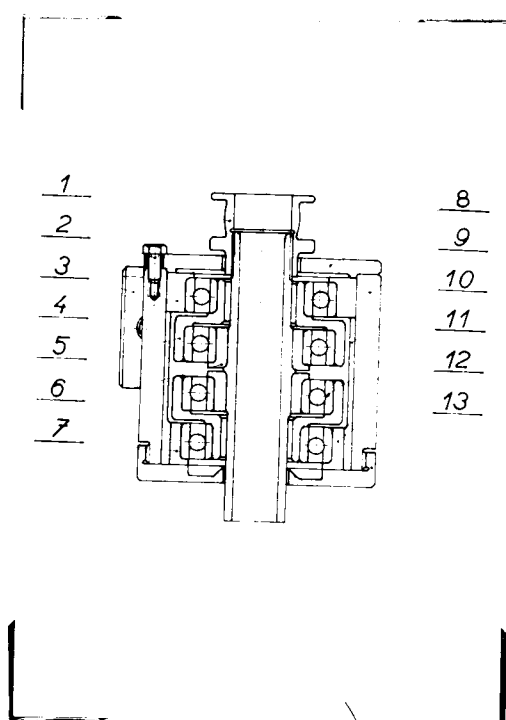
Na každé z unášivých pouzder však působí jiný moment co do velikosti i směru.Protože je v ložiskách určitá vůle, jsou pouzdra vyosená a to každé v obráceném směru.Tím místo přítlaku kuliček na kroužky je také u každého pouzdra unášivých ložisek na opačné straně.

Jelikož se vyosená pouzdra musí také otáčet , musí hřídel opisovat prostorový kuželoid. Tím, že jsou spříčena v obráceném směru a každé na tu stranu , kde je místo přítlaku unášivých ložisek , tím je házení hřídele větší, poněvadž se sčítá vůle v unášivých ložiskách s výchylkou unášivých pouzder.Vzhledem na délku hřídele jsou pak tyto výchylky značné.

Abych odstranil tyto nedostatky , otočil jsem jedno z unášivých ložisek , jak je to zřejmě z třetí alternativy řešení.

III.3. 2. alternativa valivého uložení.

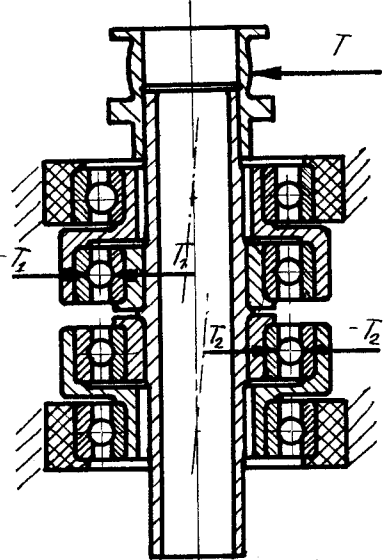
Návrh konstrukčního řešení uložení podle této alternativy je znázorněn na obr. III.3.1 a výkresu NAV-03.



obr.III.3.1.

Zkoušky ukázaly , že tato úprava nepřinesla zásadní obrat v chodu uložení.Je pravda , že účinek momentů reakcí unášivých ložisek na unášivá pouzdra má příznivější vliv i na otáčení hřídele , jak je to zřejmé z obr. III.3.2. na následujícím listu.Je to způsobeno tím , že příčení pouzder je ve stejném směru , ale jelikož se mají vyosená pouzdra otáčet , musí se hřídel také vyosovat a tím opisovat u tohoto řešení válec v rytmu otáček unášených ložisek.Opět konal složený pohyb s přídavnou rotací.Uvažujeme-li také to , že unášivá ložiska , nalisovaná na hřídeli , jsou u tohoto řešení blíž u sebe , oba páry loži-

sek přenáší rozdílné zatížení, ovšem tento rozdíl je teď menší a také jsou menší rozdíly mezi momenty, působícími na unášená ložisková pouzdra. To, že vzdálenost mezi unášivými ložiskami je menší, má nepříznivý vliv na klidné otáčení hřídele, protože jeho uchycení je tím labilnější. Malé výle v ložiskách způsobují značné výchylky na koncích hřídele. Zvětšení vzdálenosti mezi vnitřními ložiskami nedovoluje požadavek na co nejkratší hřídel, vyplývající z jeho funkce na spřádacím zařízení bezvýretkového spřádání. Tam je žádoucí, aby cesta vzduchem unášeného spřádacího materiálu od ventilátoru k spřádacímu kuželi byla co nejkratší.



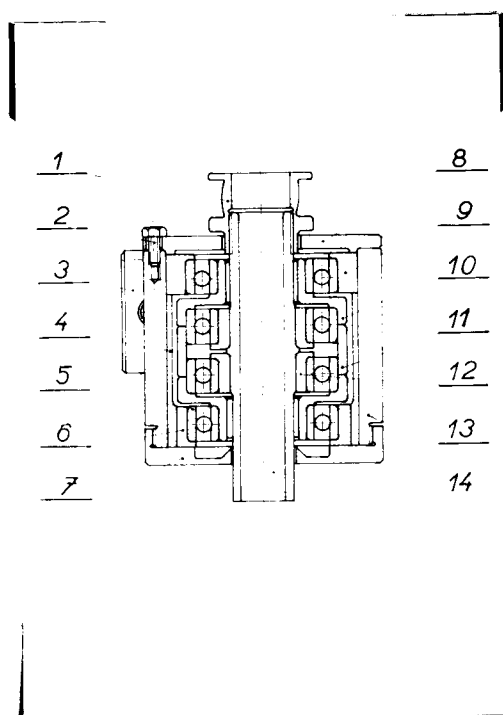
obr.III.3.2.

Při zkoušení vykazovalo uložení podle tohoto návrhu značně hlučný chod, hřídel konal opět přídavné rotace, otáčky se rozkládaly nepravidelně, příkon kolísal.

Ve snaze odstranit účinek vlivu deformace prýžových kroužků na unášených ložiskách, která přispívala ke zvětšení amplitúdy kmitání hřídele, nahradil jsem je nákrúzkami ze silonu. Tím se však zvětšila hlučnost a tato úprava nepřispěla podstatně ke klidnému otáčení hřídele. Jako nejhodnější úprava se jevího zpevnění unášivých pouzder v jeden celek podle násled. alternativy .

III. - 4. 4.alternativa valivého uložení.

Návrh konstrukce uložení dle této alternativy je znázorněn na obr.III.4.1. a na výkresu NAV - 04.



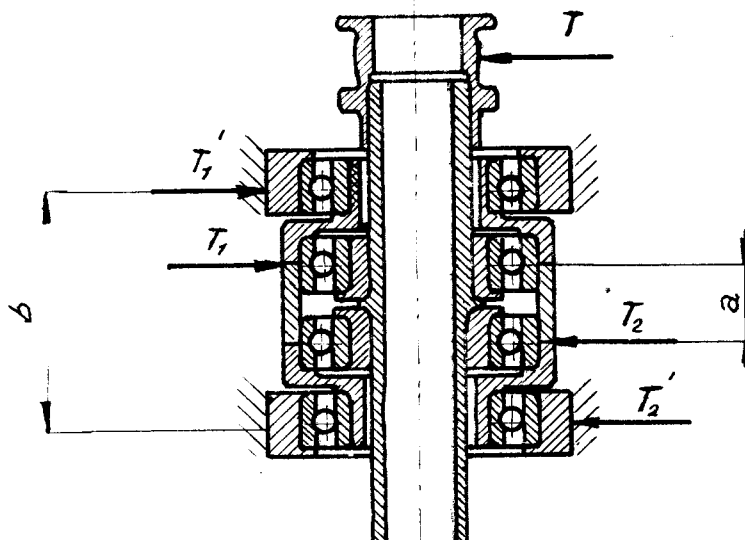
obr.III.4.1.

Rozdíl v konstrukci této alternativy oproti předchozímu řešení je v tom, že unášivá pouzdra jsou naliso-váná jenom na polovinu plochy vnějšího kroužku unášivých ložisek. Na zbývající plochy obou ložisek jsem narazil duralovou trubku - stahovací pouzdro.

Unášivá pouzdra i stahovací pouzdro jsem u všech předešlých alternativ navrhoval z duralu, abych snížil účinek setrvačných hmot při rozběhu ložisek na nejmenší míru.

Domníval jsem se, že těmto řešením odstraním ne-příznivý účinek momentů reakcí unášivých ložisek na ložiska unášená. V případě pevného naražení stahovacího pouzdra přenáší všechna ložiska radiální síly, jak je to

zřejmě z následujícího obr. III.4.2.



obr.III.4.2.

Z obr. vyplývá:

$$T_1 \cdot b + T_1 \left(a + \frac{b-a}{2} \right) - T_2 \frac{b-a}{2} = 0 \quad /41/$$

$$T_1' = \frac{T_2 \cdot \frac{b-a}{2} - T_1 \left(a + \frac{b-a}{2} \right)}{b} \quad /42/$$

$$T_2 \cdot b + T_2 \left(a + \frac{b-a}{2} \right) - T_1 \frac{b-a}{2} = 0 \quad /43/$$

$$T_2' = \frac{T_1 \cdot \frac{b-a}{2} - T_2 \left(a + \frac{b-a}{2} \right)}{b} \quad /44/$$

Zde se markantně ovšem projevil účinek momentů reakcí. Jelikož materiál pouzdra stahovacího a unášivých pouzder je dural, funkční narážecí plochy jsou poměrně malé, účinkem měomentů reakcí se unášivá ložiska ve stahovacím pouzdře viklala. Ukázalo se, že unášivé momenty valivých odporů unášivých ložisek jsou velké natolik, že jejich účinkem se vnější kroužky unášivých ložisek přetáhely v naráženém spoji. Tím se ložiska značně zahřívala třecím teplem.

Při demontáži byly patrný stopy po přetáčení ložisek v pouzdře a to tím způsobem, že vnější kroužek hořeného unášivého ložiska i s unášivým pouzdrem a vnitřním věncem hořeného unášeného ložiska měl vůči spodnímu unášivému ložisku, na kterém stahovací pouzdro drželo pevně, patrně rozdílné otáčky.

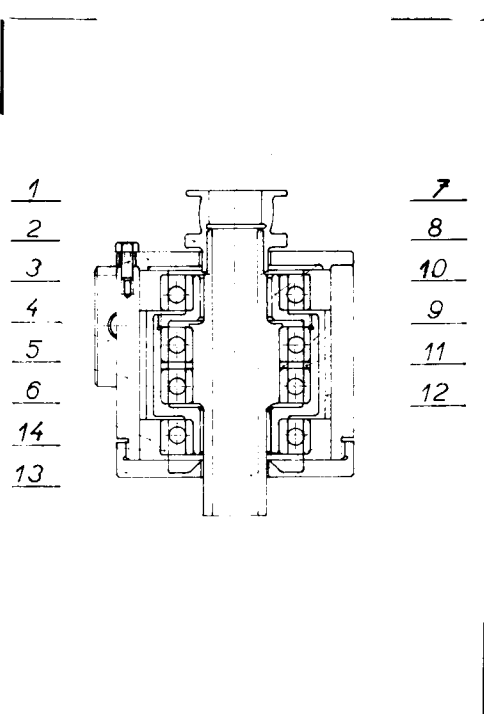
Dá se zároveň předpokládat , že přetáče-li se pouzdra vůči sobě , měly vnější kroužky unášivých ložisek snahu otáčet se různými rychlostmi , tzn. že měly rozdílné momenty valivých odporů , které tyto kroužky unášeji.Příčinou toho jsou rozdílné součinitelé valivých tření obou párů ložisek a také rozdílné zatížení.

Zpevněním unášivého pouzdra v jeden celek se musí unášená ložiska otáčet stejnými otáčkami a unášivý moment valivého odporu unášivých ložisek se musí skládat z momentů obou unášivých ložisek.Tímto řešením se stává ze dvou párů vzájemně se neovlivňujících unášivých ložisek jedno unášivé ložisko s dvojnásobnými ložiskami . Teoreticky z počtu pravděpodobnosti by se dalo uvažovat, že budu-li mít sadu n unášivých ložisek a sadu n unášivých ložisek , hodnoty součtů jejich redukovaných součinitelů valivého tření budou tím pravděpodobněji sebě rovný , čím větší počet ložisek budou sady obsahovat.To znamená , že v případě unášivého ložiska s dvojnásobnými ložiskami bude větší pravděpodobnost splnění podmínky stejného rozložení otáček , vyplývající s rovností redukovaných součinitelů valivého tření. Zde však hraje roli ještě otázka stejného zatížení ložisek .Jelikož u této konstrukce ložiska nejsou zatížená stejně , větší moment valivého odporu vyvazuje ložisko více zatížené , za předpokladu stejných součinitelů valivého tření.Dá se předpokládat , že tato rozdílnost momentů je příčinou přetáčení se ložisek vůči sobě ve stahovacím pouzdře.

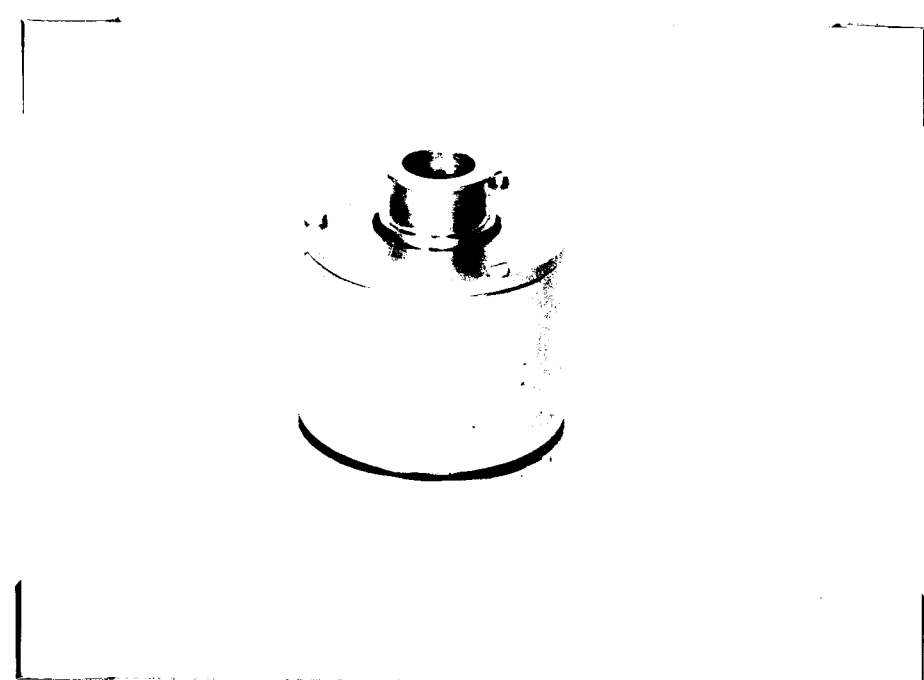
Tato konstrukce uložení vykazovala nepravidelný chod doprovázený velkou hlučností a značným zahříváním ložisek.Abych odstranil přetáčení ložisek v pouzdře , navrhla jsem další úpravu s unášivým pouzdrem dvojdílným z ocele.

III.-5. 5. alternativa valivého uložení.

Návrh konstrukce uložení podle této alternativy je znázorněn na obr.III.5.1. a výkresu NAV -06.

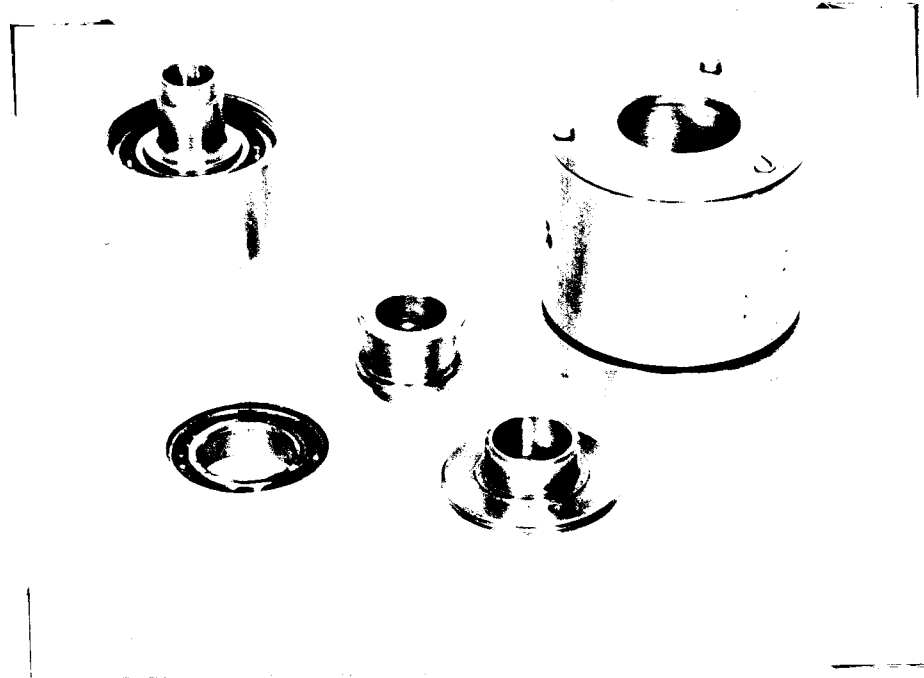


obr.III.5.1.



obr.III.5.2.

Obr. III.5.2. představuje celkový pohled na konstrukci řešení uložení s valivými unášivými ložiskami s dvojdílným unášivým pouzdrem.



obr.III.5.3.

Obr. III.5.3. znázorňuje pohled na částečně demontovanou konstrukci uložení s unášivými valivými ložisky-
mi s dvojdílným unášivým pouzdrem.

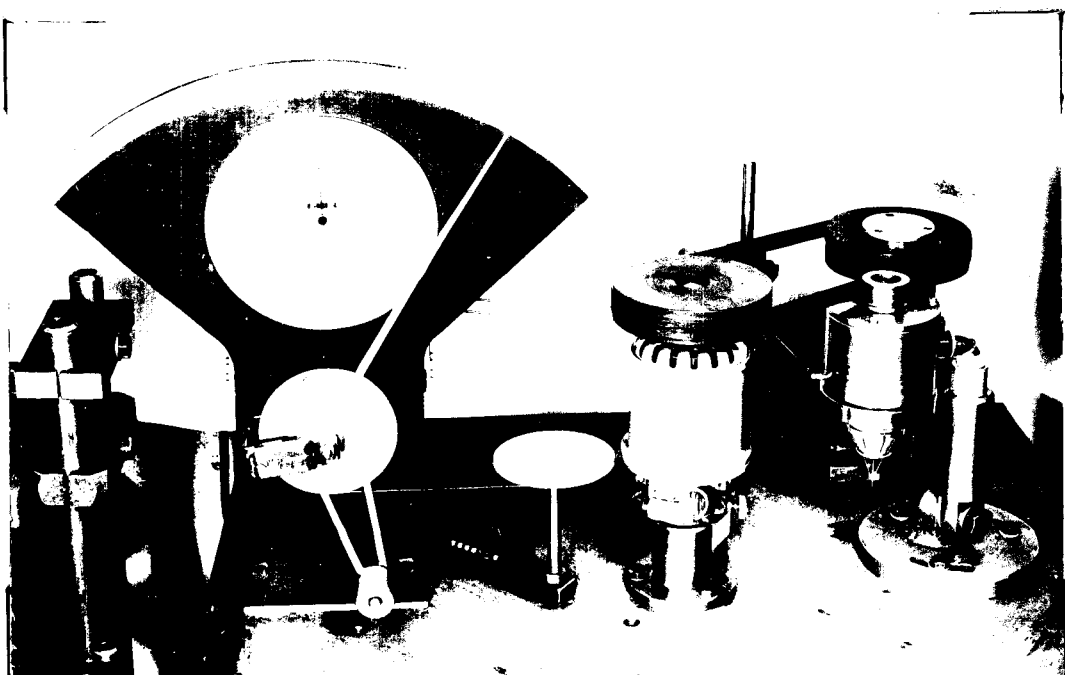
Dospěl jsem tím k poslednímu způsobu řešení. I když toto řešení vykazovalo ze všech alternativ nejlepší výsledky, má řadu nedostatků. Hřídel se otáčí s házením, otáčky se rozkládají nepravidelně. Příčiny házení vidím v tom, že unášivá ložiska jsou v malé vzdálenosti od sebe a také ve velkém množství narážených spojů. Tato konstrukce je velmi choulostivá na přesnost montáže a přesnost výroby. Nepravidelné rozkládání otáček vyplývá jednak z nepřesnosti výroby, jednak z nepřesnosti montáže, z nestejného zatížení ložisek, z nestejných součinitelů valivého tření a z nestejného a nedostatečného mazání. Budu o tom ještě pojednávat ve statí o porovnání valivého uložení s uložením kluzným.

Mazání u všech těchto konstrukcí valivého uložení zůstala nevyřešena. Zkoušky ukázaly, že unášivá ložiska jsou velmi choulostivá na mazání. Zkoušel jsem použít několik druhů olejů o různé viskozitě. Mazal jsem kapáním z olejničky. Mazání, prováděné takovým způsobem, působilo brzdícími účinky na unášená ložiska, přičemž se účinkem rotace unášivých ložisek olej vůbec nedostal do vnitřku unášivého dvojdílného pouzdra, čímž unášivá ložiska se točila bez mazání. Mazání vazelinou je úplně nevhodující. Jako nejvhodnější způsob mazání uložení na principu unášivých ložisek bych viděl způsob vytvářející olejovou mlhu.

Co se týče samotné konstrukce uložení na principu unášivých ložisek, pátá alternativa řešení není ještě konečná. Jako další cestu vývoje tohoto uložení bych viděl v řešení s dvojím náhonem. Představuji si to tím způsobem, že "unášená ložiska" jako i vnější kroužek "unášivých ložisek" by dostávaly nutný pohyb přídavným náhonem polovičními otáčkami z otáček hřídele. Tímto řešením by všechny ložiska přenášely poloviční otáčky z otáček hřídele a tím by bylo možné použít pro otáčky 15000 l/min. kuličková ložiska. Konstrukce by nebyla tak choulostivá na mazání a životnost ložisek vzhledem na malé radiální síly by byla velká.

IV. Měření příkonu.

Pro měření příkonu v závislosti na otáčkách jsem použil dynamometru, který je znázorněn na obr. IV. 1.



obr. IV. 1.

Dynamometr má části sloužící k měření a části pomocné. K měřicím částem patří elektromotorek, ukazovatel s cejchovanou stupnicí a otáčkoměr.

Elektromotorek má otočně uložený stator i rotor, takže dynamometr je založen na principu akce a reakce, kdy na rotor působí stejný moment jako na stator, ale opačného smyslu. Natočení a tím i tah elektromotorku je přenášen pomocí provázku na ručičku ukazatele.

Otačkoměr instalovaný v ukazateli je značně nepřesný, proto jsem použil ručního otáčkoměru.

Zbývající části dynamometru jsou pomocné a patří k nim držák pro uchycení zkoušeného zařízení , kladka se závažím pro přitlak zkoušeného zařízení , držák napínací kladky a napínací kladka.

K elektrické výzbroji dynamometru patří pouze reostat pro plynukou změnu otáček a tím i příkonu elektromotorku.

IV.-1. Postup měření.

a/ příprava dynamometru k měření.

Do držáku upevníme zkoušené uložení.Uložení je otočně uchyceno kolem osy držáku.Potom zavěsíme na provázek závaží pro přitlak , které svoji vahou přitiskne řemenici uložení na řemínek nasazený na řemenici elektromotorku a na napínací kladce.Pro přitlak jsem použil závaží 0,5kg, při kterém podle informativních měření nedochází k prokluzu řemene.

b/ vlastní měření.

Reostatem jsem nastavil určité otáčky elektromotorku.Odjistil jsem rotor elektromotorku a na stupnici ukazatele zatížení jsem přečetl zatížení / sílu /,odpovídající nastaveným otáčkám.Obě hodnoty jsem zapsal do protokolu měření.Potom následovalo zvýšení otáček.Při tom už nebylo třeba zajišťovat stator elektromotorku.

Při měření je třeba dbát toho, aby v okamžiku odečítání zatížení i otáček mělo již zkoušené uložení a tím i elektromotorek dynamometru konstantní otáčky.Toto se určí nejlépe dle ručičky ukazatele zatížení , která má ukazovat stále stejnou hodnotu i při několikerém ručním protocením statoru elektromotorku.

IV.-2. Zpracování naměřených hodnot.

Na dynamometru naměříme pro otáčky n sílu P v g.
Příkon uložení určíme ze vztahu:

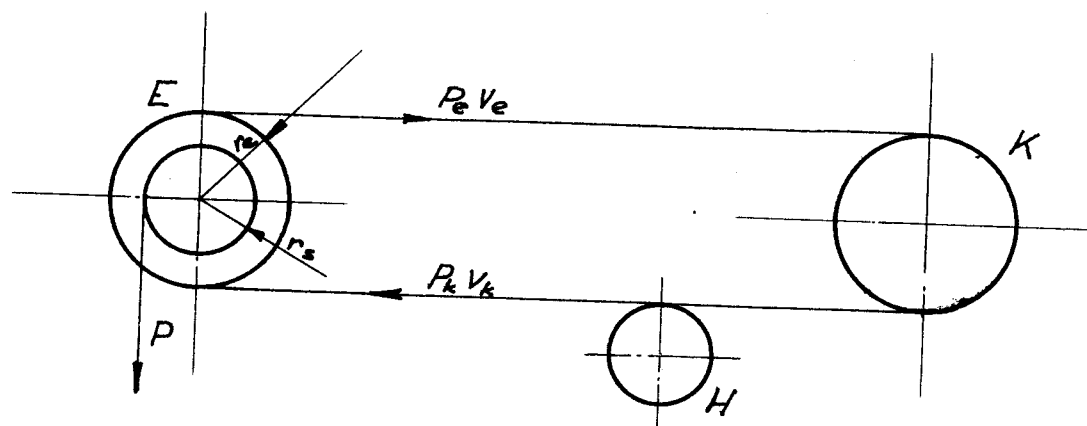
$$N = \frac{P \cdot v}{102} \text{ kW},$$

/45/

kde síla P je v kg, rychlosť v v m/sec.

Na dynamometru odečítám sílu P v g a otáčky n v l/min.

Jelikož chci výkon ve W, vypočítáme si převodové konstanty.



obr.IV.2.

Z obr.IV.2. , kde E je elektromotorek dynamometru, K napinací kladka , H hřídel uložení, P tah provázku ukazatele , P_e tah řemene elektromotorku , v_e rychlosť řemene dynamometru, P_k tah řemene na obvodu řemenice uložení, v_k rychlosť řemene na obvodu řemenice uložení , r_e poloměr řemenice elektromotorku, r_s poloměr kotouče pro převod síly na ukazatel, P je síla v provázku, působící na ukazatel zatížení,

při čemž

$$r_s = 50\text{mm}$$

$$r_e = 60\text{mm}$$

Vyplyvá :

pro rovnost výkonů platí :

$$P_e \cdot v_e = P_k \cdot v_k \quad /46/$$

Neuvažujeme-li prokluz mezi řemínkem a řemenicí hřídele, bude :

$$v_k = v_e \quad /47/$$

a tím

$$P_k = P_e, \quad /48/$$

takže na řemínu bude působit síla P_e rychlostí v_e .

Síla P_e působí na poloměru r_e a síla P na poloměru r_s .

Pro rovnováhu musí platit :

$$P_e \cdot r_e = P \cdot r_s = M_k \quad /49/$$

Dosadíme-li do rovnice / 45/ -výraz

$$v = \frac{2\pi r_e n_e}{60}, \quad /50/$$

bude

$$N = \frac{P_e 2\pi r_e n_e}{60 \cdot 102}, \quad /51/$$

potom můžeme podle /47/ tento výraz přepsat na :

$$N = \frac{P_2 \pi r_s n_e}{60 \cdot 102}$$

/52/

Po vyjádření všech konstant obdržíme výraz :

$$N = \frac{5,135 P n_e}{5 \cdot 10} / \text{W} ; g \ddot{\text{s}} 1/\text{min.} / /53/$$

Takto vypočtenou hodnotu N bych již mohl vynášet do diagramů vzávislosti na otáčkách n. Ovšem při měření dochází ke tření a ztrátám, hlavně v oblasti elektromotoru a ukazatele zatížení. Elektromotorek rovněž spotřebuje určitý příkon. Tyto vlivy by značně zkreslovaly výslednou křivku. Pro odstranění těchto vlivů změřím příkon samotného dynamometru. Vnesu křivku dynamometru, která vyjadřuje závislost mezi příkonem dynamometru a jeho otáčkami, kterou musím odečítat od křivky příkonu uložení vynesenou podle naměřených hodnot protokolu měření, abych zjistil křivku čistého příkonu uložení závislosti na otáčkách.

Pro kontrolu zda se příkon dynamometru mění během doby měření, jsem prováděl měření příkonu spotřebovaného dynamometrem vždy před započetím a po ukončení měření uložení.

Pro zkonstruování střední křivky dynamometru jsem použil tři měření, která jsou zachycena v protokolu měření. Křivka příkonu dynamometru v závislosti na otáčkách je vyнаšena na přiloženém diagramu pod názvem "charakteristika dynamometru".

Měření příkonu uložení v závislosti na otáčkách jsem prováděl bez sprádacího košíku. Stávající košíky jsou dynamicky nevyváženy, co způsobovalo velké házení a hlučnost. Vzhledem na citlivost měřícího zařízení jsem měření s košíkem vynechal, takže v příloze přikládám pouze diagram příkonu v závislosti na otáčkách samotného uložení.

Vynesená křivka je rovněž střední křivkou příkonu ze třech měření, která jsou zaznamenána v protokolu měření.

Chci podotknout, že v oblasti kolem 13000 ot./min. je křivka málo přesná. Nepřesnost je způsobena chybou otáčkoměru. V této oblasti jsem přecházel na vyšší rozsah otáčkoměru, který byl na vyšším rozsahu, respektivně v oblasti přechodu na vyšší rozsah málo přesný. Křivku jsem pak vyňašel interpolací. Při kontrole podle vypočtené teoretické křivky příkonu jsem zjistil v této oblasti značné rozdíly mezi hodnotami odečtenými z diagramu a hodnotami vypočtenými, co potvrdilo nepřesnost čtení otáček.

Od vynesené křivky příkonu podle naměřených hodnot jsem odečetl křivku příkonu dynamometru a tím jsem dostal křivku čistého příkonu uložení v závislosti na otáčkách.

Protokol měření příkonu v závislosti na otáčkách
samotného dynamometru.

1. měření

měř.	n dynmetru	délky	g	w
1.	1580	2,9	7,25	0,58
2.	2580	3,3	8,25	1,09
3.	3150	3,9	9,75	1,57
4.	3550	4,8	12	2,2
5.	3930	5,0	12,5	2,5
6.	4240	5,75	14,35	3,14
7.	4490	6,3	15,75	3,62
8.	4780	6,8	17,0	4,16
9.	5440	7,5	18,75	5,24
10.	5800	8,1	20,2	6,00
11.	6000	8,7	21,8	6,72
12.	6250	9,5	23,7	7,6
13.	6500	9,9	24,8	8,3
14.	6750	10,35	25,6	9,1

Protokol měření příkonu v závislosti na otáčkách
samotného dynamometru.

2. měření

měř.	n dynmetru	délky	g	W
1.	1920	1,8	3,46	0,34
2.	2230	2,5	6,25	0,72
3.	2925	3,4	8,5	1,27
4.	3360	4,0	10,0	1,72
5.	3600	4,6	11,5	2,12
6.	4110	5,3	13,3	2,8
7.	4470	5,8	14,5	3,31
8.	4710	6,2	15,5	3,74
9.	5200	6,8	17,0	4,54
10.	5500	7,2	18,0	5,06
11.	5600	7,6	19,0	5,48
12.	5800	8,0	20,0	5,92
13.	5950	8,3	20,7	6,32
14.	6150	9,0	22,5	7,05

Protokol měření příkonu v závislosti na otáčkách
samotného dynamometru.

3. měření

měř.	n dynametru	délky	g	w
1.	1860	2,2	5,5	0,52
2.	2450	3,0	7,5	0,94
3.	2820	3,5	8,75	1,25
4.	3250	4,0	10,0	1,66
5.	3720	4,8	12,0	2,28
6.	4085	5,3	13,3	2,76
7.	4390	5,9	14,65	3,32
8.	4670	6,3	15,7	3,78
9.	5050	6,7	16,75	4,34
10.	5400	7,05	17,6	4,87
11.	5650	7,6	19,0	5,52
12.	5830	8,0	20,0	6,00
13.	6000	8,7	21,7	6,67
14.	6200	9,1	22,8	7,25

Protokol měření příkonu v závislosti na otáčkách
valivého uložení bez spřádacího košíku.

1. měření

měř.	n dynmetru	n hřídele	délky	g	w
1.	2380	5900	6,9	69,0	8,4
2.	2890	7150	7,7	77,0	11,4
3.	3040	7550	8,0	80,0	12,5
4.	2360	8350	9,3	93,0	16,0
5.	3600	8950	10,1	101,0	18,65
6.	3850	9550	11,1	111,0	21,9
7.	4000	9925	12,4	124,0	25,5
8.	4310	10420	12,5	125,0	27,0
9.	4420	10950	13,7	137,0	31,0
10.	4520	11200	14,7	147,0	34,0
11.	4725	11700	15,4	154,0	37,3
12.	5000	12400	15,9	159,0	40,7
13.	5200	12900	16,5	165,0	44,0
14.	5400	13400	17,5	175,0	48,5
15.	5600	13900	18,1	181,0	52,0
16.	5800	14375	18,8	188,0	56,0
17.	5950	14750	19,7	197,0	60,2
18.	6000	14875	20,5	205,0	63,0
19.	6230	15425	21,8	218,0	69,7
20.	6430	15925	22,7	227,0	75,0

Protokol měření příkonu v závislosti na otáčkách
valivého uložení bez spřádacího košíku.

2. měření

měř.	n dynmetru	n hřídele	délky	g	W
1.	2120	5280	7,0	70,0	7,6
2.	2610	6480	8,1	81,0	10,8
3.	2940	7300	8,9	89,0	13,4
4.	3220	8000	9,8	98,0	16,2
5.	3540	8780	10,8	108,0	19,4
6.	3775	9340	11,2	112,0	21,6
7.	4020	10000	12,5	125,0	25,8
8.	4220	10450	13,5	135,0	29,2
9.	4400	10800	14,4	144,0	32,5
10.	4630	11500	15,5	155,0	36,8
11.	4770	11900	16,8	168,0	41,0
12.	5000	12400	16,9	169,0	41,6
13.	5200	12900	17,0	170,0	45,3
14.	5300	13150	18,2	182,0	49,5
15.	5600	13870	19,1	191,0	54,8
16.	5800	14400	20,2	202,0	60,0
17.	5900	14600	21,2	212,0	64,2
18.	6000	14880	21,8	218,0	67,0
19.	6300	15380	22,4	224,0	71,5
20.	6350	15750	23,2	232,0	75,5

Protokol měření příkonu v závislosti na otáčkách
valivého uložení bez sprádacího košiku.

3. měření

měř.	n dynmetru	n hřídele	délky	g	W
1.	1900	4720	6,5	65,0	6,35
2.	2280	5650	7,6	76,0	8,9
3.	2480	6150	8,5	85,0	10,75
4.	2960	7350	9,75	97,5	14,8
5.	3320	8250	10,7	107,0	18,2
6.	3740	9275	11,5	115,0	22,0
7.	3920	9725	13,1	131,0	26,3
8.	4175	10400	14,75	147,5	31,6
9.	4460	11050	16,0	160,0	36,6
10.	4630	11450	17,6	176,0	41,8
11.	4900	12150	19,2	192,0	48,3
12.	5000	12400	20,7	207,0	53,3
13.	5420	13400	21,3	213,0	60,4
14.	5780	14300	21,7	217,0	64,5
15.	5820	14400	22,5	225,0	67,2
16.	5980	14820	23,4	234,0	71,7
17.	6000	14900	24,0	240,0	74,0
18.	6100	15100	25,0	250,0	78,2
19.	6240	15475	26,1	261,0	83,4

IV.-3. Výpočet teoretické křivky příkonu.

Z vynesené křivky čistého příkonu v závislosti na otáčkách daného uložení je patrno, že je to exponenciální křivka jdoucí počátkem souřadního systému. K tomu, abych zjistil její rovnici, slouží následující výpočet.

Obecná rovnice této křivky je :

$$N = a n^x$$

/54/

Výpočet spočívá ve vyjádření konstanty a a exponentu x .

a/ obecné řešení:

$$N_1 = a n_1^x$$

 x

$$\underline{N_2 = a n_2}$$

$$\log N_2 = \log a + x \log n_2$$

$$\log a = \log N_2 - x \log n_2 \quad /55/$$

$$- x \log n_2 + \log N_2 = \log N_1 - x \log n_1$$

$$x / \log n_1 - \log n_2 = \log N_1 - \log N_2$$

$$x = \frac{\log \frac{N_1}{N_2}}{\log \frac{n_1}{n_2}} \quad /56/$$

b/ praktické řešení:

$$n_3 = 11000 \text{ l/min.} \quad N_3 = 30 \text{ W}$$

$$\underline{n_5 = 15000 \text{ l/min.} \quad N_5 = 63,2 \text{ W}}$$

$$x = \frac{\log \frac{63,2}{30}}{\log \frac{15000}{11000}} = \frac{\log 2,106}{\log 1,363} = 0,32346 - 0,13450$$

$$x = 2,404$$

$$\log a = \log 63,2 - 2,404 \log 15000$$

$$\log a = 1,8007 - 2,404 \cdot 4,17609$$

$$\log a = -8,2385 + 0,7615 / -9 /$$

$$a = 5,775 \cdot 10^{-6}$$

Z výpočtu vyplývá, že rovnice křivky příkonu v závislosti na otáčkách má tvar :

$$N = 5,775 \cdot 10^{-6} \cdot n^{2,404}$$

157

c/ kontrola, zda vypočítaná rovnice vyhovuje také pro jiné otáčky :

$$n_4 = 13000 \text{ l/min.} \quad N_4 = 45,4 \text{ W}$$

$$\log N_4 = \log a + x \log n_4$$

$$\log N_4 = -8,2385 + 2,404 \cdot 4,11394$$

$$\log N_4 = 1,6514$$

$$N_4 = 44,82 \text{ W}$$

Vzhledem na malý rozdíl mezi vypočítaným a skutečným příkonem , kdy chyba činí pouze 1,2% , uvedená rovnice křivky příkonu dostatečně vyhovuje pro provozní oblast tohoto uložení.

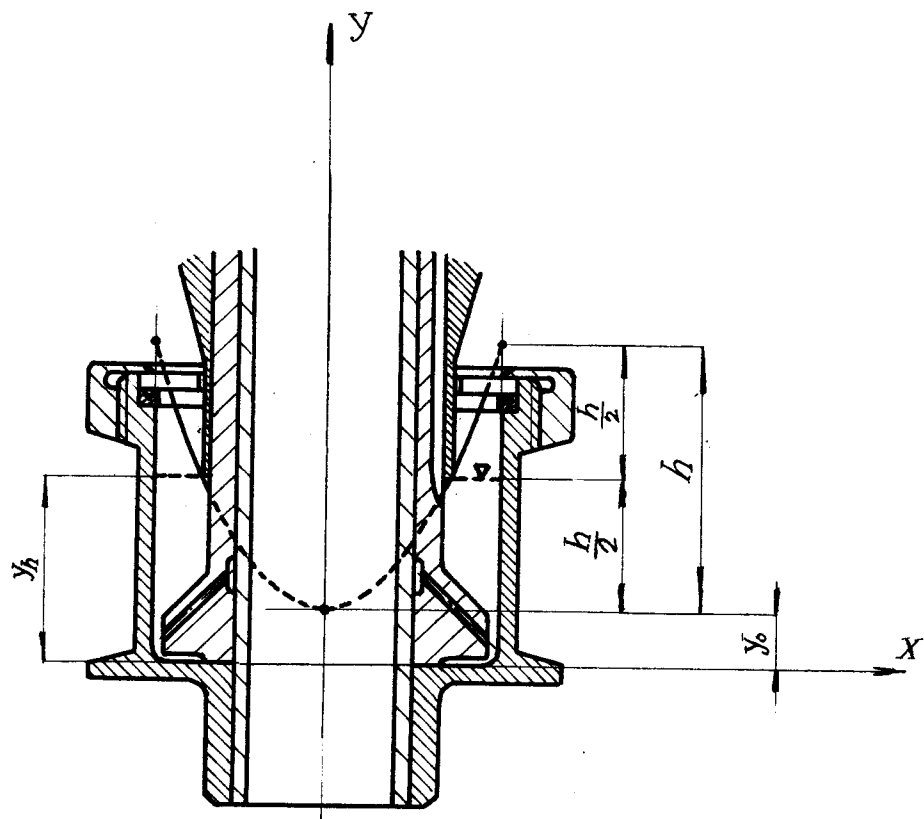
V. Závěr kapitoly o konstrukci uložení
s unášivými ložiskami.

Na závěr této kapitoly chci poznamenat, že tento princip uložení si zaslouží delšího výzkumu. Stávající uložení , které jsem vyvinul , není spolehlivé a prakticky použitelné , zejména pro velkou házivost , která by se projevila na zařízení bezvřetenového spřádání v periodické nerovnoměrnosti vypřádané příze, jednak pro nepravidelné rozkládání otáček na jednotlivá ložiska , co by se projevilo na malé životnosti ložisek , také pro obtížné mazání , které zůstalo nedořešené. Vyžaduje rovněž velkou přesnost výroby a velmi přesnou montáž.

O hodnocení tohoto uložení se ještě zmíním ve statí o porovnání s uložením kluzným.

VI. Kluzné uložení s tlakovým mazáním.

Po zkušenostech s valivým uložením, které se ukázalo být pro praktické použití na zařízení bezvřetenového spřádání nevhodující, navrhl jsem po doporučení s. E. Vokurky, pracovníka VÚTT, kluzné uložení s tlakovým mazáním. Konstrukční návrh tohoto uložení je znázorněn na následujícím obr. VI.2.1a na výkresu NAK - 01. Obr. VI.2.1. je na str. 60.



obr.VI.1.

VI.-1. Princip uložení.

Z hydromechaniky je známo , že rotuje-li nádoba naplněná kapalinou , vlivem odstředivých sil se vyvozuje v kapalině hydrodynamický tlak.Na tomto poznatku je založeno toto uložení.

Řemenice je vyřešena jako rotující nádoba s mazací tekutinou.Je naražena na dutém hřídeli, takže tvoří s ním jeden rotující celek.Olej vlivem odstředivých sil je tlačen na stěny nádoby, přičemž je vyvozen značný hydrodynamický tlak,je dále známo , že hladinová plocha se ustaví v rotační paraboloid s osou v osy hřídele.Řemenice - nádoba je shora uzavřena ~~a~~utěsněným víčkem zajistěným maticí.

Tlakový olej je přiváděn do stojícího mazacího pouzdra ložiska dvěma , pod 45° skloněnými mazacími dírkami do obvodové drážky pouzdra.Odtud proudí tlakový olej mezi-kružím, vytvořeným vůlí v ložisku směrem nahoru a dolu. Tím se vytváří olejová mazací vrstva.

Po přechodu ložiska je olej odstříkován s axiálních mazacích plošek dole přímo do rotující řemenice a nahoře do komůrky v ložiskovém tělese , která je shora uzavřená těsnícím víčkem.S komůrky olej stéká drážkami na povrchu pouzdra zpět do rotující nádoby.Tato cirkulace oleje se pořád opakuje.

Při odstříkování oleje z axiální třecí plochy olej značně mlží. Bylo problémem komůrku utěsnit. Toto jsem vyřešil labyrintem. Ukázalo se však, že zlínavostí se přece malé množství oleje dostává na povrch. Domnívám se , že toto se dá odstranit malou obvodovou drážkou na válcové ploše víčka , nebo mělkou šroubovou drážkou , která by měla směr stoupání proti otáčení hřídele.

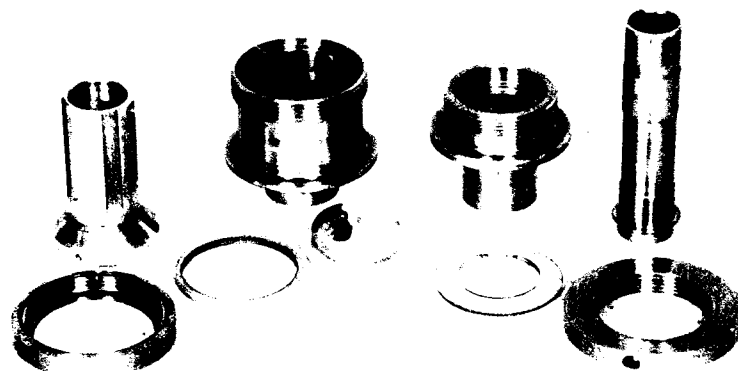
Aby se dal kontrolovat průběh mazání , jako i stav oleje , navrhl jsem utěšňovací víčko odstříkovací komůrky a víčko rotující nádoby z plexiskla . Tím se dá průběh mazání a sílu mezikružní olejové vrstvy zálohdu kontrolovat vizuálně.

Mazací pouzdro je uloženo v ložiskovém tělese shodně, aby byla snadná montáž. Proti otočení a posuvu je zajištěno červem.



obr.VI.l.1.

Obr.VI.l.1. představuje celkový pohled na konstrukci kluzného uložení s tlakovým mazáním.

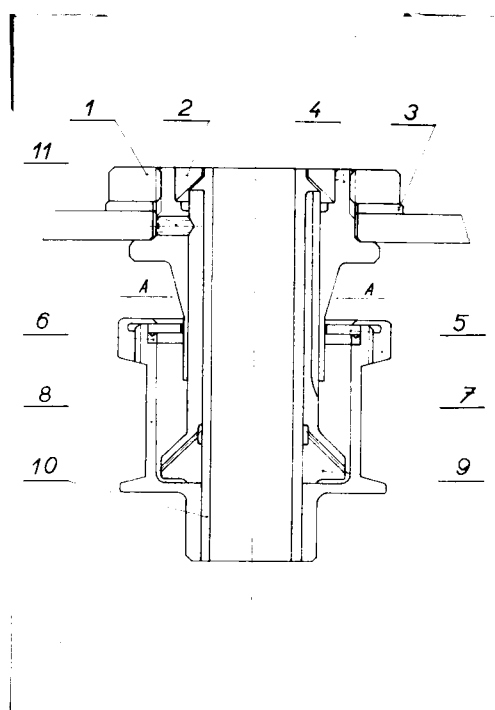


obr.VI.1.2.

Obr.VI.1.2. představuje pohled na demontovanou konstrukci kluzného uložení s tlakovým mazáním.

VI.-2. Výpočet tlaku oleje v rotující žemenici.

Pro názornosť výpočtu slouží obr.VI.1. na str. 56.



obr.VI.2.1.

U rotující nádoby platí rovnice paraboly :

$$y = \frac{x^2 + w^2}{2g} + k = \frac{u_x^2}{2g} + k \quad /58/$$

Pro hladinu konstanta k se rovná y_0 při $x = 0$

$$\text{pro } n = 15000 \text{ l/min. } w = \frac{2\pi n}{60} = \frac{2\pi \cdot 15000}{60}$$

$\approx 1700 \text{ l/sec.}$

Pro $x = r$; $y = h$

$$h = \frac{-r^2 w^2}{2g} = \frac{2^2 \cdot 1700^2}{2 \cdot 980} \cdot \frac{4 \cdot 288 \cdot 10^4}{2 \cdot 980} /59/$$

$$h = \frac{-1150 \cdot 10^4}{2 \cdot 980} = 5,75 \cdot 10^3 \text{ cm} = 57,5 \text{ m}$$

$$\frac{h}{2} = 2,875 \cdot 10^3 \text{ cm} = 28,75 \text{ m};$$

Z obr. vyplývá, že :

$$y_h = \frac{h}{2} + y_0; /60/$$

$$y_0 = y_h - \frac{h}{2} /61/$$

Při $y_h = 23 \text{ mm}$

$$y_0 = 0,023 - 28,75 = 28,727 \text{ m}$$

Rovnice paraboly při $n = 15000 \text{ ot/min.}$ má tvar:

$$y = \frac{x^2 \cdot w^2}{2g} - 28,727 \text{ / m, l/sec/}$$

Výpočet rovnice paraboly při otáčkách $n = 10000/\text{min.}$

$$w = \frac{2\pi n}{60} = \frac{2\pi 10000}{60} = 1047 \text{ l/sec.}$$

$$h = \frac{r^2 w^2}{2g} = \frac{2^2 \cdot 1047^2}{2 \cdot 980} \cdot \frac{4 \cdot 1098 \cdot 10^3}{2 \cdot 980} = 2,24 \cdot 10^3 \text{ cm}$$

$$\frac{h}{2} = 1,12 \cdot 10^3 \text{ cm} = 11,2 \text{ m}$$

$$y_0 = 11,177 \text{ m}$$

Zjednodušený výpočet tlaku oleje:

pro ústí mazacích dírek je $x = 19$ mm;
při $n = 15000$ je $w = 1700$ l/sec.

$$y = \frac{19^2 \cdot 1700^2}{2 \cdot 9,81 \cdot 10^3} = 28,727 \cdot 10^3$$

$$y = \frac{3,61 \cdot 2,81 \cdot 10^8}{2 \cdot 9,81 \cdot 10^3} = 28,727 \cdot 10^3$$

$$y = 53,1 \cdot 10^3 - 28,727 \cdot 10^3 = 24,4 \cdot 10^3 \text{ mm} = 24,4 \text{ m.}$$

Používal jsem mazadlo "Kolza", kterého $\mu = 0,8 - 0,9 \text{ g/cm}^3$

$$p_p = \mu \cdot y = 0,85 \cdot 24,4 = 2,07 \text{ kg/cm}^2 = 2,07 \text{ atp.}$$

při $n = 10000$ l/min je $w = 1047$ l/sec.

$$y = \frac{19^2 \cdot 1047^2}{2 \cdot 9,81 \cdot 10^3} = 10,97 \cdot 10^3$$

$$y = \frac{3,61 \cdot 1098 \cdot 10^3}{2 \cdot 9,81 \cdot 10^3} = 10,97 \cdot 10^3$$

$$y = \frac{3,61 \cdot 1,098 \cdot 10^8}{2 \cdot 9,81 \cdot 10^3} = 10,97 \cdot 10^3$$

$$y = 0,202 \cdot 10^5 - 10,97 \cdot 10^3 = 10,11 \cdot 10^3 \text{ mm} = 10,11 \text{ m.}$$

$$p_p = \mu \cdot y = 0,85 \cdot 1,011 = 0,86 \text{ kg/cm}^2 = 0,86 \text{ atp.}$$

Z výpočtu je patrno, že tlak v závislosti na otáčkách se mění v nějaké exponenciální křivce, poněvadž je závislý w^2 . Vzhledem na krátkost rozběhu nehrozí zde zadření. Teplotu oleje jsem neměřil, poněvadž za provozu bude olej chlazen dutým hřídelem prouducím vzduchem.

Z výpočtu je dále patrnou, že vzhledem na velkou vzdálenost vrcholů hladinových parabol oleje při provozních otáčkách 10.000 - 15.000 ot./min. dá se parabolické mezikruží přibližně brát jako mezikruží válcové. Dalou by se také spočítat minimální hladina oleje, při které by ještě bylo možné mazání, vzhledem na to, že ústí mazacích dírek jsou vzdáleny od okrajů řemenice 1 mm. Jelikož je obtížné zjistit výšku hladiny oleje, tento výpočet jsem nedělal. Síla mezikruží mazacího oleje, která nesmí být slabší než 1 mm, se dá vizuálně kontrolovat za chodu přes průhledné víčko z plexiskla. Průběh mazání se dá také vizuálně pozorovat přes utěšňovací víčko odstřikovací komůrky. Z uvedených důvodů jsem také vypustil výpočet tloušťky mezikruží mazacího oleje pro, ve výpočtu uvažovanou, hladinu a pro rozsah provozních otáček.

Dalším důležitým teoretickým úkolem by bylo rozebrat a popsat poměry uvnitř ložiska, jakož i ztráty na tlaku oleje škrcením jednak v mazacích dírkách, tak i ve štěrbině samotného ložiska. Vzhledem na rotaci hřídele vůči pouzdrovi a proudění tlakového oleje se dá předpokládat, že olej bude postupovat mazací štěbinou šroubovým pohybem. Teoreticky rozebrat tyto poměry by bylo určitě značně obtížné a zaslouží si delšího výzkumu, co by přesáhlo rámcem této moji diplomové práce. Vzhledem na omezenou dobu, kterou mám k dispozici, na vypracování této práce, předpokládám, že uvnitř ložiska dochází ke kapalinnému tření. Tomu také nasvědčují provozní zkoušky tohoto uložení.

Další důležitou otázkou je, zda jsou obě třecí plochy mazané dostatečně. Z obrázku konstrukce je zřejmé, že cesta menšího odporu pro proudící olej je z obvodové drážky směrem dolů. Vůle v obou třecích plochách jsou stejné. Při návrhu mazacího pouzdra jsem tento fakt vzal v úvahu a z toho

důvodu jsem mazací dírky sklonil pod úhlem 45° . Dá se domnívat, že tímto řešením dostane proudící olej směr proudění, při kterém složka tlaku ve směru vzhůru bude sto překonat složku tíže, odpor ve štěrbině pouzdra, váhu hřídele s řemenicí a pouzdrem, která působí na horní axiální plošku a ~~te~~, sílu vyvozenou tlakem oleje, na spodní axiální plošku. Zda byl tento předpoklad správný, to potvrdí dlouhodobé zkoušky uložení.

Z obrázku je dále patrné, že hnací moment musí překonávat také složku tření rotujícího oleje o stojící pouzdro. Je otázkou, v jaké míře to ovlivňuje příkon daného uložení. Toto tření by se dalo eliminovat tím způsobem, že nádobka s olejem by byla v klidu a olej by byl nassáván přes mazací dírky šroubovou dražkou se stoupáním proti otáčení hřídele. Tím by se však změnil princip uložení s tlakovým mazáním.

Mazací pouzdro jsem vyráběl z bronzu. Za předpokladu kapalinného tření se však dá uvažovat také o lacinějších materiálech, jako o hliníku ~~vyplitému~~ kompozicí, nebo materiálu VUK₂, resp. umělých hmotách, které v poslední době nachází široké použití.

VI. - 3.-1. Zpracování naměřených hodnot.

Příkon tohoto kluzného uložení v závislosti na otáčkách jsem měřil jak pro samotné uložení, tak i se spřádacím košíkem. Chci však podotknout, že spřádací košík je značně dynamicky nevyvážen. Jeho nevyváženosť je tak značná, že nebylo možné zkoušet chod a měření příkonu valivého uložení s namontovaným košíkem, co jistě zkresluje naměřené hodnoty příkonu. Dá se předpokládat, že bude-li košík dynamicky vyvážen, bude příkon kluzného uložení se spřádacím košíkem menší, protože ložisko bude přenášet menší radiální tlaky, zmenšené o tlaky vyvozené dynamickými silami z nevyváženosťi.

Při měření a zpracování hodnot, opět jako u valivého uložení, vyplynuly chyby z nepřesného čtení otáček při přechodu na vyšší rozsah ručního otáčkoměru. Tyto chyby čtení otáček jsou patrný z vynesených diagramů příkonu v závislosti na otáčkách a zvlášt z teoretických křivek příkonu, kde se to projevuje v rozdílu podle teoretické křivky vypočítaných a naměřených hodnot příkonu. Je to zřetelné pro otáčky kolem 13.000 ot./min., kde je rozdíl, a z toho vyplývající procentuální chyba, největší.

Průměrné hodnoty měření jsou zachyceny v tabulkách protokolů měření na následujících stránkách.

Po vynesení naměřených hodnot do diagramu jsem dostal křivku závislosti příkonu na otáčkách. Po odečtení příkonu spotřebovaného dynamometrem, který je zachycen v protokolu měření ve statii IV-2 o valivém uložení a na diagramu v příloze valivého uložení, dostal jsem křivku závislosti čistého příkonu na otáčkách.

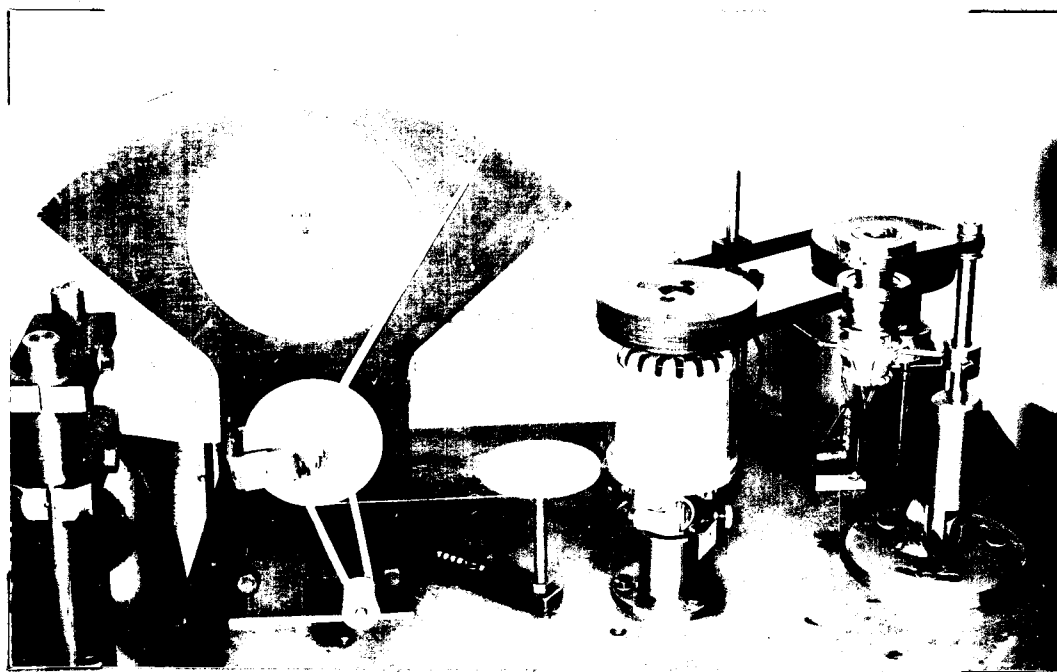
Diagramy z tohoto měření přikládám v příloze pod názvem "Charakteristika kluzného uložení s přádním košíkem" a "Charakteristika kluzného uložení".

VI. - 3. Měření příkonu kluzného uložení.

Po vyrobení navrženého kluzného uložení jsem si prakticky ověřil jeho chod na zkušební stolici. Nechal jsem ho běžet bez zastavení několik dnů. Jelikož výsledky zkoušek byly uspokojivé, přistoupil jsem k měření příkonu na dynamometru.

Vlastní měření jsem prováděl na dynamometru popsáném v kapitole IV - 2 o valivém uložení.

Přiložený obrázek VI. 3. 1. znázorňuje pohled na dynamometr s kluzným uložením a se sprádacím košíkem.



obr. VI.3.1.

Protokol měření příkonu v závislosti na otáčkách
kluzného uložení bez spřádacího košíku.

Střední hodnoty měření

měř.	n dynmetru	n hřídele	délky	g	W
1.	1930	5270	6,8	68	6,75
2.	2240	6120	8,1	81	9,3
3.	2625	7175	9,25	92,5	12,45
4.	2980	8150	10,25	102,5	15,7
5.	3410	9300	11,5	115,0	20,1
6.	3600	9850	12,9	129,0	23,7
7.	3800	10380	14,4	144,0	28,1
8.	4000	10900	15,4	154,0	31,5
9.	4175	11400	16,35	163,5	35,0
10.	4360	11900	17,5	175,0	39,2
11.	4515	12300	18,0	180,0	41,7
12.	4780	13050	18,3	183,0	44,8
13.	5330	14550	19,5	195,0	53,4
14.	5550	15130	20,1	201,0	57,3
15.	5630	15380	20,95	209,5	60,5
16.	5830	15900	22,1	221,0	66,1
17.	6000	16380	23,5	235,0	72,5
18.	6200	16900	25,0	250,0	79,5
19.	6430	17500	26,5	265,0	87,5

Protokol měření příkonu v závislosti na otáčkách
kluzného uložení se spřádacím košíkem.

Střední hodnoty měření

měř.	n dynmetru	n hřídele	dílkы	g	W
1.	1980	5400	11,8	118,0	12,0
2.	2270	6200	12,6	126,0	14,7
3.	2400	6550	13,5	135,0	16,6
4.	2660	7260	14,5	145,0	19,8
5.	2920	7970	15,4	154,0	23,0
6.	3050	8340	16,4	164,0	25,3
7.	3350	9150	17,5	175,0	30,0
8.	3570	9750	18,4	184,0	33,7
9.	3710	10300	19,0	190,0	36,1
10.	3920	10700	19,8	198,0	40,0
11.	4110	11200	20,5	205,0	43,2
12.	4215	11470	21,3	213,0	46,0
13.	4380	11950	22,5	225,0	50,6
14.	4515	12300	23,75	237,5	53,4
15.	4640	12650	24,6	246,0	58,5
16.	4760	13000	25,2	252,0	61,5
17.	5100	13900	26,2	262,0	68,6
18.	5370	14600	26,8	268,0	74,0
19.	5500	15000	27,75	277,5	78,2
20.	5640	15380	28,3	283,0	82,0

VI.-3.-2. Výpočet teoretické křivky příkonu.

Po vynesení naměřených hodnot a odečítání příkonu dynamometru, mohu z křivky čistého příkonu v závislosti na otáčkách odečíst pro libovolné otáčky potřebný příkon.

a/ z diagramu pro kluzné uložení bez košíku se dají
odečíst hodnoty:

pro	$n_1 = 7000$ ot./min.	$N_1 = 10$ W
	$n_2 = 9000$ ot./min,	$N_2 = 18$ W
	$n_3 = 11000$ ot./min.	$N_3 = 28$ W
	$n_4 = 13000$ ot./min.	$N_4 = 40,2$ W
	$n_5 = 15000$ ot./min.	$N_5 = 50,4$ W

Z průběhu křivky je patrno, že závislost příkonu na otáčkách je exponenciální křivka jdoucí počátkem, která má obecnou rovnici:

$$N = a \cdot n^x$$

Obdobně jako u valivého uložení vypočítám si konstantu a a exponent x podle vztahů /55/ a /56/, uvedených v odstavci IV-3 valivého uložení.

$$x = \frac{\log \frac{N_2}{N_3}}{\log \frac{n_2}{n_3}} = \frac{\log \frac{50,4}{28}}{\log \frac{15000}{13000}} = \frac{\log 1,8}{\log 1,363}$$

$$x = \frac{0,25527}{0,13450} = 1,8979$$

$$\begin{aligned}\log a &= \log N_5 - x \log n_5 \\ \log a &= \log 50,4 - 1,8979 \cdot \log 15.000 \\ \log a &= 1,70243 - 1,8979 \cdot 4,17609 \\ \log a &= -6,2234 = 0,7766 /-7/\end{aligned}$$

$$a = 5,979 \cdot 10^4$$

Z výpočtu vyplývá, že křivka příkonu v závislosti na otáčkách kluzného uložení bez košíku odpovídá rovnici:

$$N = 5,979 \cdot 10^{-4} \cdot n^{1,8797} \quad /62/$$

Kontrola pro

$$n_4 = 13000 \text{ ot./min.}; N_4 = 40,2 \text{ W}$$

$$\begin{aligned}\log N_4 &= \log a + x \log n_4 \\ \log N_4 &= -6,2234 + 1,8979 \cdot 4,11394 \\ \log N_4 &= 1,5844\end{aligned}$$

$$N_4 = 38,41 \text{ W}$$

Chyba činí 4,5 %. Tato chyba je způsobena chybami čtení na otáčkoměru v této oblasti otáček.

b/ Z diagramu pro kluzné uložení se sprádacím košíkem se dají odečítat hodnoty:

pro	$n_1 = 7000 \text{ ot./min.}$	$N_1 = 18 \text{ W}$
	$n_2 = 9000 \text{ ot./min.}$	$N_2 = 27,5 \text{ W}$
	$n_3 = 11000 \text{ ot./min.}$	$N_3 = 39,7 \text{ W}$
	$n_4 = 13000 \text{ ot./min.}$	$N_4 = 52 \text{ W}$
	$n_5 = 15000 \text{ ot./min.}$	$N_5 = 70 \text{ W}$

$$x = \frac{\log \frac{N_5}{N_3}}{\log \frac{n_5}{n_3}} = \frac{\log \frac{70,0}{39,7}}{\log \frac{15000}{13000}}$$

$$x = -\frac{\log 1,7649}{\log 1,3636} = -\frac{0,24650}{0,13450} = 1,8327$$

$$\log a = \log N_5 - x \cdot \log n_5$$

$$\log a = \log 70 - 1,8327 \cdot \log 15000$$

$$\log a = 1,84553 - 1,8327 \cdot 4,17609$$

$$\log a = -5,808 = 0,192 \quad /-6/$$

$$a = 1,555 \cdot 10^{-3}$$

Křivka příkonu kluzného uložení v závislosti na otáčkách se sprádacím košíkem má rovnici :

$$N = 1,555 \cdot 10^{-3} \cdot n^{1,8327} \quad /63/$$

Kontrola pro

$$n_4 = 13000 \text{ ot./min. } N_4 = 52 \text{ W}$$

$$\begin{aligned} \log N_4 &= \log a + x \cdot \log n_4 = -5,808 + 1,8327 \cdot 4,1139 \\ \log N_4 &= 1,7316 \end{aligned}$$

$$N_4 = 53,91 \text{ W}$$

Chyba činí 3,68 %, proto se dá s přibližností používat uvedená rovnice /63/ pro výpočet příkonu kluzného uložení se sprádacím košíkem v závislosti na otáčkách.

VII. Závěr kapitoly o kluzném uložení.

V závěru kapitoly o tomto uložení chci poznamenat, že toto uložení vykazuje nepoměrně lepší výsledky, než uložení valivé. Jeho chod je klidný, bezhluchý. Mazání pracuje spolehlivě. Teplota mazacího oleje nepřesahuje 50°C , co se za provozních podmínek ještě značně sníží, vzhledem na to, že dutým hřídelem bude proudit vzduch s přádním materiálem, který bude celou konstrukci intensivně ochlazovat. Malým nedostatkem, který bude třeba dořešit je to, že odstřikovaný olej z axiální plošky vytváří mlhovinu a malé množství oleje se dostává labyrintem ven. Toto se dá odstranit mělkou šroubovou drážkou na válcové části těsnícího víka.

Při nepřetržitém zkoušení nechal jsem jej točit na 18.000 ot./min. Při těchto otáčkách použité mazadlo "Kolza" pění. Bude nutné uvažovat o mazadle méně pěnivém.

Při měření příkonu na tomto uložení se sprádacím košíkem byl tento značně dynamicky nevyvážen. O spolehlivém chodu tohoto uložení svědčí také to, že i při značné nevyváženosti uložení spolehlivě mazalo, hřídel se klidně otácel bez házení, hlučnost se zvětšila nepatrně, teplota stoupla také nepatrně. V provozu se počítá s dynamicky vyváženými sprádacími košíky.

Z těchto všech uvedených poznatků usuzuji, že uložení, založené na tomto principu mazání, bude možno prakticky použít na zařízení bezvřetenového sprádání. Požadavek na příkon je splněn, zároveň také na hlučnost, spolehlivost mazání, snadnou montáž.

Podotýkám ovšem, že stávající konstrukce není konečná. Je těžko předpokládat, že konstrukce prvního návrhu

pracuje na optimálních parametrech. Tato konstrukce si vyžaduje ještě dalšího výzkumu a dlouhodobého zkoušení resp. případné konstrukční úpravy, sloužící k hledání optimálních poměrů pro chod tohoto uložení. Předpokládám, že faktory, ovlivňující optimální poměry jsou : výle v ložisku, velikost třecích ploch, druh mazadla, resp. případné konstrukční úpravy k odstranění tření rotujícího oleje v stojící mazací pouzdro.

VIII. Porovnání obou konstrukcí uložení.

V úvodu této kapitoly chci předeslat, že srovnávám-li obě vyvinuté konstrukce uložení, téměř všechna kriteria vyznívají kladně pro kluzné uložení. Zároveň chci poznamenat, že konstrukce valivého uložení podle poslední alternativy není konečná, má řadu nedostatku, které by se snad dálším výzkumem daly odstranit. Proto když mám srovnávat obě tyto stávající konstrukce, klady kluzného uložení se projeví tím výrazněji. Při srovnávání mám na zřeteli konstrukce obou uložení ve stadiu vývoje při dokončování diplomní práce a pro otáčky 15.000 l/min.

Srovnávám-li obě konstrukce na základě klidného chodu, který je předpokladem pro zařízení bezvřetenového sprádání, chceme-li na něm vyprádat rovnoměrnou přízi, pak tento požadavek splňuje pouze kluzné uložení. Rotace hřídele u něj je pravidelná bez přídavných rotací a bez házení. U konstrukce valivého uložení podle poslední alternativy je tato rotace nepravidelná, doprovázená přídavnými rotacemi.

Požadavek na minimální hlučnost jest splněn pouze u kluzného uložení. Toto se otáčí klidně, nehlučně. Naproti tomu konstrukce valivého uložení vykazuje značnou hlučnost, podmíněnou házením hřídele s ostatními rotačními částmi a vlastním odvalováním kuliček v ložiskách.

Srovnání na základě příkonu :

$$\text{kluzné uložení : } n_5 = 15000 \text{ l/min. } N_5 = 50,4 \text{ W}$$

$$\text{valivé uložení : } n_5 = 15000 \text{ l/min. } N_5 = 63,2 \text{ W}$$

Rovnice křivek příkonu v závislosti na otáčkách:

$$\text{kluzné uložení : } N_k = 5,979 \cdot 10^{-4} \cdot n_k^{1,8979}$$

$$\text{valivé uložení : } N_v = 2,601 \cdot 10^{-6} \cdot n_v^{2,487}$$

Z porovnání příkonů je patrno, že valivé uložení potřebuje přibližně o 20% větší příkon na překonání valivých odporů. Dá se ovšem předpokládat, že odstranění přídavných rotací by se příkon zmenšil. Naproti tomu u kluzného uložení je otázné, zda stávající konstrukce pracuje za optimálních podmínek.

Porovnání na základě příkonů uložení zatížených spřádacím košíkem není možné, protože nebylo možné změřit příkon valivého uložení s košíkem.

Uvádíme pouze potřebný příkon pro kluzné uložení se spřádacím košíkem a rovnici křivky příkonu:

$$n_5 = 15000 \text{ l/min.} \quad N_5 = 70 \text{ W}$$

$$N_{kk} = 1,556 \cdot 10^{-3} \cdot n_{kk}^{1,8327}$$

Srovnávám-li na základě požadavků na přesnost výroby a nákladů na výrobu, opět kluzné uložení je méně konstrukčně složité, má menší nároky na přesnost výroby. Obsahuje zároveň méně konstrukčních dílců, méně tolerovaných rozměrů, z čeho vyplývá, že náklady na výrobu jsou u něj menší než u valivého.

Otzáka spolehlivého mazání je vyřešena pouze u kluzného uložení. Je vyřešena také otázka spolehlivé kontroly mazání. U valivého uložení otázka mazání zůstala nedořešena.

Údržba a montáž je opět jednodušší u kluzného uložení. Valivé uložení je zvlášt citlivé na přesnost montáže, čím je také ztížena údržba.

Dalším důležitým kriteriem je velikost uložení co se týče délky dutého hřídele i průměru samotného uložení. Co, nejmenší délka hřídele je žádoucí pro technologii spřádání na zařízení bezvřetenového spřádání. Dutý hřídel je opět kratší u kluzného uložení. Průměr uložení ovlivňuje rozteče jednotlivých spřádacích hlav a tím i velikost stroje bezvřetenového předení. Kluzné uložení je opět prostorově menší, jak je to zřejmé z obr.VIII.1., který slouží ke srovnání obou uložení.



obr.VIII.1.

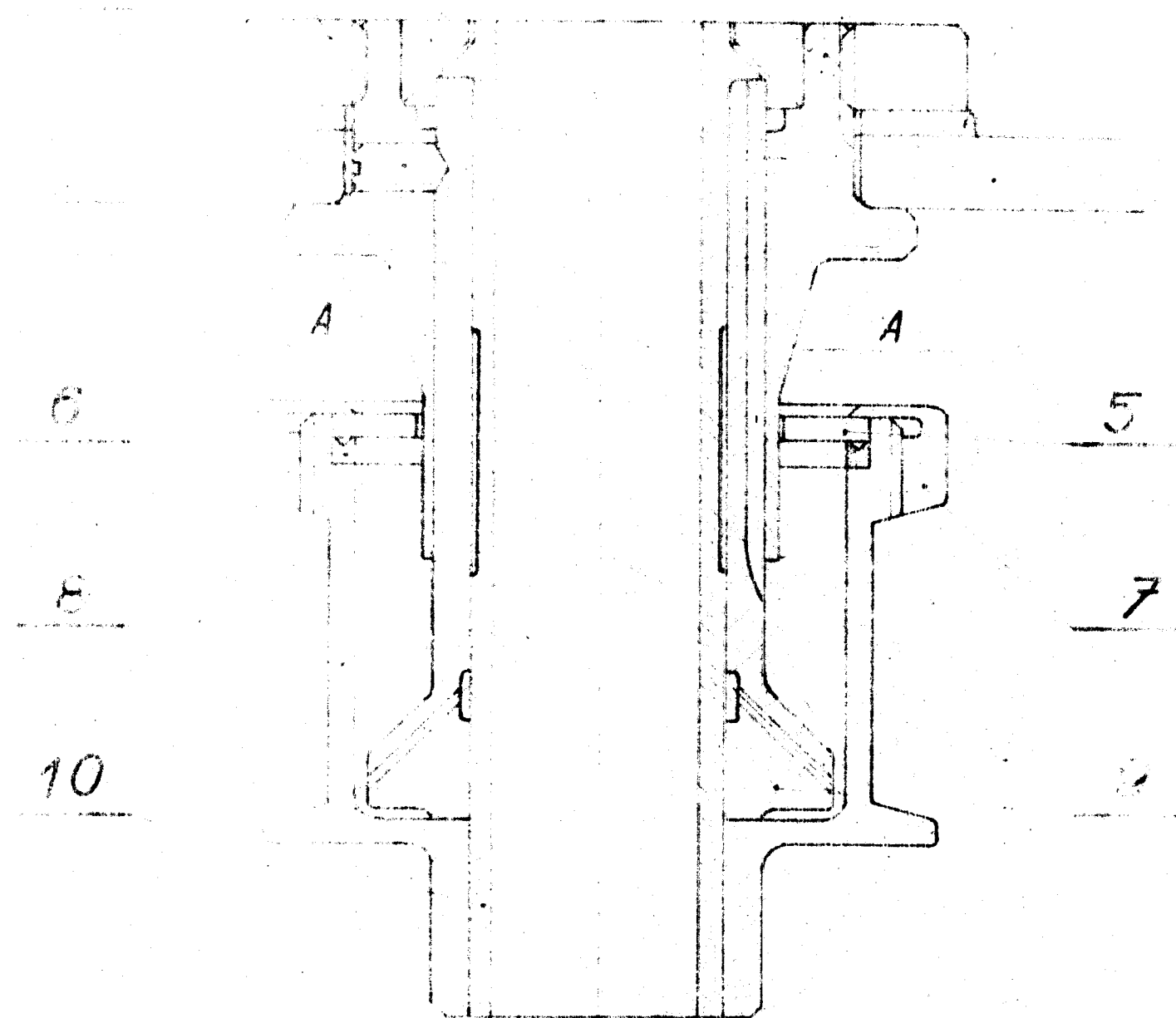
Na základě všech těchto srovnání a na základě zkoušek obou uložení je patrné, že kluzné uložení splňuje téměř všechny požadavky kladené na konstrukci uložení hřídele na zařízení bezvřetenového předení.

Domnívám se, že budou-li kladné výsledky dlouhodobých zkoušek, resp. po úpravách za účelem vyhledání optimálních provozních poměrů u tohoto uložení, bude možné použít tuto konstrukci uložení na stroji bezvřetenového přední. Po ukončení diplomové práce se chci sám určitou dobu věnovat výzkumu na tomto uložení.

IX. Závěr.

Na závěr diplomní práce chci říci, že moji snahou bylo vyvinout takovou konstrukci uložení s předpsanými požadavky, aby byla spolehlivá a hlavně aby byla prakticky použitelná na zařízení bezvřetenového sprádání. Tímto způsobem chci vyjádřit poděkování naší straně a vládě a všem pracujícím za možnost studovat za takových podmínek, jaké jsou možné jenom v socialistickém společenském zřízení.

Zároveň chci přispět, i když nepatrným dílem, k rozvoji našeho textilního průmyslu. Vyspělý textilní průmysl, vyrábějící spotřební zboží, je také známkou životní úrovně pracujících. Snahou textiláků je vyrábět textilní zboží co nejkvalitnější a s nejmenšími náklady. Tento cíl sleduje aj princip bezvřetenového předení, kterého dílčím řešením je i moje práce na návrhu a výzkumu uložení dutého hřídele. Řešením tohoto úkolu chci zároveň přispět k zvedání životní úrovně našich pracujících a k snaze pracovníků VÚTT v Liberci stát v čele světového vývoje textilního průmyslu.



10

5

7

1

2

4

3

11

A

6

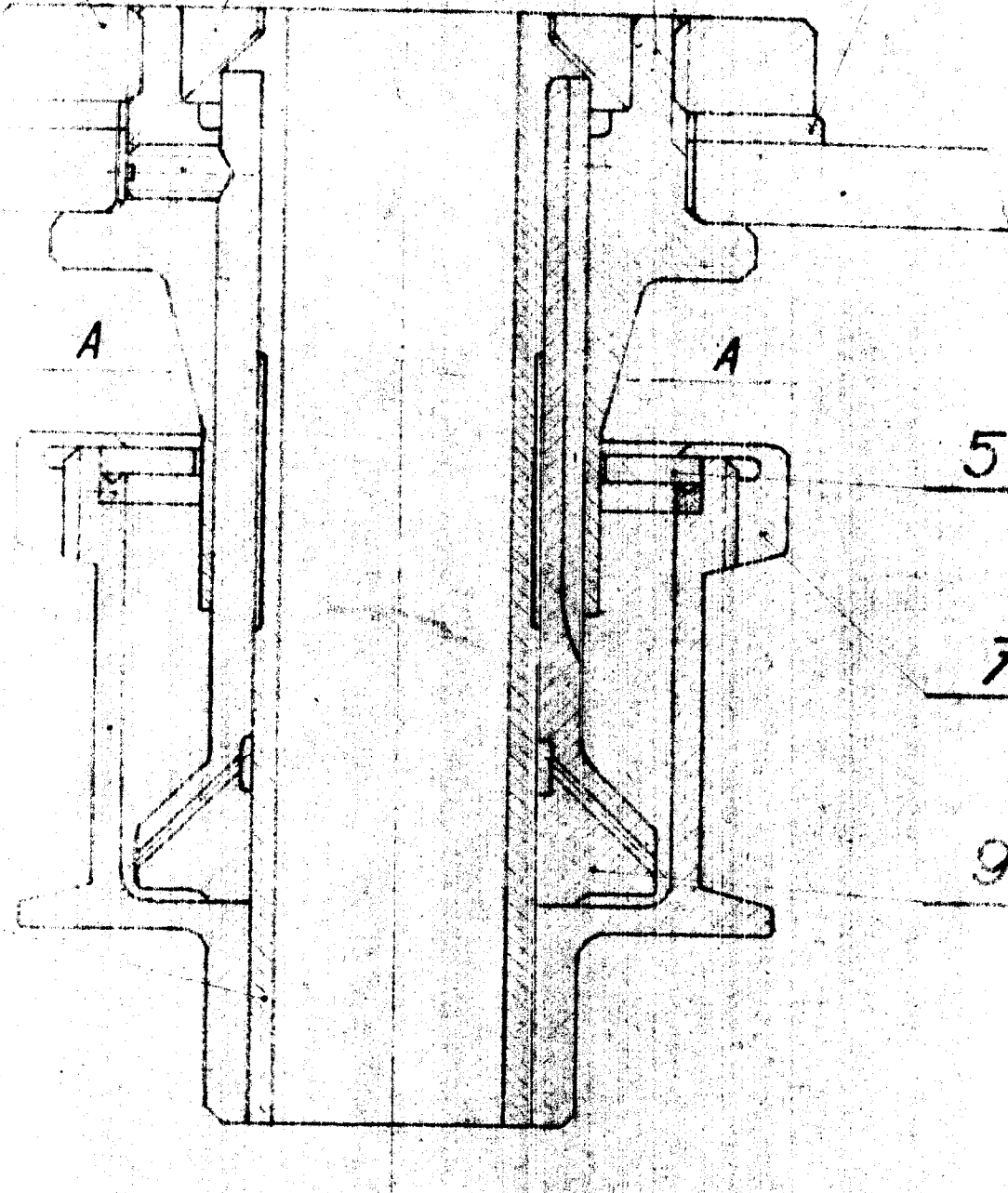
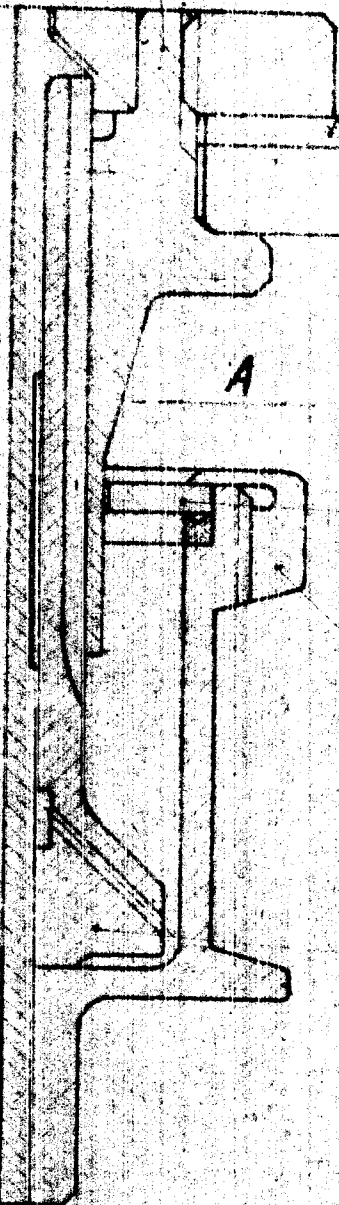
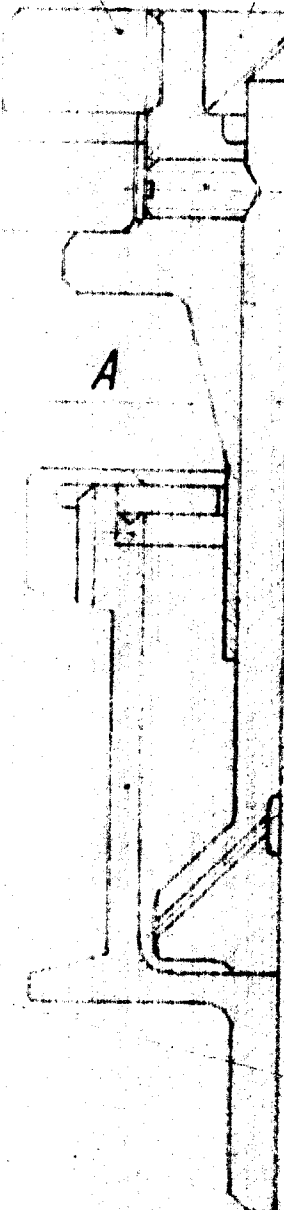
8

10

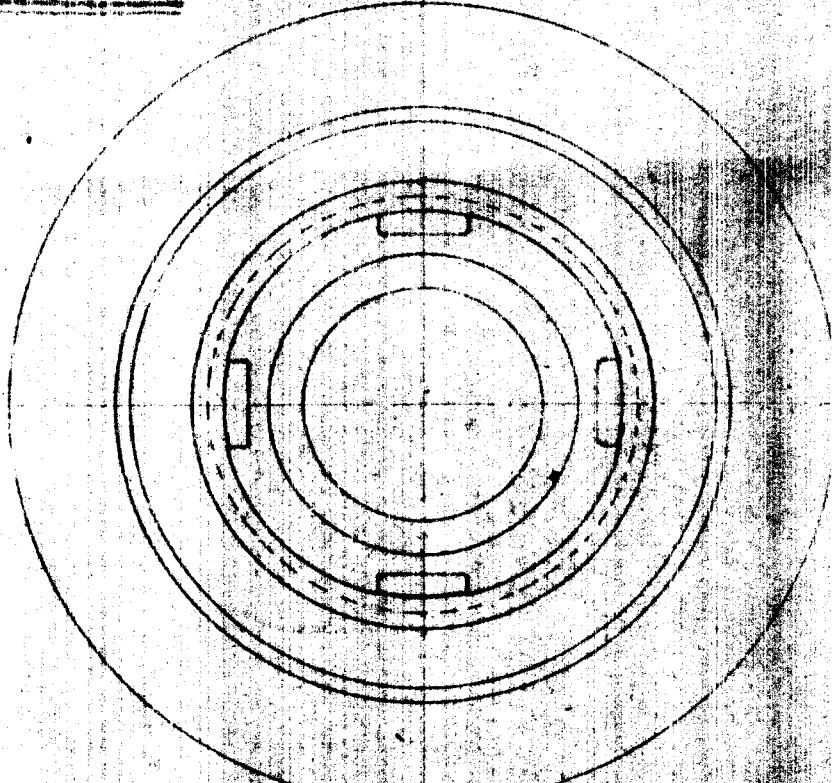
5

7

9



REZA-A



1	CERY M4x8	CSN 027153				
1	HRIDEI	CSN 426511		11600		NAK 11 10
1	MAZACI PUUZDRO	CSN 428611		423048.20		NAK 10 9
1	REMENICE	CSN 426510		11600		NAK 10 8
1	MATICE	CSN 426510		11600		NAK 10 7
1	TESNITKA ROULEK	CSN 011071		SILUN		NAK 11 6
1	VICKO			UMAPLEX		NAK 10 5
1	LOZISKOVÉ TĚLESO	CSN 426510		11600		NAK 09 4
1	PODOZKA	CSN 426510		11600		NAK 09 3
1	TESNIT VICKO			UMAPLEX		NAK 01 2
1	MATICE	CSN 426510		11600		NAK 00 1

卷之三

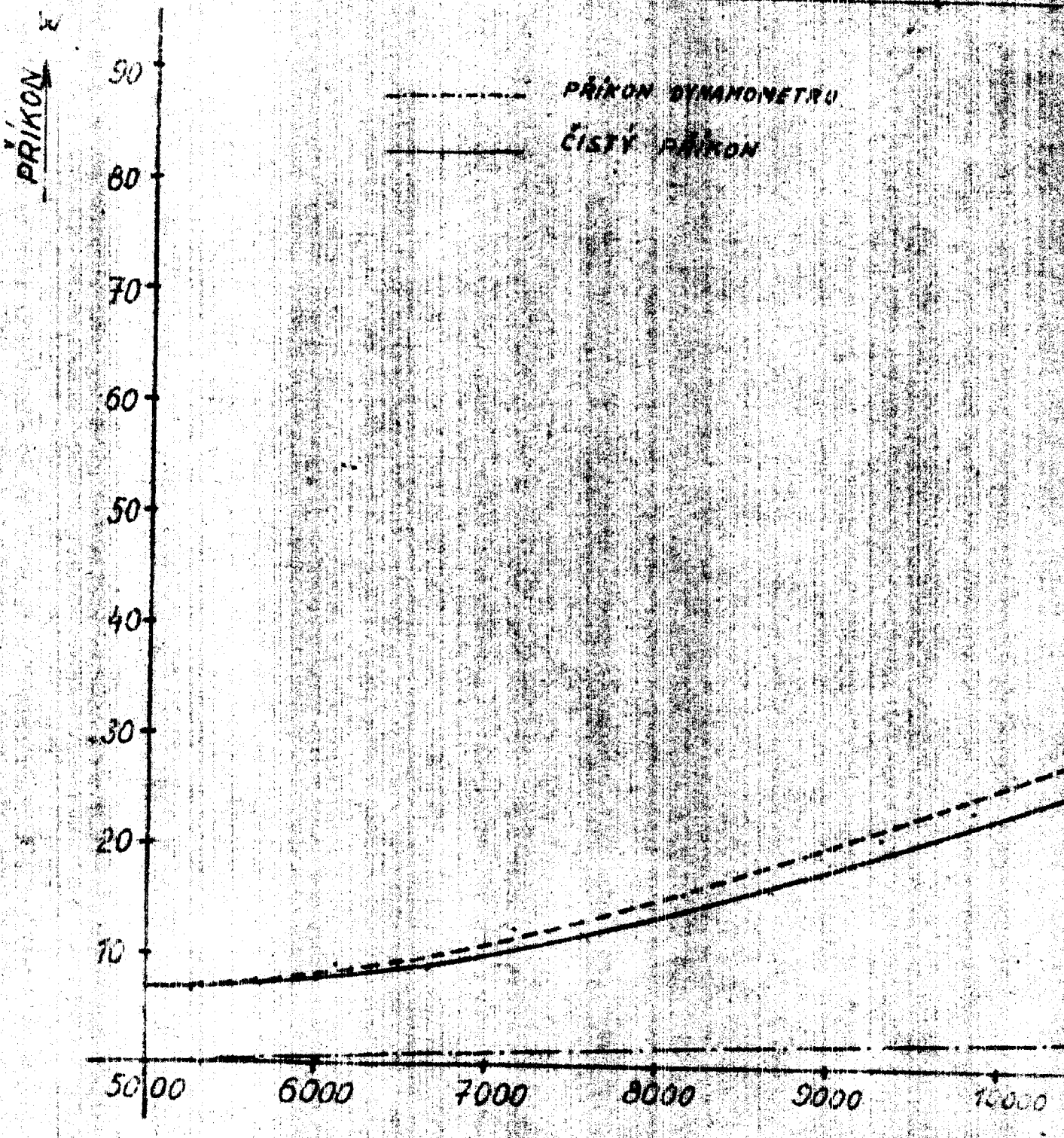
MVR 80	Kredit	zákazka				
	počkovač					
	Návin, ref.					
2:1	Vše projde	Schvalid				
		Line				

VÚTT

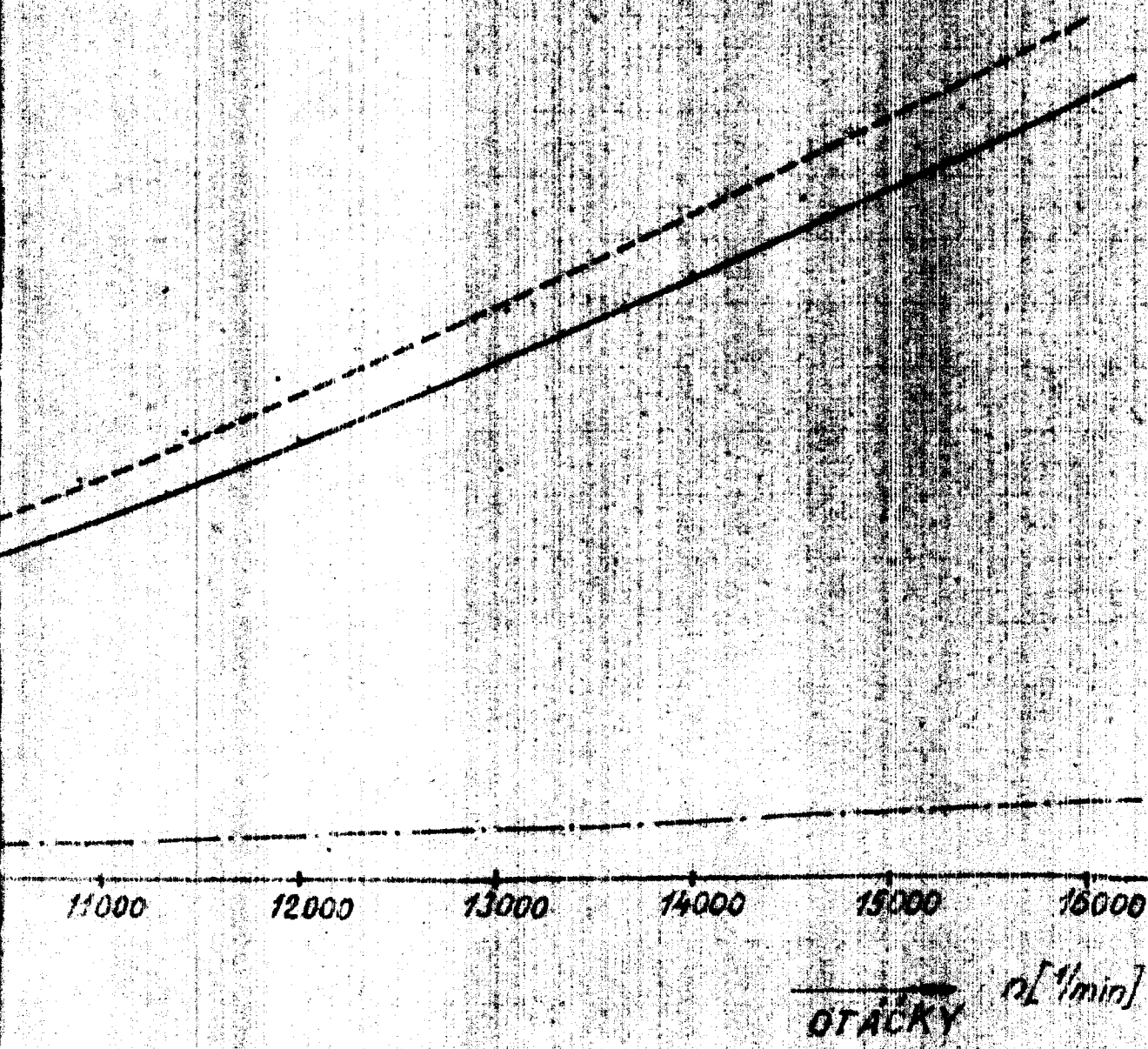
DUTÉ VŘETENO

NAK-01

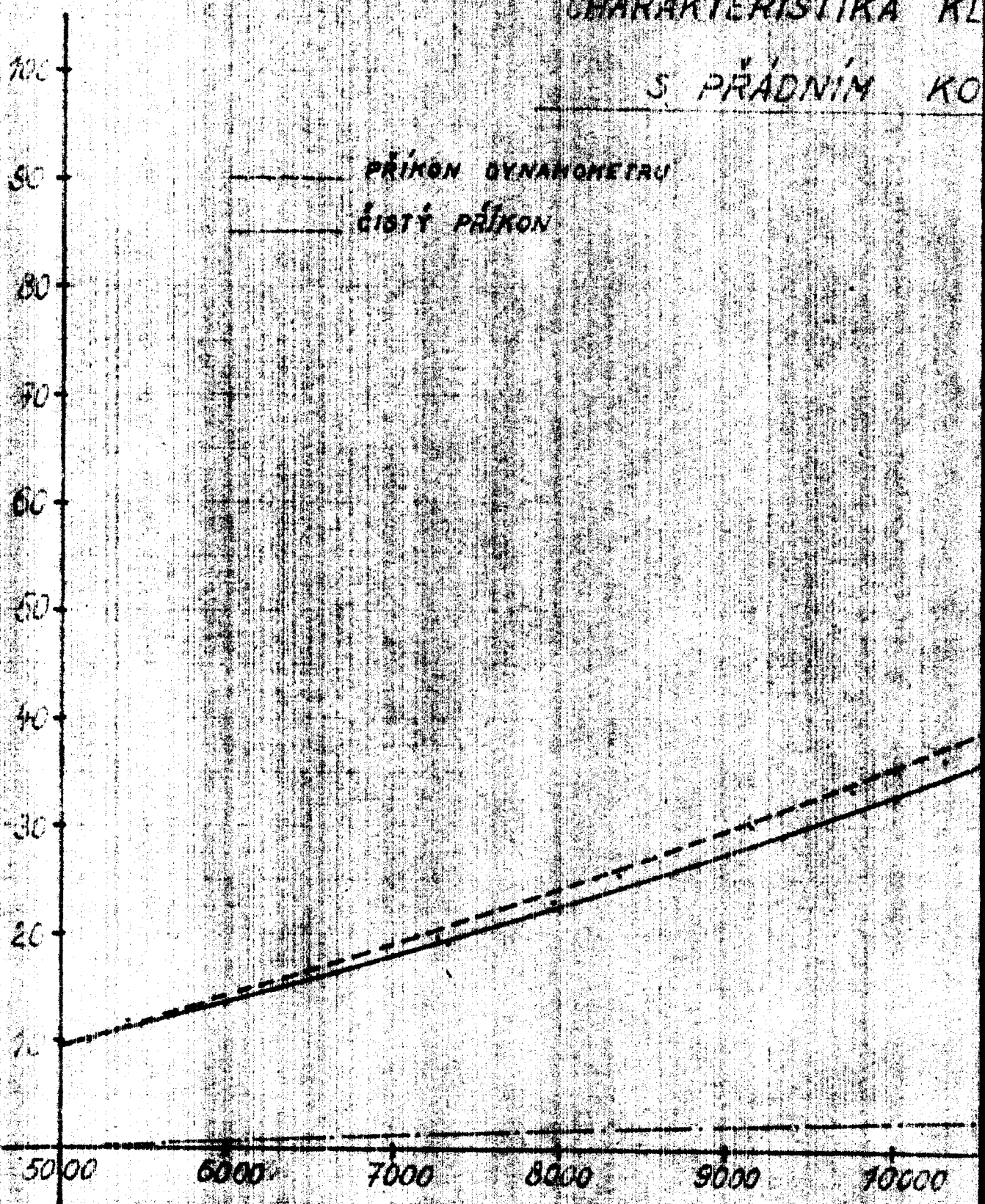
CHARAKTERISTIKA



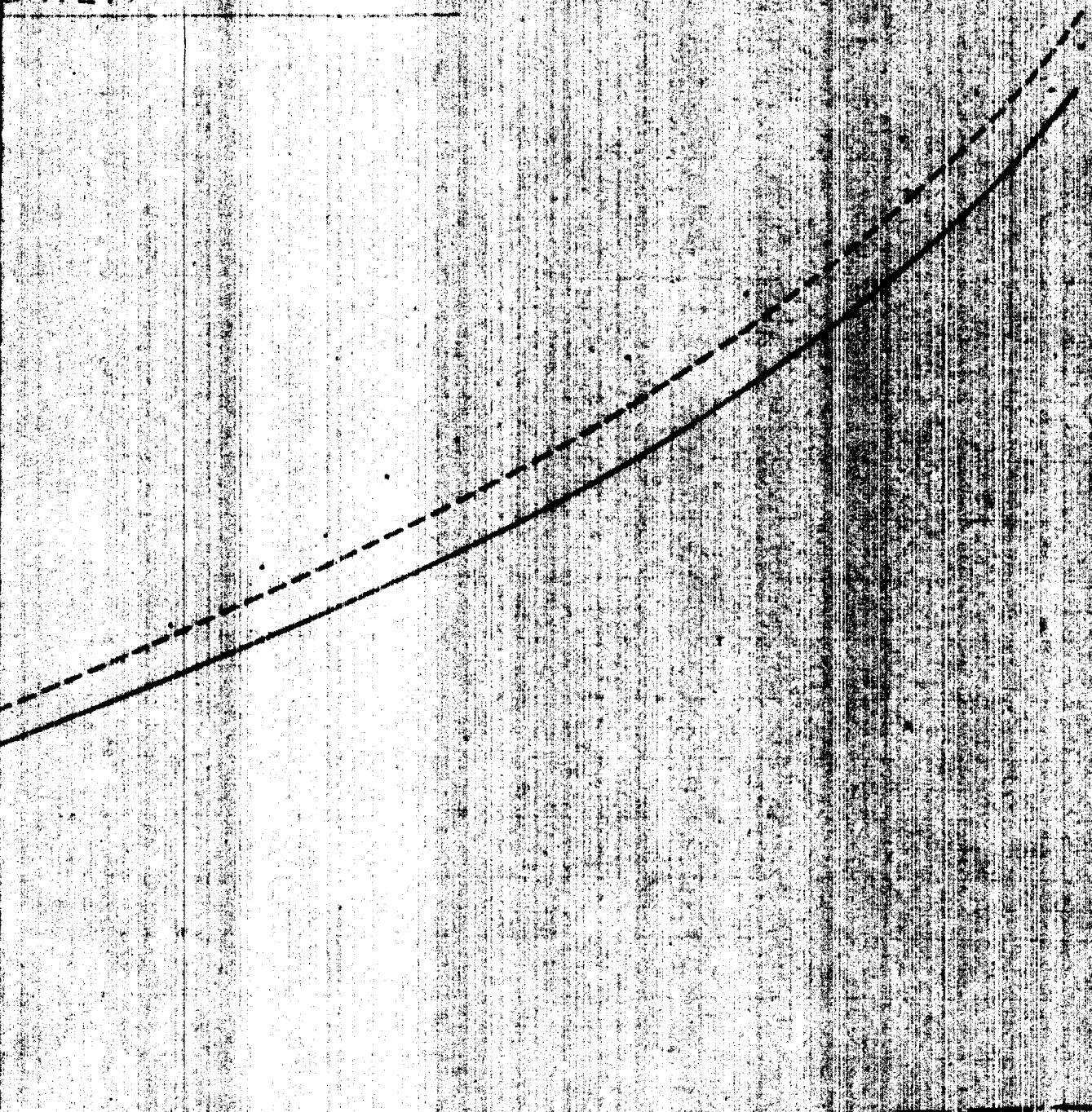
KLUZINÉHO ULOŽENÍ



CHARAKTERISTIKA KL
S PŘÁDNÍM KO



UZNÉHO ULOŽENÍ
ŠÍKEM



11000 12000 13000 14000 15000 16000

CÍTAČKA

17000

VUT

070

100

140

180

220

260

300

340

380

420

460

500

540

580

620

660

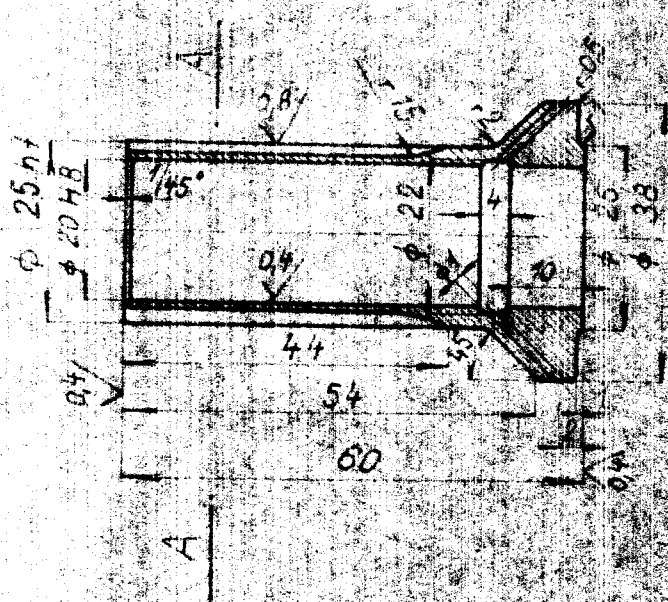
700

740

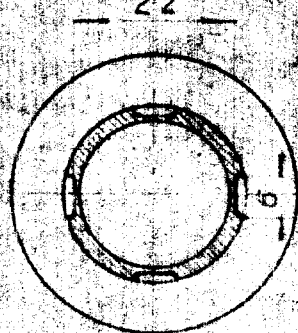
780

A technical drawing of a rectangular component with internal features. The overall width is 16.00, divided into two 8.00 sections by a central vertical line. A horizontal line 3.2 from the left edge contains a slot 2.0 wide and 4.0 deep. The top edge has a total height of 10.0, with a 3.8 section above the slot and a 6.2 section above the central line. The bottom edge has a total height of 8.5, with a 4.0 section below the central line and a 4.5 section below the slot. The right edge has a total height of 16.0, with a 10.0 section above the central line and a 6.0 section above the slot.

14. 9.	ESN - 20510	1968-1	NAK - 11
Poznávka:			
Měřítko:	1:100000		
VÚTT	HRDEŠ		NAK - 11



REZ A - A

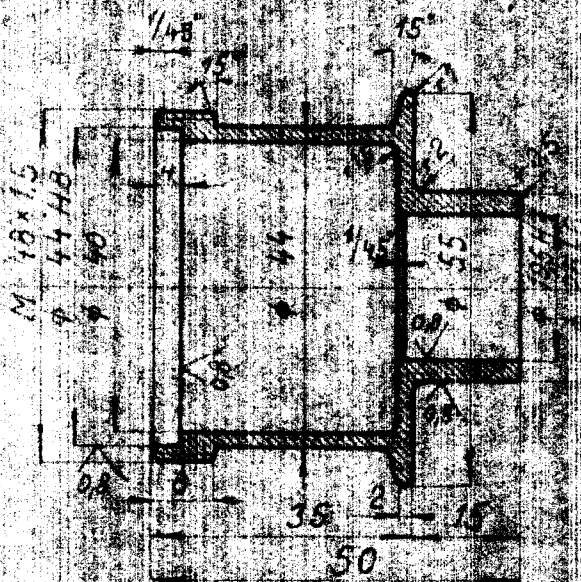


	446405	CSN 428691	423040 20	NAK-01
Povet kraj	Název Hradce	1000000	Stáří - kmeny	Starost - výroba - zásoby - sklad
Poznámky				celková cesta v české
Výrobek	čepel 100			
I. Použití				
Nápln. ref.				
Výrobní jednotka	11		1. Univer	
		X		

VÜTTI

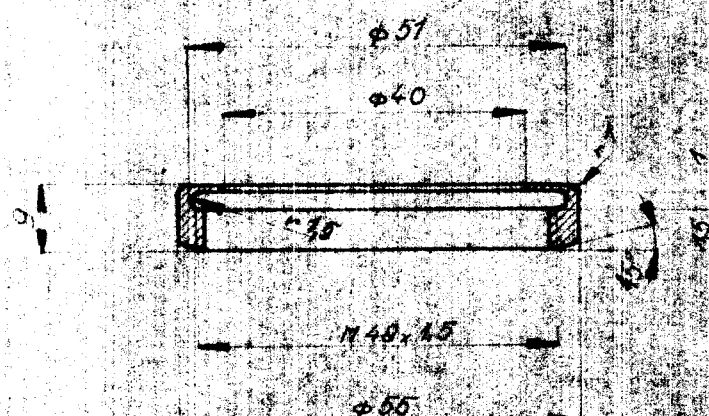
MAZ-67 POLIZDRO

NAK - 10



1	780x55	ČSN 420510	11000	MAK-01	3
Počet kusu	Název výrobku	Použití	Materiál - barva	Materiál - barva	Použití
Pozitivník				Cílový (fotovýtvar)	
Měřítko	Kresba				
1	1. rozšíření				
	Normy				
	Výrobní řád	Sekvenční	Univerz.		
		Line			
	TYP	Stavba	Stavba	Normy kres.	
	Název				
VÚTT	ŘEMENICE			MAK-09	

三



1	Ø 56 x 75	CEN 426510	11600		NAK-01	7
Počet kusů	Název výrobce	Výrobce	Typ	Kategorie	Materiál výrobku	Stupeň výrobní
Dovozní kód					číslovaný sítový kód	číslovaný sítový kód
Materiál	Kresba		C 35 Mn			
1.1	Pravokout.					
Normativ						
Výrobcové číslo	Sériové č.		Obřezávání			
	Dope					
	Typ	Stupeň výroby	Stupeň výroby	Stupeň výroby		
	Název					
VÚTT	MATICE				NAK-08	

三

卷之二

29

四

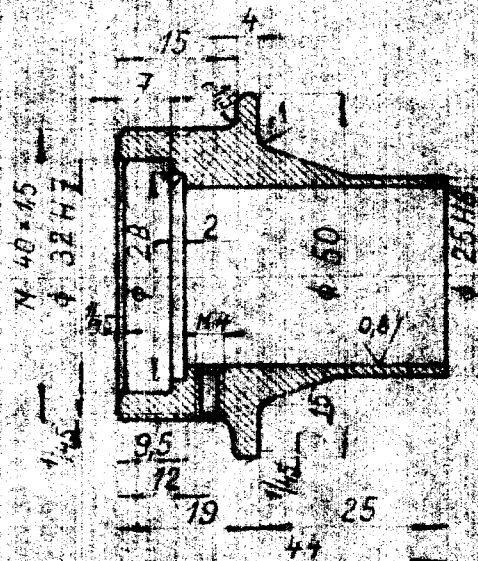
卷之三

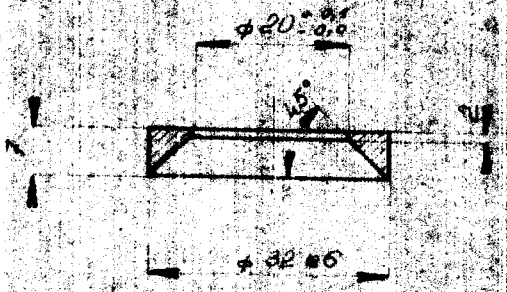
三

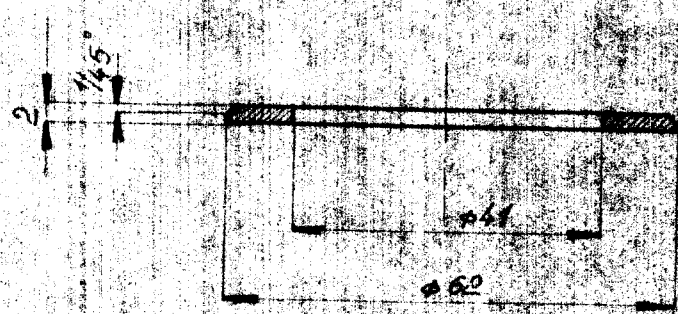
三

四

3.2 / 0.8

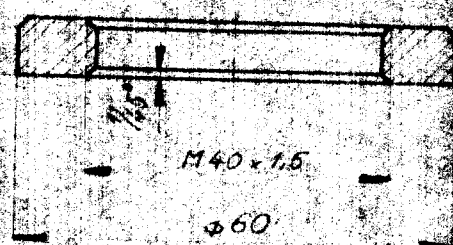






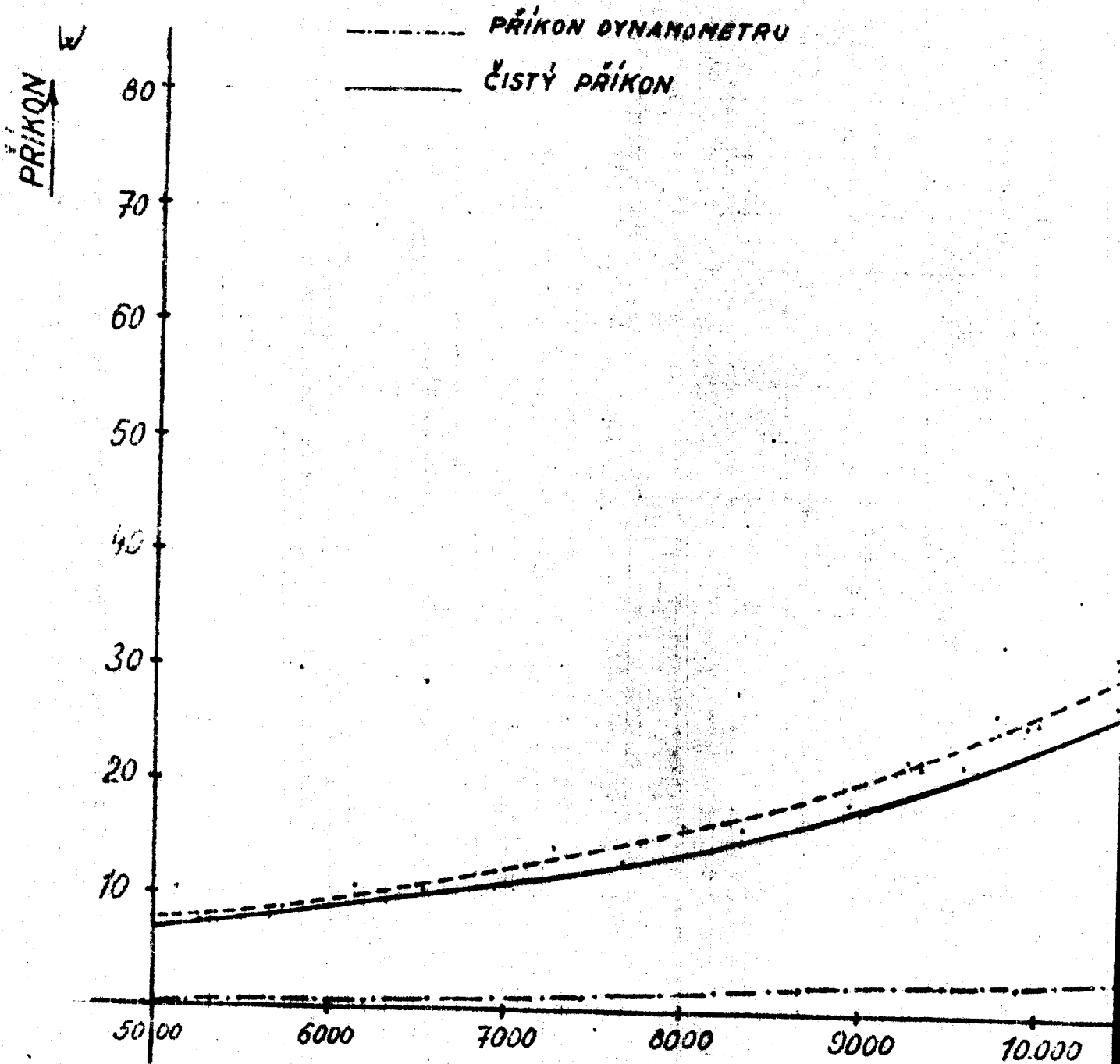
1	$\phi 70 \times 5$	CSN 426510	11500	1	NAK-01
počet	Název	Rozměr	Položka	Mater.	Kategorie
poznamka					Církové číslo výrobku
šířitko	krátká	dlouhá	2	krátká	
bezpečnost					
1.1	Norm. ref.				
	Výrob. projekce	Stavba	C. výrob.		
VÚTT	PODLOŽKA				NAK-04

32

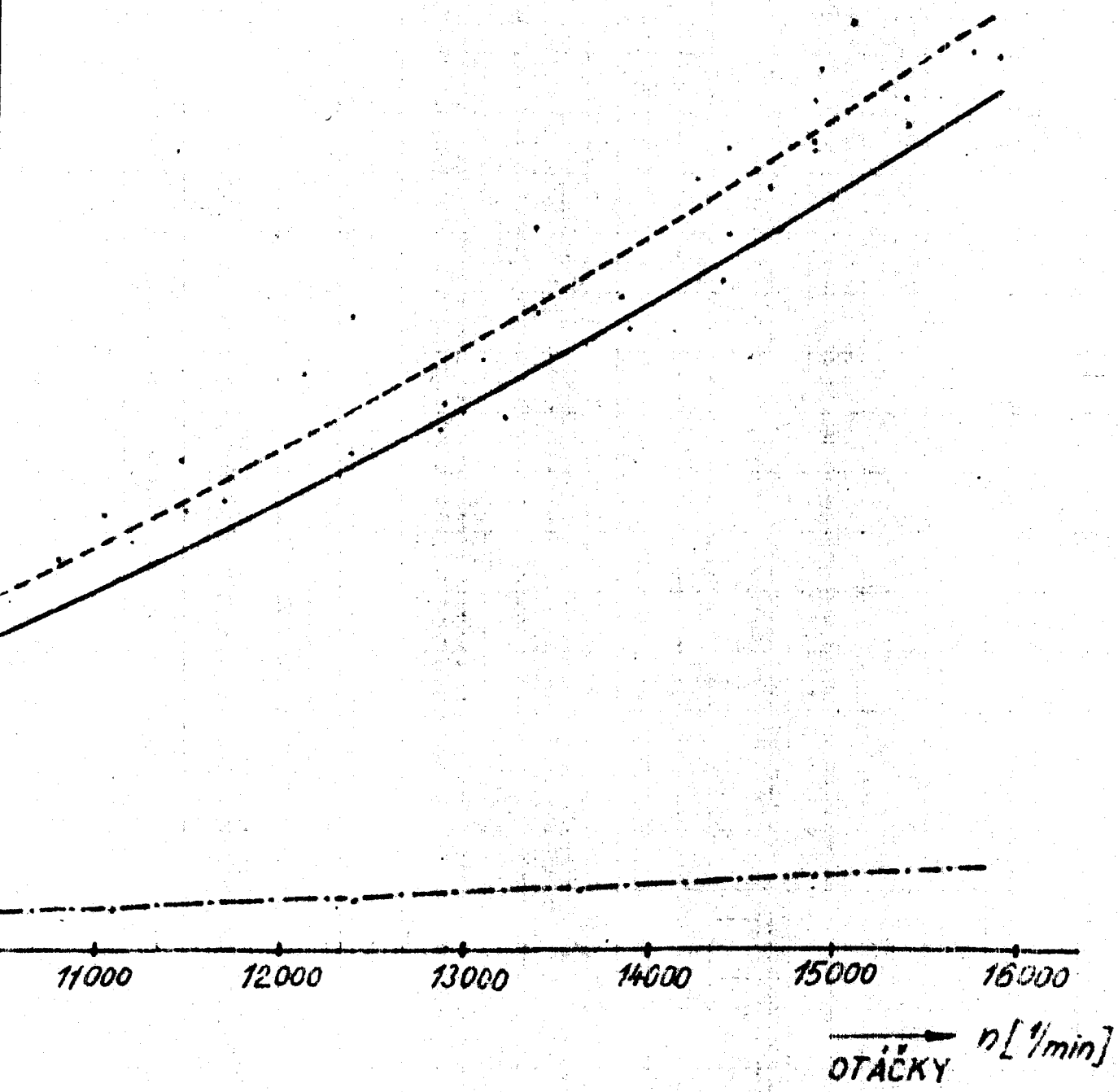


1	∅ 70 x 75	ČSN 426510	11600		NAK-01	1
Pozd. kuso	Název - Kódem	Počet v kus.	Materiál kódem BX	Materiál kódem	Výrobce	
Bombardér						
Měřítko	Kresbil	Charles				
1:1	Přezkoušel					
	Norm.					
	Výroba pořidil	S. BURG	PROJ.			
	Datum					
	Typ					
	Kódem					
VÚTT		MATICE			NAK-02	

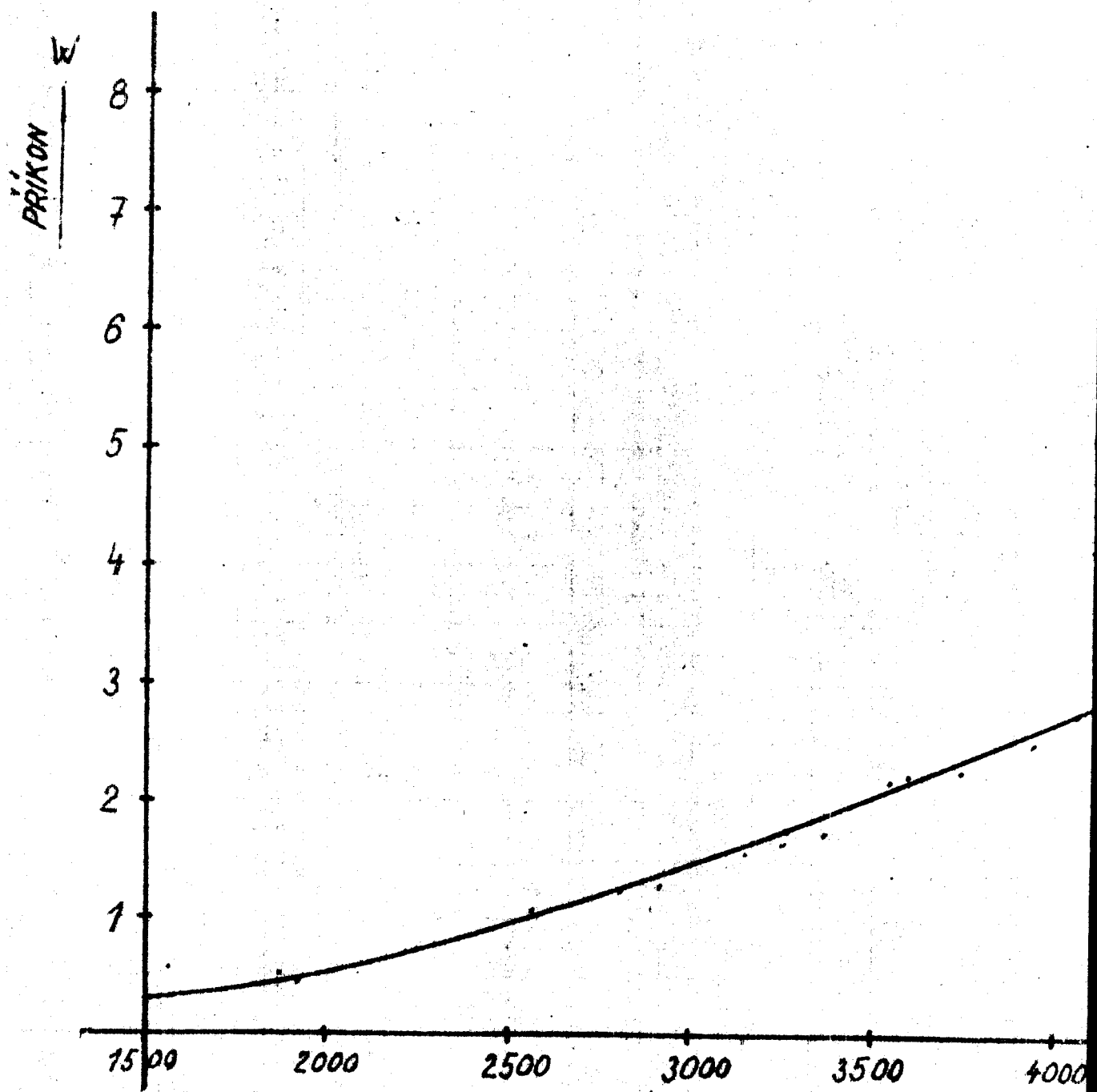
CHARAKTERISTIKA VALIVE



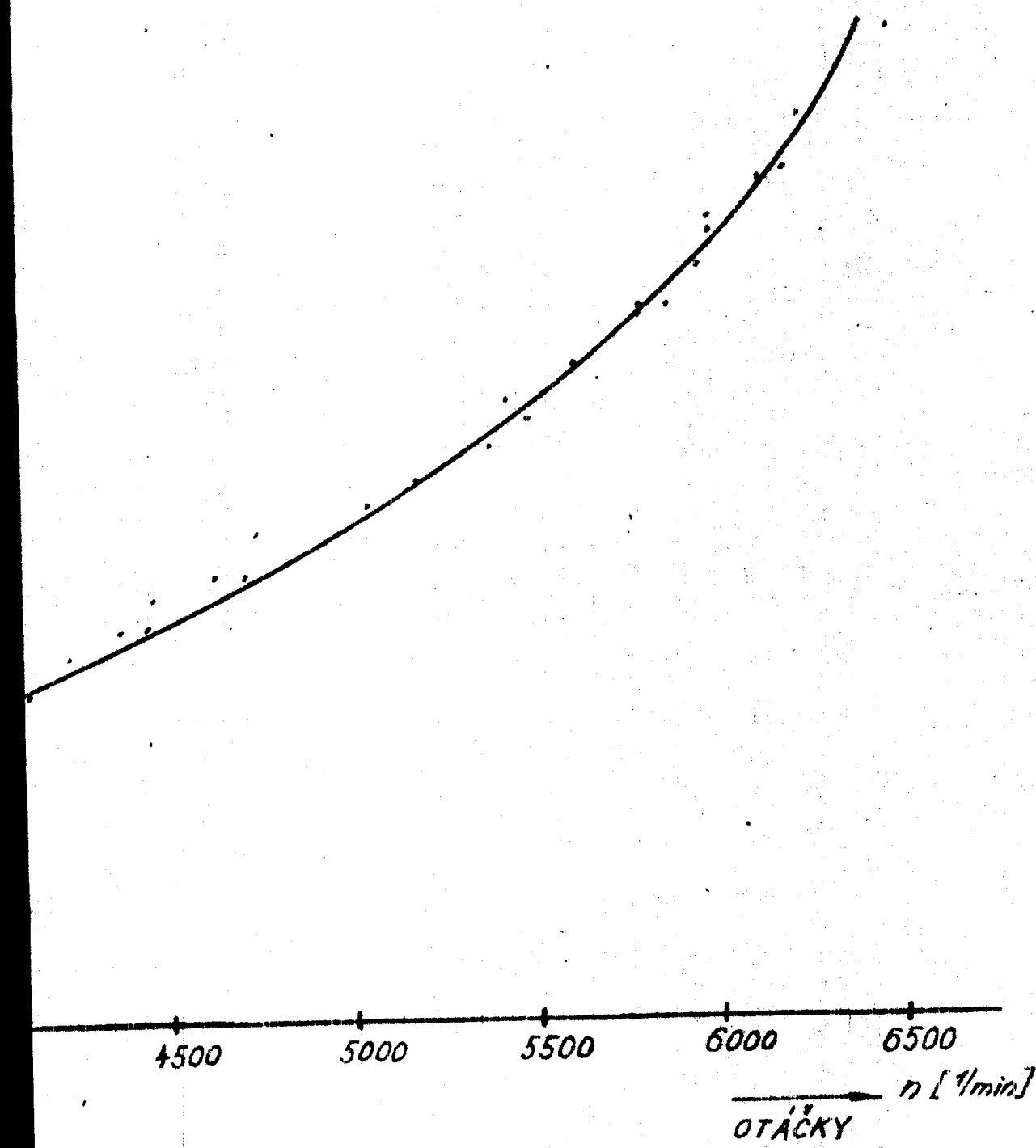
HO ULOŽENÍ

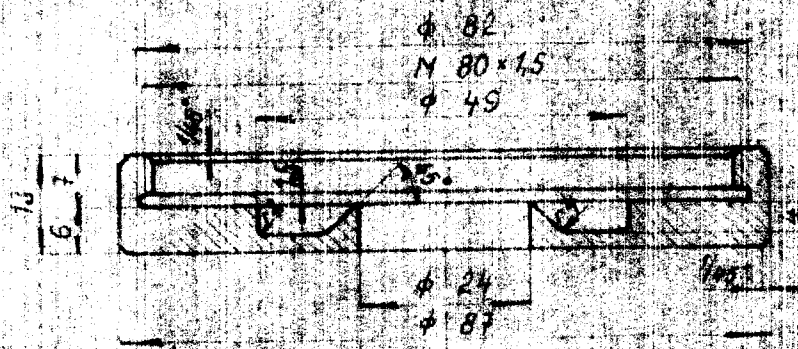


CHARAKTERISTIKA

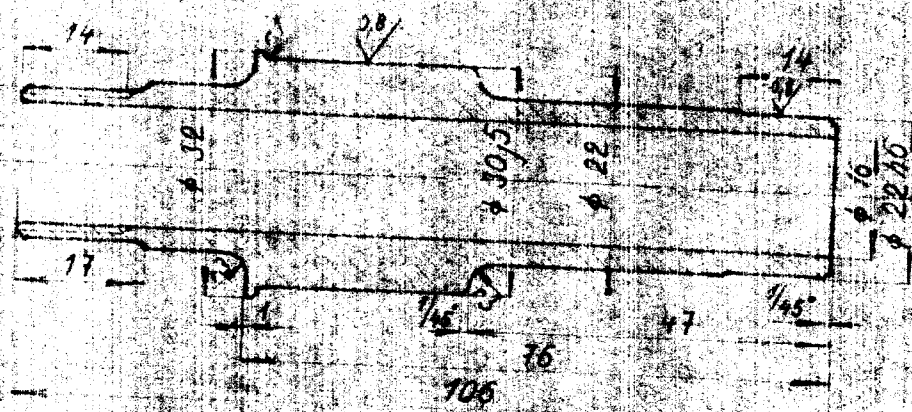


DYNAMOMETRU



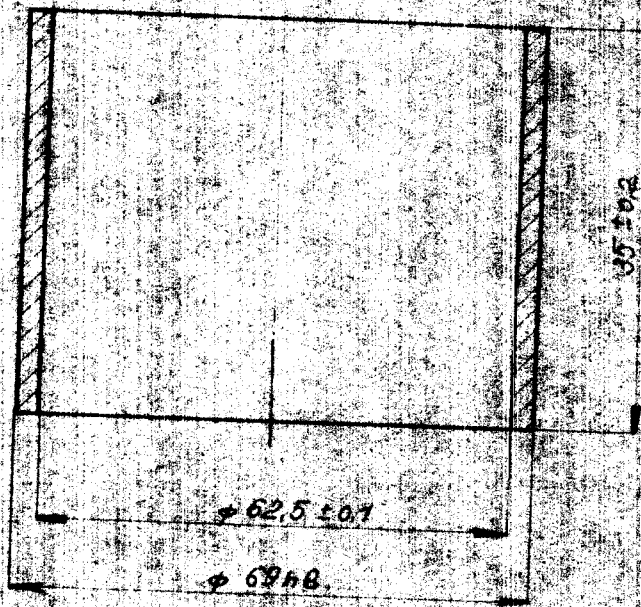


M 20x15



1	9.40x150	ČSN 42 0510	11600				
Příslušenství	Název	Rozměr	Počet	Stupeň	Matice	Výška	Průměr
Pozdívka					Celková výška výrobku		
Výšitko	Kružnice						
	Pláckování						
	Nohy						
	Výška přední	S. L. A. G. H.			D. 1. m		
					D. 2. m		
					D. 3. m		
					D. 4. m		
					D. 5. m		
					D. 6. m		
					D. 7. m		
					D. 8. m		
					D. 9. m		
					D. 10. m		
					D. 11. m		
					D. 12. m		
					D. 13. m		
					D. 14. m		
					D. 15. m		
					D. 16. m		
					D. 17. m		
					D. 18. m		
					D. 19. m		
					D. 20. m		
					D. 21. m		
					D. 22. m		
					D. 23. m		
					D. 24. m		
					D. 25. m		
					D. 26. m		
					D. 27. m		
					D. 28. m		
					D. 29. m		
					D. 30. m		
					D. 31. m		
					D. 32. m		
					D. 33. m		
					D. 34. m		
					D. 35. m		
					D. 36. m		
					D. 37. m		
					D. 38. m		
					D. 39. m		
					D. 40. m		
					D. 41. m		
					D. 42. m		
					D. 43. m		
					D. 44. m		
					D. 45. m		
					D. 46. m		
					D. 47. m		
					D. 48. m		
					D. 49. m		
					D. 50. m		
					D. 51. m		
					D. 52. m		
					D. 53. m		
					D. 54. m		
					D. 55. m		
					D. 56. m		
					D. 57. m		
					D. 58. m		
					D. 59. m		
					D. 60. m		
					D. 61. m		
					D. 62. m		
					D. 63. m		
					D. 64. m		
					D. 65. m		
					D. 66. m		
					D. 67. m		
					D. 68. m		
					D. 69. m		
					D. 70. m		
					D. 71. m		
					D. 72. m		
					D. 73. m		
					D. 74. m		
					D. 75. m		
					D. 76. m		
					D. 77. m		
					D. 78. m		
					D. 79. m		
					D. 80. m		
					D. 81. m		
					D. 82. m		
					D. 83. m		
					D. 84. m		
					D. 85. m		
					D. 86. m		
					D. 87. m		
					D. 88. m		
					D. 89. m		
					D. 90. m		
					D. 91. m		
					D. 92. m		
					D. 93. m		
					D. 94. m		
					D. 95. m		
					D. 96. m		
					D. 97. m		
					D. 98. m		
					D. 99. m		
					D. 100. m		
					D. 101. m		
					D. 102. m		
					D. 103. m		
					D. 104. m		
					D. 105. m		
					D. 106. m		
					D. 107. m		
					D. 108. m		
					D. 109. m		
					D. 110. m		
					D. 111. m		
					D. 112. m		
					D. 113. m		
					D. 114. m		
					D. 115. m		
					D. 116. m		
					D. 117. m		
					D. 118. m		
					D. 119. m		
					D. 120. m		
					D. 121. m		
					D. 122. m		
					D. 123. m		
					D. 124. m		
					D. 125. m		
					D. 126. m		
					D. 127. m		
					D. 128. m		
					D. 129. m		
					D. 130. m		
					D. 131. m		
					D. 132. m		
					D. 133. m		
					D. 134. m		
					D. 135. m		
					D. 136. m		
					D. 137. m		
					D. 138. m		
					D. 139. m		
					D. 140. m		
					D. 141. m		
					D. 142. m		
					D. 143. m		
					D. 144. m		
					D. 145. m		
					D. 146. m		
					D. 147. m		
					D. 148. m		
					D. 149. m		
					D. 150. m		
					D. 151. m		
					D. 152. m		
					D. 153. m		
					D. 154. m		
					D. 155. m		
					D. 156. m		
					D. 157. m		
					D. 158. m		
					D. 159. m		
					D. 160. m		
					D. 161. m		
					D. 162. m		
					D. 163. m		
					D. 164. m		
					D. 165. m		
					D. 166. m		
					D. 167. m		
					D. 168. m		
					D. 169. m		
					D. 170. m		
					D. 171. m		
					D. 172. m		
					D. 173. m		
					D. 174. m		
					D. 175. m		
					D. 176. m		
					D. 177. m		
					D. 178. m		
					D. 179. m		
					D. 180. m		
					D. 181. m		
					D. 182. m		
					D. 183. m		
					D. 184. m		
					D. 185. m		
					D. 186. m		
					D. 187. m		
					D. 188. m		
					D. 189. m		
					D. 190. m		
					D. 191. m		
					D. 192. m		
					D. 193. m		
					D. 194. m		
					D. 195. m		
					D. 196. m		
					D. 197. m		
					D. 198. m		
					D. 199. m		
					D. 200. m		
					D. 201. m		
					D. 202. m		
					D. 203. m		
					D. 204. m		
					D. 205. m		
					D. 206. m		
					D. 207. m		
					D. 208. m		
					D. 209. m		
					D. 210. m		
					D. 211. m		
					D. 212. m		
					D. 213. m		
					D. 214. m		
					D. 215. m		
					D. 216. m		
					D. 217. m		
					D. 218. m		
					D. 219. m		
					D. 220. m		
					D. 221. m		
					D. 222. m		
					D. 223. m		
					D. 224. m		
					D. 225. m		
					D. 226. m		
					D. 227. m		
					D. 228. m		
					D. 229. m		
					D. 230. m		
					D. 231. m		
					D. 232. m		
					D. 233. m		
					D.		

16



1	$\varnothing 70 \times 3,8$	ČSN 426510	11600	1	NAV - 06	11
Poznámk	Název / Rozm	P. rozm.	Mater. kódový	Mater. výrobce	Výrob	Plánovací kresp
Měřítko	Křes.HL	čárka	Číslo	Celková délka v mm		
Projektní						
11	Souř. ref.					
Využití	Využití profilu	2. lín.	C. kresba			
		3. lín.				
VÚTT	DISTANČNÍ TRUBKA				NAV - 97	

181

三

1	∅ 30x3	ČSN 426510	11000		NAV-06	10
Příčet kruž.	Název v pořadí	Početním	Mat. výroby kružek	Mat. výroby	Cílové	Upravené
Poznámka						
Měřidlo	Skřední	<i>marky</i>	Číslovo			
	Přezkouška					
1-1	norm. řez					
	Výrob. prototyp	Solvit	transp.			
		Druh				
		Tvar	Skřední	Skřední	Skřední	Skřední
		Název				
VÚTT		DISTANČNÍ KRUŽEK				NAV-15

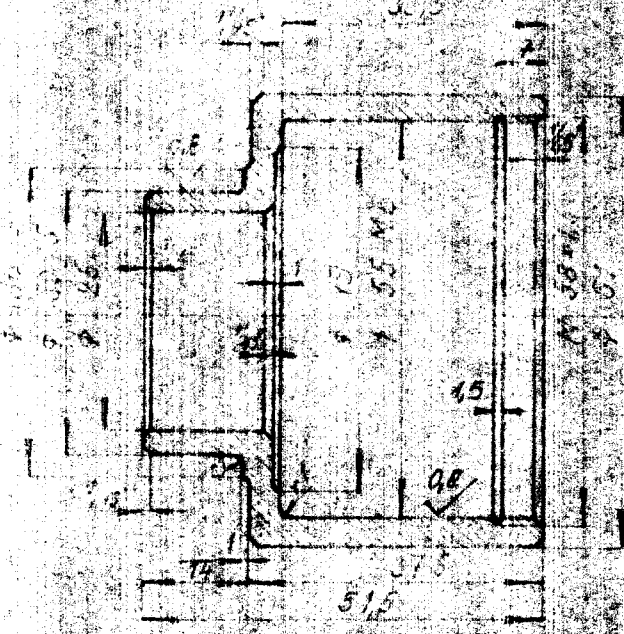
35

43

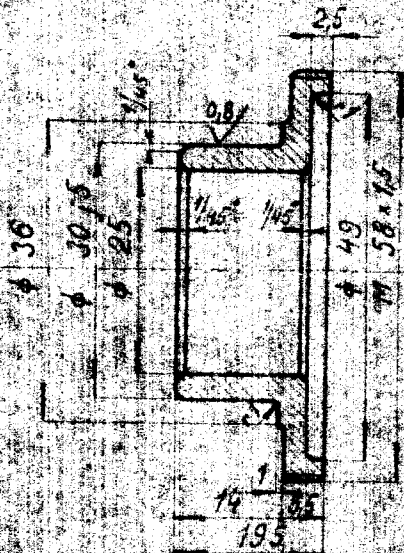
149

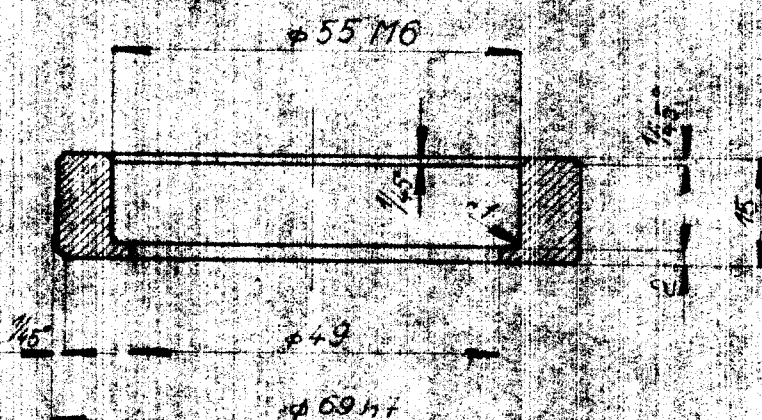
5548

1	∅ 50 x 3	ČSN 426510		11000			NAV-06	9
Povol. kres.	Nářez / Hloubka	Plošnost	Mater. kvalita	Mater. výrobz.	Upr. doba	Výrobz.	Upr. výrobz.	Povol. číslo
Poznámka:								
Měřítko	Kreslit	Celková hmotnost						
1:1	Mechanické							
Norm. ref.								
Výr. projedn.	Seb.výhr.	C. trubice						
	Line							
	TYP	Sklipova		Sklip. výrobz.		Sklip. výrobz.		
	Název							
VÚTT				DISTANČNÍ KROUŽEK				
				NAV-15				
Podpis: ...								

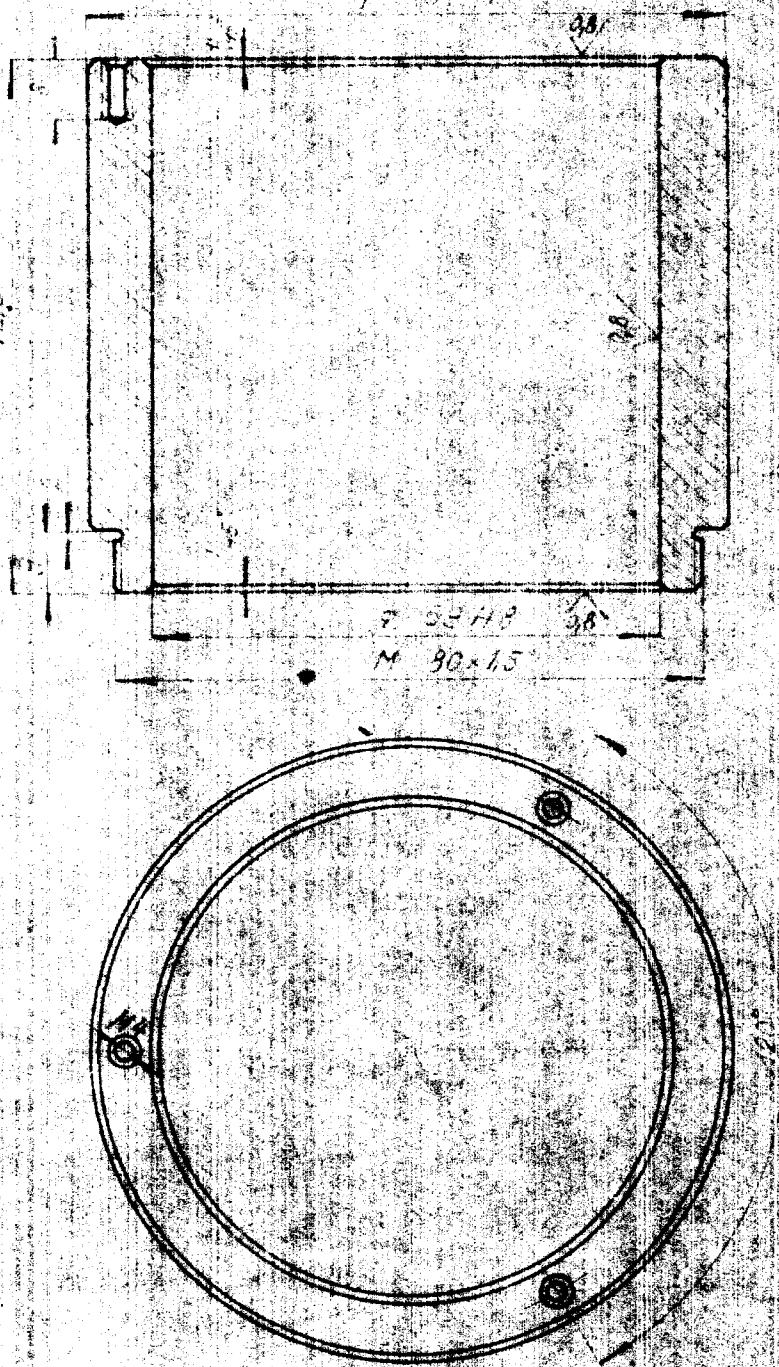


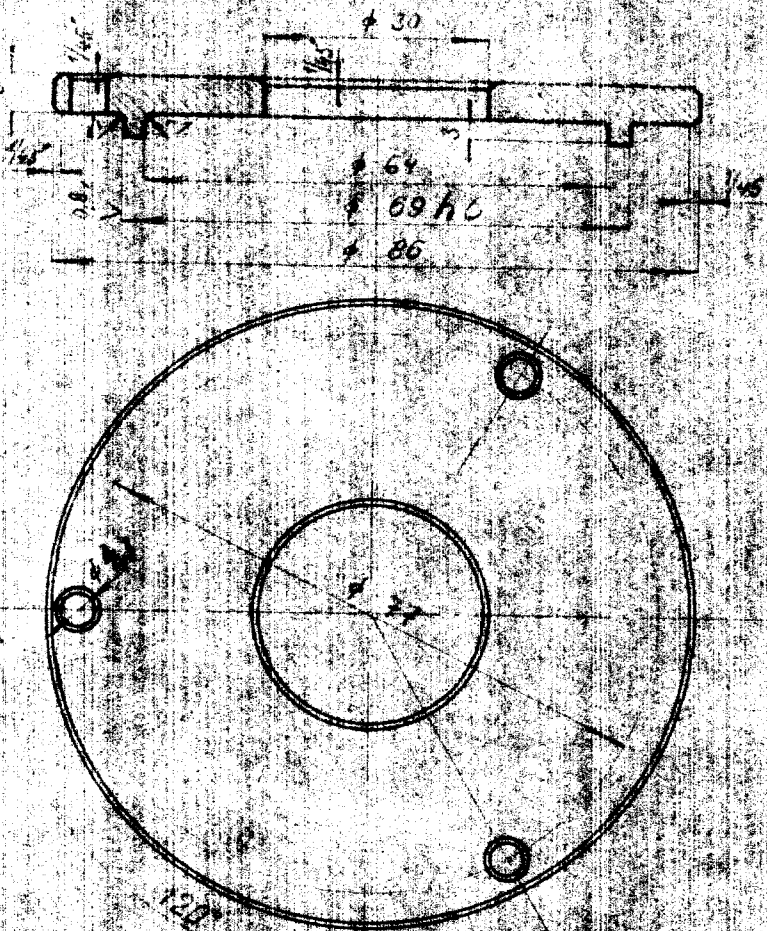
	# 70-55	ČSN 420510		11600			NAV-06
Dovjet kusu	Název	Početní číslo	Mater. kód	Mater. kód	Vaha	Upravovač	Údaje výrobců
Poznámka				Pohlednice			Rok
METRICKO	Kredit						
	Ubezkučel						
	Normy						
	NAV zářízení						
	TYP	ŠKODA					
	Název						





2	∅ 72x20	ČSN 643611	SILON		NAV - 06	6
Pozn. kód	Název / popis	Použití	Dálečné koncovky	Mater. výroby	Vahy Hmotnosti	Univerzální
Poznámka						
Měřitko	Kresba					
1-1	145					
Plátek						
Normy						
Výr. projevn.	Sekvenční					
	145					
VÝ						
	Název					
VÚTT	NÁKRUŽEK				NAV - 12	





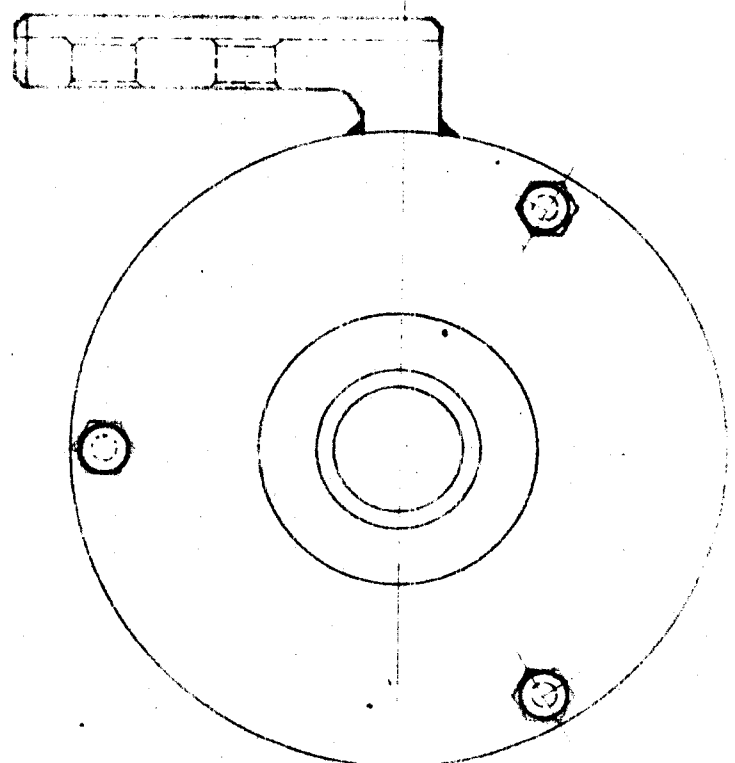
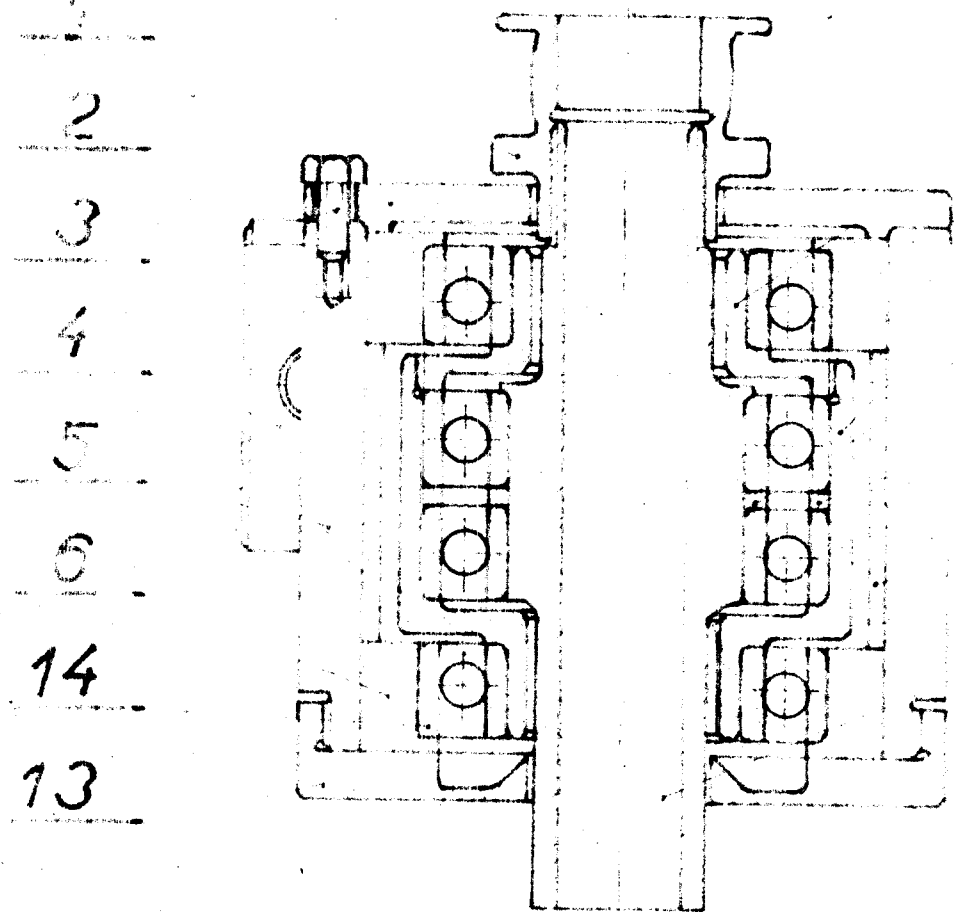
100x7

ESN 426590

1000

NAV-06 2

Pos. 1	Název	Pohybovací	Náter s krytinou	Mater. výchozí	č. výh.	Hl. výh.	Cesta výkrojen.	Pos.
Pozemník	Kružnice							
Materiál	Kov							
Plázkování								
Norm. ref.								
Výr. projekce	Schéma							
	Dne							
VÚTT	TYP							
	Název							
	VÍKO							
	NAV-08							



7

8

9

10

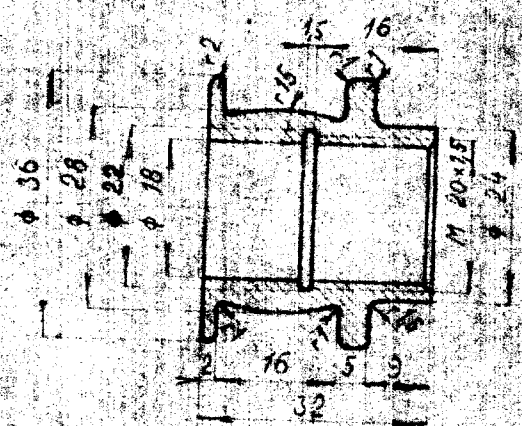
11

12

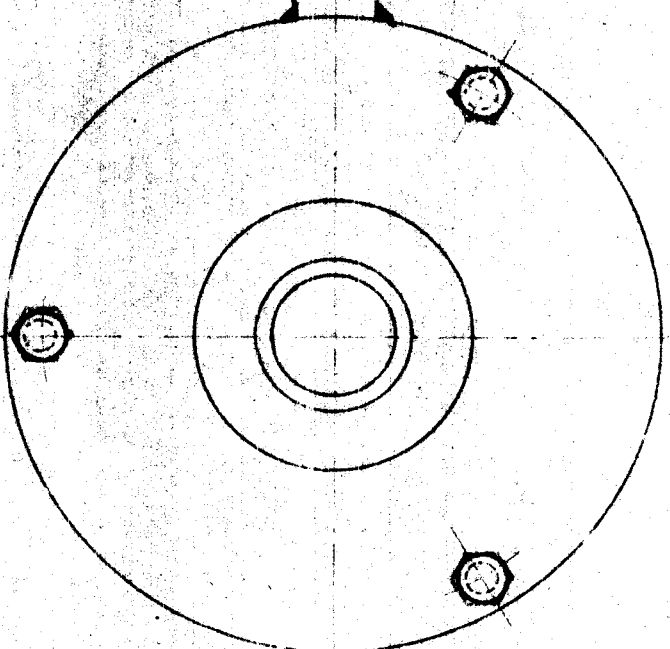
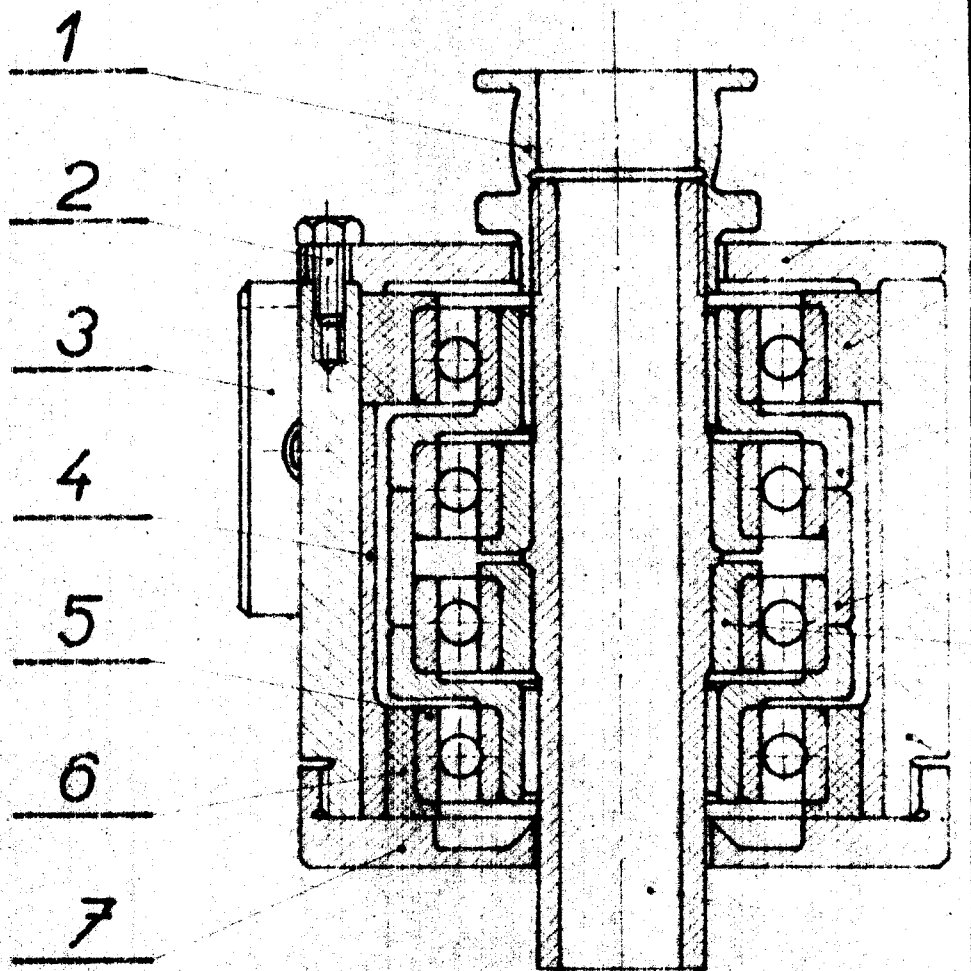
	20.1.50	N 02 4035	6000			
1	REFLEKTOR	C 8 426510		11600	1	NAV 06
1	REFLEKTOR	C 8 426510		11600	1	NAV 06
1	DISTANČNÍ TAPEK	C 8 426510		11600	1	NAV 06
1	SLOZENÝ KROVÍK	C 8 426510		11600	1	NAV 06
1	DISTANČNÍ KROVÍK	C 8 426510		11600	1	NAV 06
1	UNAŘÍK POUZDRO	C 8 426510		11600	1	NAV 06
1	ODVÍTĚČ	C 8 426510		11600	1	NAV 06
2	VÁTA 12x12	C 8 426510		11600	1	NAV 06
1	POUZDRO	C 8 426510		11600	1	NAV 06
1	PAK.	C 8 421410	50x150x10	10,00	1	
3	SKLO	C 8 421101	112x16			
	VÍKO	C 8 426510		11600	1	NAV 06
1	ŘEMENY	C 8 426510		11600	1	NAV 06

DLE VÝSTAVBY

NAV - 06



Počet kusů	1	DSN 426510		11600	1		NAV - 08	1	
Název kusu	Rám	Pouzdro	Mater. konstrukce	Mater. výrobni	Typ	C. výroby	Hr. prav.	Cíle výroby	Prac.
Zobrazit na plánu									
Celkové zájem výrobce									
Měřítko	Kreslit								
	Prázkování								
	Návrh								
Výkresy	pojedn.	Schvalil	Datum						
VÚTT									
KEMENICE									
NAV - 07									



8

9

10

11

12

13

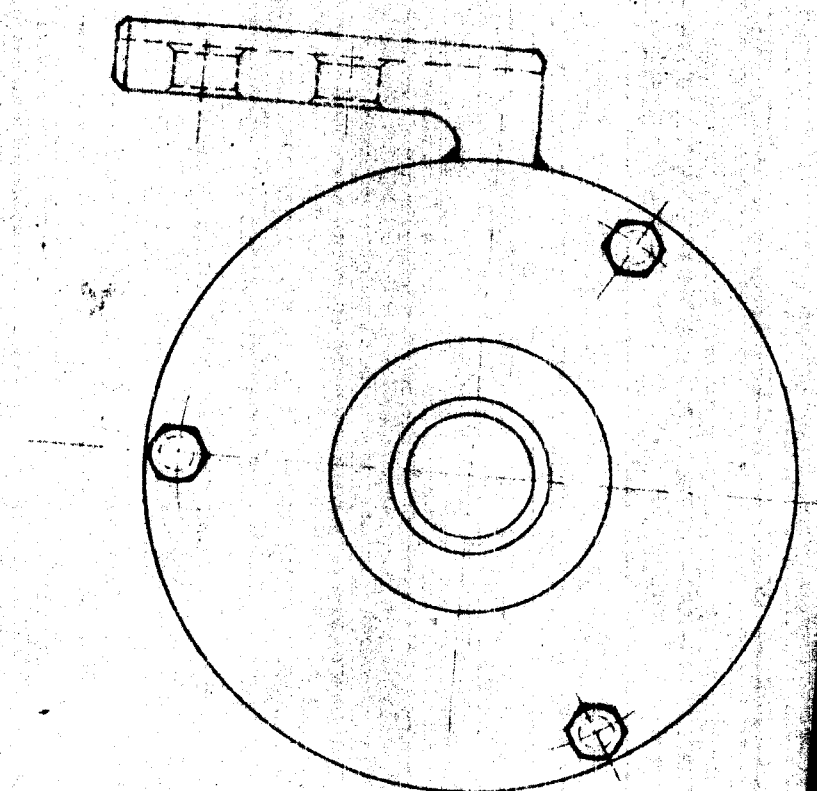
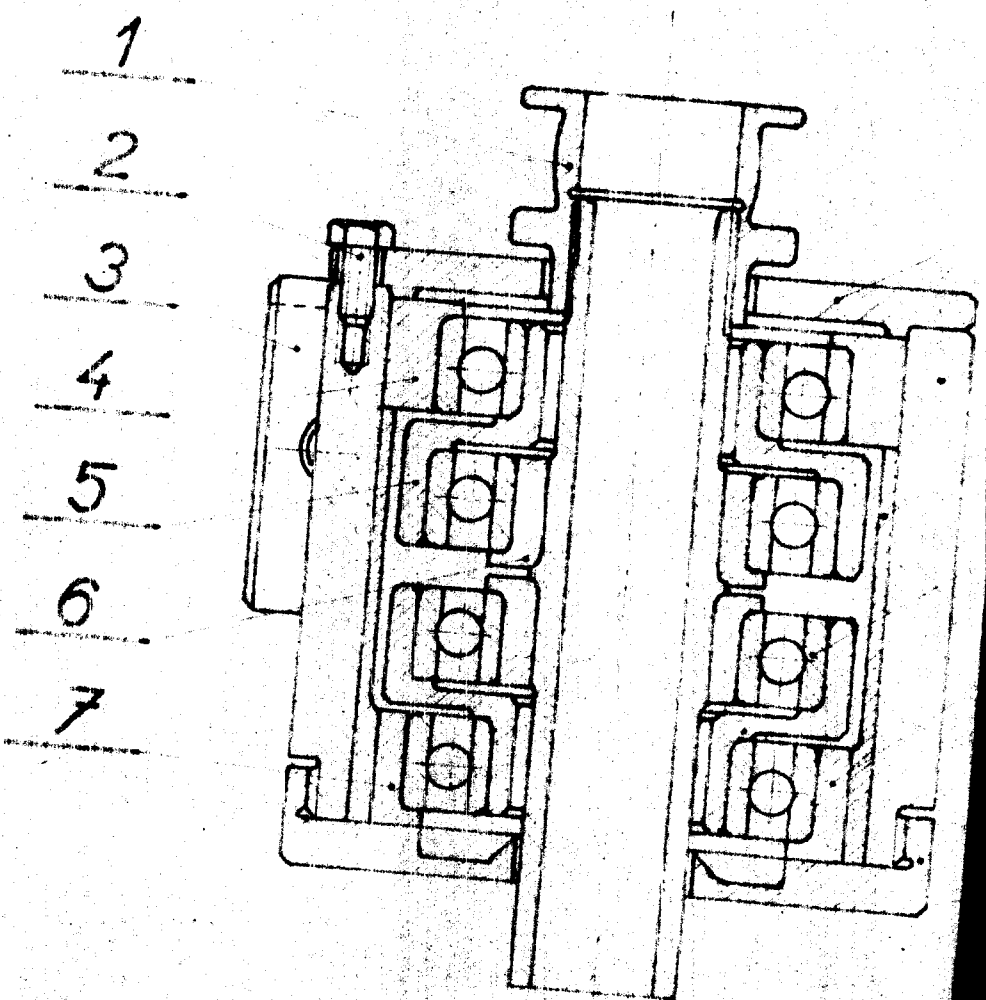
14

1	HŘÍDEL	ČSN 426510	116,00	1	17
1	LOZ. TĚLESU	ČSN 426510	116,00	1	15
2	NAKRUŽEK	ČSN 427510	424,60	119	12
1	SPOJOVACÍ TRUBKA	ČSN 427510	424,25	10	11
2	UNÁJECI POUZDRO	ČSN 427510	4042,50	100	10
1	NAKRUŽEK	ČSN 641111	SILON		8
1	VÍKO	ČSN 426510	116,00		8
1	MATICE	ČSN 426510	116,00		7
1	NAKRUŽEK	ČSN 641111	SILON		5
4	LOZISKO 6006	ČSN 021101			5
1	DISTANČNÍ TRUBKA	ČSN 426510	116,00		4
1	DRŽÁK	ČSN 121410	150,00	10,3	3
3	SROUB M4x15	ČSN 021101			2
1	ŘEMENICE	ČSN 426510	116,00	1	1

1:1

DUTÉ VŘETENO

NAV - 04



8

9

10

11

12

13

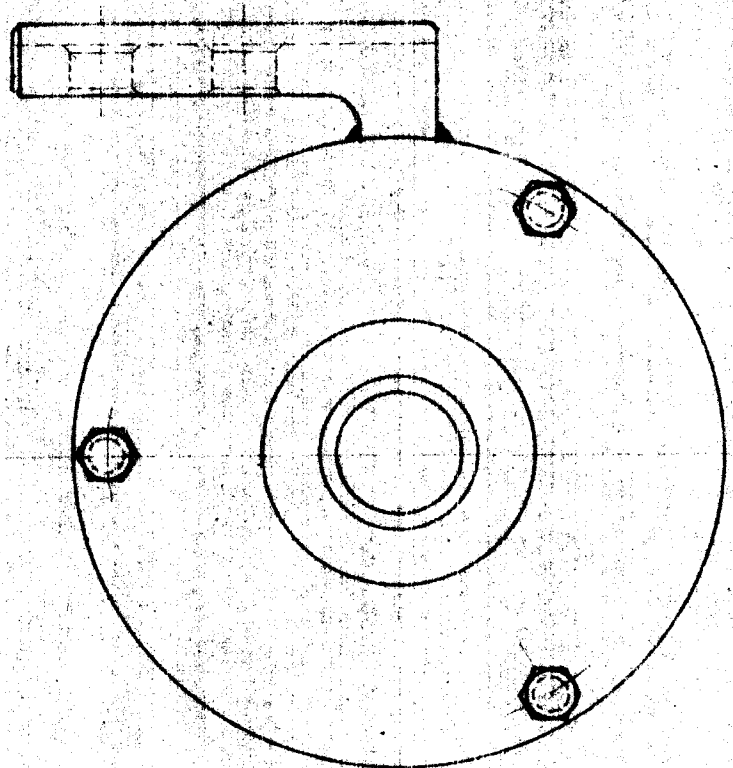
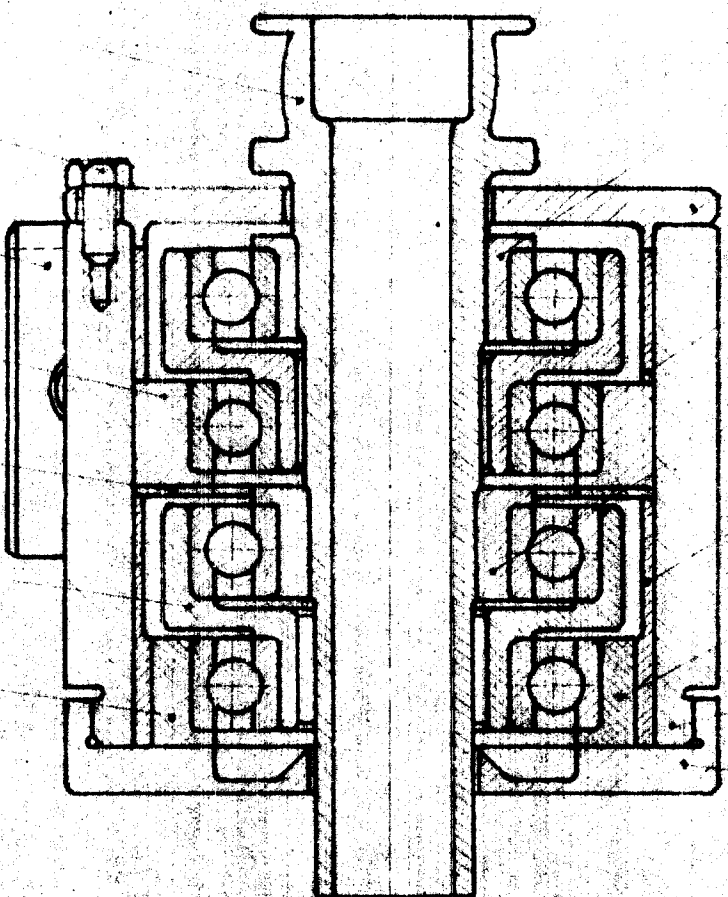
1	MATICE	LEN 426510	31800
1	NAKRULEK	LEN 043611	3180N
1	LOZICKO, OTOČEK	LEN 129635	11500
1	DŘÍVNÝ VÍNUKA	LEN 126672	11500
1	LOZ. TELECO	LEN 426510	11500
1	VÍKO	LEN 426530	11500
1	NAKRULEK	LEN 043611	1150N
2	NAKRULEK	LEN 426510	12450.60 41.9
2	UNÁSEČ, PAVEL DRO	LEN 426510	9262.50.62 41.8
1	NAKRULEK	LEN 043611	3120N
1	DŘÍAK	LEN 1214/V, 15x 150x10	10370.0
3	SROJO M4x15	LEN 021101	
1	ŘEMENICE	LEN 426510	11600

117

DUTÉ VŘETENO

NAV - 03

1
2
3
4
5
6
7



8

9

10

11

12

13

14

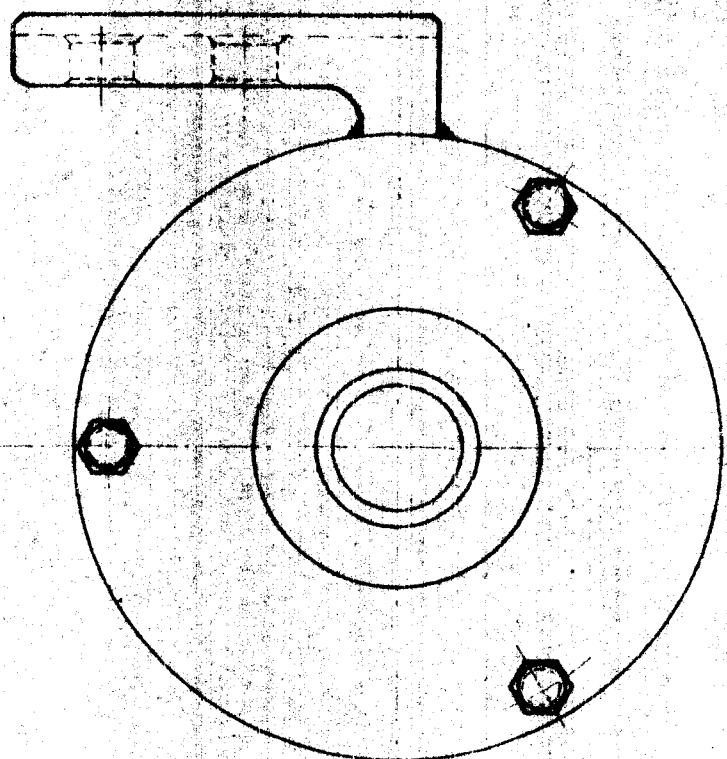
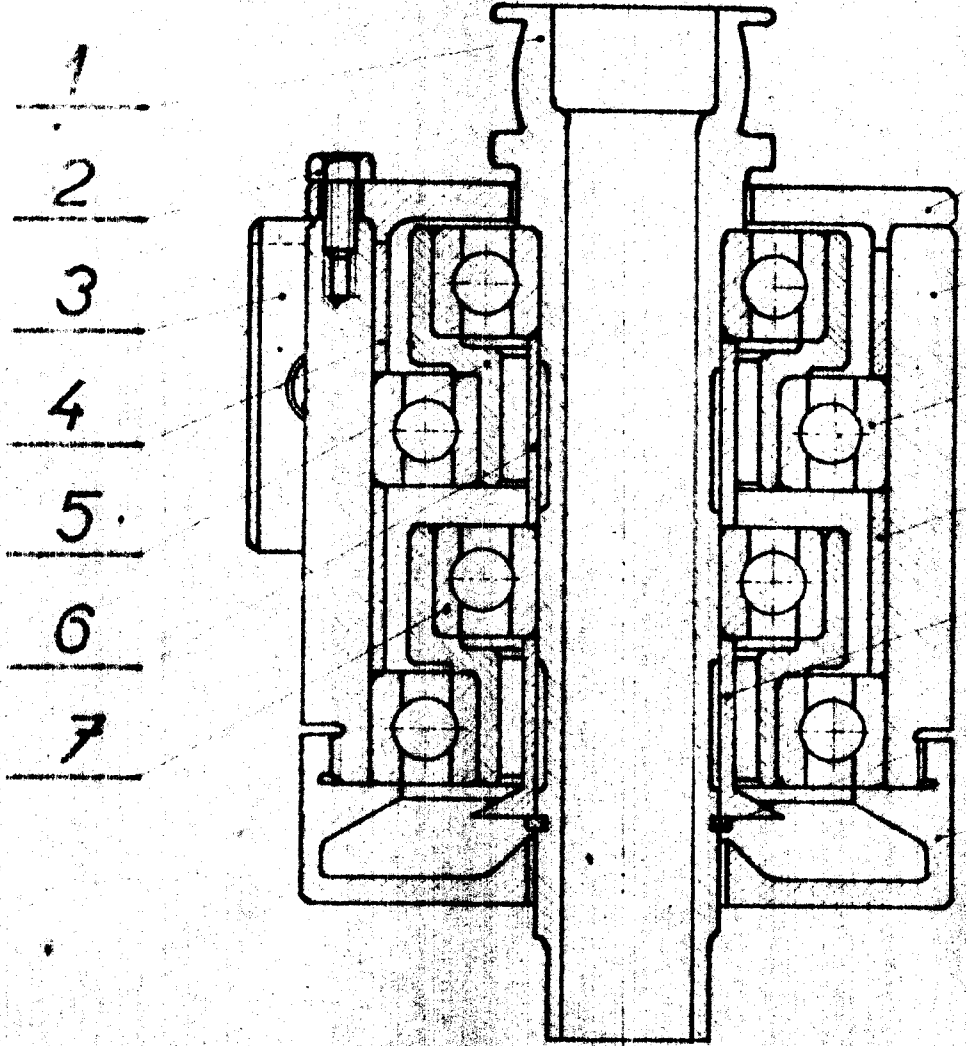
15

1	MATICE	ČSN 426510	11600	15
1	LOUČKOVÉ řEŠENÍ	ČSN 426510	11600	14
1	NAKRUŽEK	ČSN 622424/4		13
1	DISTANČNÍ TRUBKA	ČSN 426510	11600	12
1	NAKRUŽEK	ČSN 427510	424250.60/48	11
1	DISTANČNÍ TRUBKA	ČSN 426510	11600	10
1	VÍKO	ČSN 426510	11600	9
1	NAKRUŽEK	ČSN 427510	424250.60/48	8
1	NAKRUŽKA	ČSN 622424/4		7
2	UNAŠECÍ POZDORNÍ	ČSN 427510	424250.60/48	6
1	PODPEŘNÝ KROUŽEK	ČSN 426510	11600	5
1	NAKRUŽKA	ČSA 622424/4		4
1	DRŽÁK	ČSN 1214/IV	15 - 150 - 170 103700	3
3	SROVŇ. M 4 x 15	ČSN 627701		2
1	HRÍDEL	ČSN 426510	11600	1

7:1

DUTÉ VŘETENO

NAV-02



8

9

10

11

12

13

14

1	MATICE	SN 426510	116,00	14
1	PROSTŘÍVÝ PROLEK	SN 024630	5,-4	13
1	DISTANČNÍ TR. 1500	SN 426510	116,00	12
1	DISTANČNÍ TR. 1500	SN 426510	116,00	11
2	LZ 21 K 2 6728	SN 024630	116,00	10
1	LOŽ. TELECO.	SN 426510	116,00	9
1	VÍKA	SN 426510	116,00	8
2	LOŽ. LK 2 6728	SN 024630	116,00	7
1	DISTANČNÍ TRUBKA	SN 426510	116,00	6
2	UNAŠECÍ PODZDRO	SN 426510	116,00	5
1	DISTANČNÍ TRUBKA	SN 426510	116,00	4
1	DRŽák	SN 1214/VI	75x150x10	103,70,0
3	BRD. M 4 150	SN 024630		
1	HRÍDEL	SN 426510	116,00	1

f:

UITE VŘETENO

NAV - 01